

รายงานวิจัยฉบับสมบูรณ์ประจำปี 2551

โครงการวิจัยที่ 3055 - 3729

เรื่อง การลดการใช้เชื้อเพลิงใน Boiler โดยใช้พลังงานแสงอาทิตย์

Reduction of Fuel Used in Boiler by Solar Energy

หัวหน้าโครงการวิจัย

นางสาวศิริลักษณ์ อธิกมวิคิย Miss Siriluk Atikomwisit

ได้รับทุนวิจัยสนับสนุนจากมูลนิธิโครงการหลวง

เดือนกุมภาพันธ์ 2551



รายงานวิจัยฉบับสมบูรณ์ประจำปี 2551

โครงการวิจัยที่ 3055 - 3729

เรื่อง การลดการใช้เชื้อเพลิงใน Boiler โดยใช้พลังงานแสงอาทิตย์

Reduction of Fuel Used in Boiler by Solar Energy

นางสาวศิริลักษณ์ อธิกมวิศิษฐ์

Miss Siriluk Atikomwisit

รศ.ดร.ไพรожน์ วิริยะราี

Assoc.Prof.Dr.Pairote Wiriyacharee

นางสาวณัฐพร จำหมื่นไวย์

Miss Natthaphon Chamuonwai

นายภัทรพล ปัญญาภาน

Mr.Pattarapol Panyakab

นายสมพงษ์ พรmolongwon

Mr.Sompong Promlaongwon

ได้รับทุนวิจัยสนับสนุนจากมูลนิธิโครงการหลวง

มีนาคม 2551

บทคัดย่อ

โครงการนี้เป็นการศึกษาออกแบบระบบการป้อนน้ำร้อนเข้าสู่เครื่องกำเนิดไอน้ำและติดตั้งเครื่องทำน้ำร้อนพลังงานแสงอาทิตย์ เพื่อลดปริมาณการใช้เชื้อเพลิงในเครื่องกำเนิดไอน้ำโดยการใช้เครื่องทำน้ำร้อนพลังงานแสงอาทิตย์ มาทำการเพิ่มอุณหภูมิของน้ำก่อนป้อนเข้าสู่กระบวนการผลิตไอน้ำด้วยเครื่องกำเนิดไอน้ำ เพื่อลดเวลาในการทำให้น้ำกลายเป็นไอน้ำ และมีแรงดันเท่ากับ 4 บาร์ แล้วนำพลังงานความร้อนไอน้ำไปใช้กับเครื่องจักรในกระบวนการผลิต

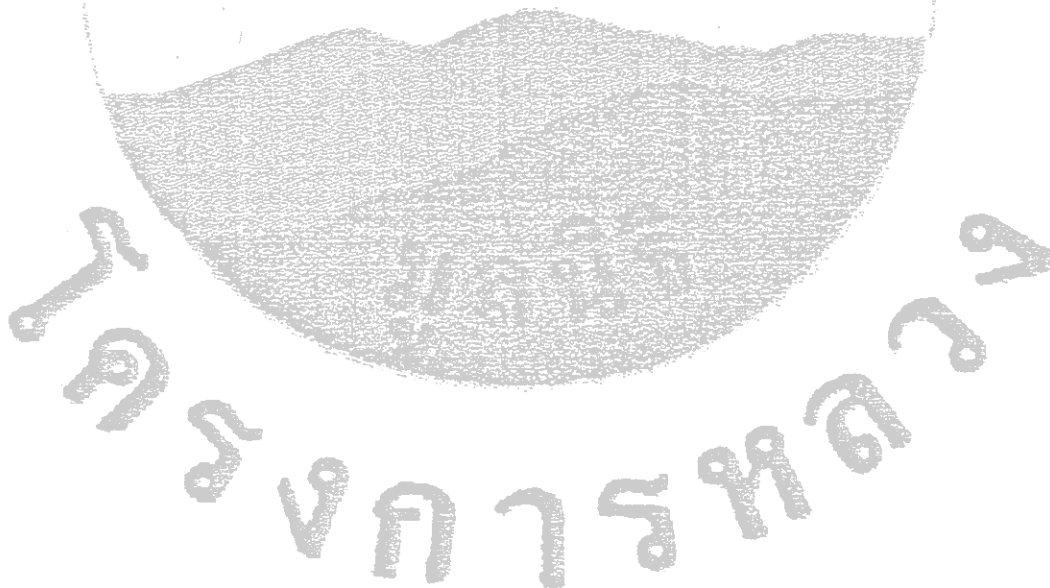
จากการเก็บข้อมูลปริมาณการใช้น้ำในการผลิตไอน้ำแต่ละวัน เป็นระยะเวลา 2 เดือน แล้วทำการออกแบบระบบการป้อนน้ำร้อน โดยใช้เครื่องทำน้ำร้อนพลังงานแสงอาทิตย์ขนาด 1,000 ลิตร ใช้แผงรับพลังงานแสงอาทิตย์ รวม 12.60 ตารางเมตร สามารถทำให้น้ำก่อนป้อนเข้าสู่เครื่องกำเนิดไอน้ำมีอุณหภูมิ 40 - 70 องศาเซลเซียส ทั้งนี้ขึ้นอยู่กับปริมาณแสงอาทิตย์ในแต่ละวัน จากการเปรียบเทียบผลการใช้เชื้อเพลิงต่อปริมาณน้ำป้อนในการผลิตไอน้ำก่อนและหลังจากการใช้ระบบการป้อนน้ำร้อน พบร่วงการใช้ระบบการป้อนน้ำร้อนสามารถลดปริมาณเชื้อเพลิงได้ร้อยละ 19.12

รายงานการศึกษา

Abstract

The objective of this research project was to study and design of “hot-water feeding system” to boiler and to set up the solar collector to be used for reducing fuel in the boiler. This could be done by using solar collector to increase water temperature before being feed for producing steam in boiler. Time can be reduced when water is changed into steam with 4 bar of pressure. Then, energy from steam could be used with engine in production processing.

From the experiment, data collected from the amount of water to be used for producing steam per day for the duration of two months were monitored, in addition, hot water feeding system design has been made by using solar collector with 1,000 liters capacity together with 12.60 square-meters of solar collector. This can produce hot water of 40 – 70 degree Celsius before being fed into boiler which depends on solar quantity each day. The use of fuel comparing with amount of water to be fed in for steam producing before and after hot water feeding system was found to reduce 19.12 % of fuel in hot water feeding system.



สารบัญ

| | หน้า |
|---------------------------------|------|
| บทคัดย่อภาษาไทย | ก |
| บทคัดย่อภาษาอังกฤษ | ข |
| สารบัญ | ค |
| สารบัญตาราง | ง |
| สารบัญภาพ | จ |
| บทนำ | ๑ |
| อุปกรณ์และวิธีการวิจัย | ๓๒ |
| ผลการวิจัย | ๓๔ |
| วิจารณ์และสรุปผลวิจัย | ๔๒ |
| กิตติกรรมประกาศ | ๔๔ |
| เอกสารอ้างอิง | ๔๕ |
| ภาคผนวก | |
| ภาคผนวก ก. รูปภาพ | ๔๘ |
| ภาคผนวก ข. การเก็บข้อมูล | ๕๓ |
| ภาคผนวก ค. ตารางที่อนุมัติ | ๖๗ |
| ภาคผนวก ง. งบประมาณโครงการวิจัย | ๗๒ |

รายงานการวิจัย

สารบัญตาราง

| ตารางที่ | หน้า |
|--|------|
| 1 ความเข้มแสง และศักยภาพเชิงพลังงานแสงอาทิตย์ทั่วประเทศไทย | 9 |
| 2 ข้อมูลการใช้น้ำในการใช้พลังงาน และการประหยัดค่าใช้จ่ายเมื่อใช้พลังงานแสงอาทิตย์ | 10 |
| 3 ผลการเก็บข้อมูลปริมาณการใช้น้ำ เชื้อเพลิง เพื่อทahnาดของ pengรับพลังงานแสงอาทิตย์ | 34 |
| 4 ข้อมูลเฉลี่ยรายเดือนการใช้เชื้อเพลิง Boiler | 39 |
| 5 ข้อมูลก่อนและหลังการติดตั้ง ระบบป้อนน้ำร้อนพลังงานแสงอาทิตย์ เพื่อลดการใช้เชื้อเพลิงใน Boiler | 41 |
| ข1 ข้อมูลปริมาณการใช้น้ำมันและน้ำ ใน boiler เดือน ตุลาคม | 54 |
| ข2 ข้อมูลปริมาณการใช้น้ำมันและน้ำ ใน boiler เดือน พฤษภาคม | 55 |
| ข3 ข้อมูลปริมาณการใช้น้ำมันและน้ำ ใน boiler เดือน ธันวาคม | 56 |
| ข4 ข้อมูลปริมาณการใช้น้ำมันและน้ำ ใน boiler เดือน มกราคม | 57 |
| ข5 ข้อมูลปริมาณการใช้น้ำมันและน้ำ ใน boiler เดือน กุมภาพันธ์ | 58 |
| ข6 ข้อมูลปริมาณการใช้น้ำมันและน้ำ ใน boiler เดือน มีนาคม | 59 |
| ข7 ข้อมูลปริมาณการใช้น้ำมันและน้ำ ใน boiler เดือน เมษายน | 60 |
| ข8 ข้อมูลปริมาณการใช้น้ำมันและน้ำ ใน boiler เดือน พฤษภาคม | 61 |
| ข9 ข้อมูลปริมาณการใช้น้ำมันและน้ำ ใน boiler เดือน มิถุนายน | 62 |
| ข10 ข้อมูลปริมาณการใช้น้ำมันและน้ำ ใน boiler เดือน กรกฏาคม | 63 |
| ข11 ข้อมูลปริมาณการใช้แก๊สและน้ำ ใน boiler เดือน กรกฏาคม | 64 |
| ข12 ข้อมูลปริมาณการใช้แก๊สและน้ำ ใน boiler เดือน สิงหาคม | 65 |
| ค1 ตาราง ไอโอน้ำ (IS UNITS) | 68 |
| ค2 ตาราง ไอโอน้ำ (IMPERIAL UNITS) | 70 |
| ง1 งบประมาณโครงการวิจัย | 73 |

สารบัญภาพ

| ภาพที่ | หน้า |
|---|------|
| 1 แสดงระบบผลิตน้ำร้อนพลังงานแสงอาทิตย์ผสมผสาน พลังงานความร้อนเหลือทิ้ง | 3 |
| 2 แสดงการติดตั้งแผงรับรังสีดวงอาทิตย์แบบแผ่นเรียบชนิดมีแผ่นปิดใส | 5 |
| 3 การติดตั้งเครื่องแปลงเปลี่ยนความร้อนแบบ Plate heat exchanger | 6 |
| 4 แสดงระบบผลิตน้ำร้อนแบบผสมผสาน ณ โรงพยาบาลแกลง อ. แกลง จ. ระยอง | 7 |
| 5 แสดงระบบผลิตน้ำร้อนแบบผสมผสาน ณ. โรงพยาบาลศุภสิริ สอร์ฟ จ. เชียงราย | 8 |
| 6 แผนที่พลังงานแสงอาทิตย์ และศักยภาพเชิงพลังงาน | 9 |
| 7 ระบบทำน้ำร้อนพลังงานแสงอาทิตย์แบ่งตามลักษณะการให้บริการ ให้บริการ ของแหล่งที่ผ่านแผงรับพลังงานแสงอาทิตย์ | 11 |
| 8 ความสัมพันธ์ของดวงอาทิตย์กับโลก | 13 |
| 9 แสดงความสัมพันธ์ของแผงรับรังสีแสงอาทิตย์ | 14 |
| 10 แสดงรังสีแสงอาทิตย์ที่ตกลงบนพื้นราบและพื้นอุ่น | 15 |
| 11 แสดงระบบทำน้ำร้อนจากพลังงานแสงอาทิตย์ | 17 |
| 12 แสดงส่วนประกอบ และจำนวนพลังงานความร้อนที่สูญเสียไป ของแผงรับแสงอาทิตย์ชนิดเหลวเป็นตัวรับพลังงานความร้อน | 18 |
| 13 โครงสร้างของแผงรับแสงอาทิตย์ทั่วไป | 19 |
| 14 แสดงส่วนประกอบลังน้ำร้อนขนาด 500 ลิตร | 19 |
| 15 ความร้อนที่อยู่ในไอน้ำ | 21 |
| 16 การเปรียบเทียบความร้อนของไอน้ำที่กลับตัวที่ความดันบรรยายกาศ และที่ 7 บาร์(100 ปอนด์ต่อตารางนิวตัน) | 22 |
| 17 อัตราการให้บริการ ให้บริการของน้ำที่ระบายน้ำ (Blow down) | 27 |
| 18 เชื้อเพลิงสูญเสียเนื่องจากการใช้อุณหภูมิสูงเกินไป | 29 |
| 19 แผงรับพลังงานแสงอาทิตย์ | 38 |

สารบัญภาพ (ต่อ)

| ภาพที่ | หน้า |
|---|------|
| ก1 การสร้างฐาน แผง Solar collector | 49 |
| ก2 การสร้างฐาน แผง Solar collector | 49 |
| ก3 การติดตั้งฐาน แผง Solar collector | 49 |
| ก4 การประกอบแผง Solar collector | 49 |
| ก5 การเดินท่อไปยังแผง Solar collector | 49 |
| ก6 การติดตั้งปืนและระบบป้อนน้ำ | 49 |
| ก7 การติดตั้งปืนและระบบป้อนน้ำ | 49 |
| ก8 แผง Solar collector | 49 |
| ก9 เครื่องวัดค่ารังสีแสงอาทิตย์ (Solar Integrator) โดยวัดรังสีแสงอาทิตย์รวมต่อหน่วยเป็นวัตต์ต่อตารางเมตร | 50 |
| ก10 เครื่องกำเนิดไอน้ำ (Boiler) ขนาด 0.75 ตัน | 50 |
| ก11 หัว Burner oil preheater ยี่ห้อ Olympia | 50 |
| ก12 เทอร์โมคัปเปิล ชนิด K มีช่วงการวัดอุณหภูมิ ตั้งแต่ -270 ถึง 1,372 องศาเซลเซียส | 51 |
| ก13 มาตรวัดปริมาณการไหลของน้ำ โดยหน่วยวัดปริมาตรน้ำหน่วยเป็นลูกบาศก์เมตร | 51 |
| ก14 มาตรวัดปริมาณการไหลของน้ำมัน โดยหน่วยวัดปริมาตรน้ำมันหน่วยเป็น ลูกบาศก์เมตร | 51 |
| ก15 เครื่องวัดอุณหภูมิและบันทึกข้อมูลอุณหภูมน้ำป้อนเข้าสู่เครื่องกำเนิดไอน้ำ Data logger | 52 |
| ก16 เครื่องทำน้ำร้อนพลังงานแสงอาทิตย์ ของบริษัท TSUS International ,co.ltd ขนาด 1,000 ลิตร | 52 |
| ก17 ปืนป้อนน้ำเข้าสู่แผงทำน้ำร้อนพลังงานแสงอาทิตย์ | 52 |

บทนำ

ความสำคัญและที่มาของปัญหา

โรงงานแปรรูปและพัฒนาผลิตภัณฑ์ มูลนิธิโครงการหลวง เป็นโรงงานผลิตอาหารแปรรูป โดยใช้ Boiler ขนาด 0.75 ตัน เป็นจุดกำเนิดไอ้น้ำ สำหรับให้พลังงานความร้อนแก่เครื่องจักรผลิตอาหาร ได้แก่ เครื่องนึ่งข้าวเกรียบ เครื่องหยอดสูญญากาศ เครื่องไอล่ากาศ และเครื่องม่าเชื้อ โดย Boiler ที่ใช้ จะต้องใช้น้ำมันดีเซลเป็นเชื้อเพลิงในการให้ความร้อนแก่น้ำ เพื่อสร้างไอน้ำส่งไปยังเครื่องจักรดังกล่าว

ในปัจจุบันราคาน้ำมันดีเซลมีแนวโน้มเพิ่มขึ้นอย่างต่อเนื่อง ทำให้ต้นทุนค่าน้ำมันเชื้อเพลิงเพิ่มมากขึ้น เป็นค่าใช้จ่ายการในการดำเนินงานจำนวนมาก และเป็นต้นทุนของผลิตภัณฑ์ แต่ละชนิดในสัดส่วนที่สูง

พลังงานแสงอาทิตย์ เป็นพลังงานทดแทนประเภทหมุนเวียนที่ใช้แล้วเกิดขึ้นใหม่ได้ตามธรรมชาติเป็นพลังงานที่สะอาด ปราศจากมลพิษ และเป็นพลังงานที่มีศักยภาพสูง ดังนั้นจะช่วยลดภาระค่าไฟฟ้าและลดต้นทุนของผลิตภัณฑ์ แต่จะต้องมีการลงทุนในต้นทุนของเครื่องจักรและต้นทุนของบุคลากรที่ต้องดูแลรักษา แต่ในระยะยาวจะสามารถลดต้นทุนของผลิตภัณฑ์ได้

นอกจากนี้ การใช้พลังงานแสงอาทิตย์เพื่อเพิ่มอุณหภูมิของน้ำก่อนเข้าสู่ Boiler ยังส่งผลให้ประหยัดไฟจากการลดเวลาในการผลิตไอน้ำ ซึ่งการลดปริมาณการใช้ไฟฟ้า ถือเป็นการส่งเสริมการลดมลพิษ อันเกิดจากการเผาไหม้เชื้อเพลิงได้

คณะกรรมการฯ ได้ตระหนักรู้ถึงความสำคัญของการนำพลังงานแสงอาทิตย์มาใช้ในอุตสาหกรรม เป็นการนำเทคโนโลยีที่มีอยู่แล้วมาใช้ให้เกิดประโยชน์ ลดความล้าหลังของการผลิตภัณฑ์ ที่มีน้ำมันที่นับวันจะยังมีราคาเพิ่มขึ้นและสร้างมลพิษให้กับสิ่งแวดล้อมอย่างต่อเนื่อง ผลงานวิจัยนี้จะทำให้โรงงานสามารถประหยัดค่าใช้จ่ายลงได้ ส่งผลให้ต้นทุนการผลิตลดลง อีกทั้งชื่อเสียงด้านวิจัยและระบบการใช้พลังงานแสงอาทิตย์ ที่ถูกประดิษฐ์ขึ้นในครั้งนี้ยังสามารถใช้เป็นต้นแบบให้กับผู้ประกอบการโรงงานอุตสาหกรรมที่มีความสนใจที่จะใช้พลังงานทดแทนให้เป็นประโยชน์ต่อธุรกิจต่อไป



วัตถุประสงค์โครงการวิจัย

1. เพื่อศึกษาจำนวนแผงรับพลังงานแสงอาทิตย์ (Solar collector) ที่เหมาะสมกับกำลังการผลิตไอน้ำของเครื่องกำเนิดไอน้ำของโรงงาน
2. เพื่อดำเนินการติดตั้งระบบรับพลังงานแสงอาทิตย์อย่างเหมาะสม
3. เพื่อวิเคราะห์ความคุ้มค่าของการติดตั้งระบบรับพลังงานแสงอาทิตย์

ขอบเขตของโครงการ

1. การหาจำนวนแผงรับพลังงานแสงอาทิตย์ (Solar collector) ที่เหมาะสมกับกำลังการผลิตไอน้ำของเครื่องกำเนิดไอน้ำของโรงงาน
2. การดำเนินการติดตั้งระบบรับพลังงานแสงอาทิตย์อย่างเหมาะสม
3. การวิเคราะห์ความคุ้มค่าของการติดตั้งระบบรับพลังงานแสงอาทิตย์

ประโยชน์ที่คาดว่าได้รับ

เป็นการนำพลังงานแสงอาทิตย์ทดแทนการใช้พลังงานจากน้ำมันเชื้อเพลิงบางส่วน โดยการเพิ่มอุณหภูมิของน้ำก่อนเข้าสู่เครื่องกำเนิดไอน้ำ (Boiler) ทำให้ลดการใช้น้ำมัน ลดปัญหามลพิษ และลดต้นทุนการผลิตของโรงงานได้

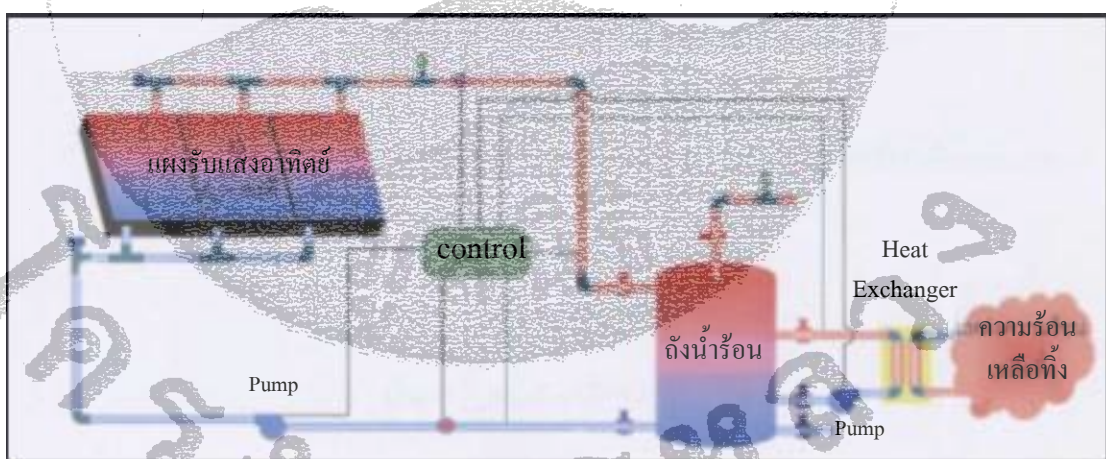
ผลงานวิจัยที่ผ่านมา

การใช้น้ำร้อนจากพลังงานแสงอาทิตย์เป็น พลังงานที่ได้เปล่าสะอาดและไม่ทำลายสภาพแวดล้อม ซึ่งเครื่องทำน้ำร้อนขนาด 1 ตารางเมตร จะสามารถให้พลังงานความร้อนแก่น้ำ 13.6 เมกะจูลต่อวัน ซึ่งเท่ากับการใช้น้ำมันดีเซล 0.70 ลิตร ไม้薪 2.50 กิโลกรัม ไฟฟ้า 50 กิโลวัตต์ต่อชั่วโมง และแก๊ส LPG 0.70 กิโลกรัม

ประเทศไทยมีรังสีความอาทิตย์สูงเกือบตลอดทั้งปี จึงมีศักยภาพที่จะใช้ประโยชน์จากพลังงานแสงอาทิตย์ได้เป็นอย่างดี โดยพลังงานที่ได้จากแสงอาทิตย์มีค่าประมาณ 17 เมกะจูลต่อตารางเมตรต่อวัน การใช้พลังงานแสงอาทิตย์สามารถใช้ได้ในรูปความร้อนและ ไฟฟ้าจากเซลล์แสงอาทิตย์ (วัฒนพงษ์, 2550)

ปัจจุบันการใช้พลังงานไฟฟ้าในประเทศไทยมีหลายรูปแบบที่แตกต่างกัน ไม่ว่าจะเป็นในรูปแบบเชิงธุรกิจ หรือกิจกรรมต่างๆ ในการดำรงชีวิตประจำวัน สำหรับการนำพลังงานไฟฟ้าไปผลิตน้ำร้อนนั้นถือว่าเป็นการใช้พลังงานที่ไม่คุ้มค่า เพราะว่าพลังงานไฟฟ้าถือเป็นพลังงานชั้นดี (High - grade energy) แต่หากนำพลังงานไฟฟ้าไปผลิตความร้อนซึ่งถือ เป็นพลังงานชั้นต่ำ (Low - grade energy) นั้นคงจะไม่เหมาะสมกับคุณค่าของพลังงานไฟฟ้าที่ผลิตมาได้

ในการผลิตน้ำร้อนเพื่อใช้ประโยชน์สำหรับกิจกรรมต่างๆ เช่น อาบน้ำ ซักล้าง การประกอบอาหาร และอุตสาหกรรมบางประเภทที่ไม่ต้องการอุณหภูมิน้ำร้อนเกิน 100 องศาเซลเซียส โดยใช้เชื้อเพลิงหรือแหล่งพลังงานอื่นที่มีความเหมาะสมและมีศักยภาพในการนำมาใช้งานแต่ไม่ใช่พลังงานที่ได้จากไฟฟ้า จึงเป็นอีกแนวทางหนึ่งในการเพิ่มประสิทธิภาพการใช้พลังงานและลดความต้องการใช้พลังงานไฟฟ้านอกประเทศ ดังเช่นการใช้พลังงานแสงอาทิตย์มาผลิตน้ำร้อนและใช้ความร้อนเหลือทิ้งจากชุดเครื่องปรับอากาศ เครื่องทำความเย็นหรือการใช้ปั๊มความร้อนเป็นพลังงานเสริมหรือในลักษณะแบบผสมผสาน จึงเป็นทางเลือกหนึ่งแทนที่การผลิตน้ำร้อนโดยใช้พลังงานไฟฟ้าหรือเชื้อเพลิงพลังงานล้วนเปล่องอ่อนๆ (เศรษฐพงษ์, 2544)



ภาพที่ 1 แสดงระบบผลิตน้ำร้อนพลังงานแสงอาทิตย์ผสมผสานพลังงานความร้อนเหลือทิ้ง
ที่มา: กรมพัฒนาพลังงานทดแทนและอนุรักษ์พลังงาน, 2550

สำหรับการใช้น้ำร้อนในปัจจุบันมีลักษณะและปริมาณใช้งานแตกต่างกันไปตามประเภทกิจกรรมต่างๆ เช่น โรงพยาบาลหรือโรงเรมจะมีความต้องการใช้น้ำร้อนในปริมาณที่ค่อนข้างสูง การผลิตน้ำร้อนส่วนใหญ่นิยมใช้ไฟฟ้านี้องจากมีความสะดวกในการใช้งาน ในกรณีที่มีความต้องการใช้น้ำร้อนในปริมาณที่สูงมากอาจใช้หม้อต้ม (Boiler) ที่ใช้น้ำมันเตาหรือน้ำมันดีเซล เป็นเชื้อเพลิง โดยทั่วไปโรงพยาบาลและโรงเรມหลายแห่งมีอาคารที่มีพื้นหลังคามากพอที่จะใช้รับแสงอาทิตย์และมีการใช้งานระบบทำความเย็นมาก เช่นเครื่องปรับอากาศ ซึ่งน่าจะนำไปใช้ประโยชน์ได้อย่างเป็นรูปธรรม ทั้งนี้ขึ้นอยู่กับรูปแบบลักษณะอาคาร ชนิดและตำแหน่งติดตั้งของระบบทำความเย็น การใช้งานและเงื่อนไขต่าง ๆ ของแต่ละสถานที่ถึงแม้ว่าในบางกรณีการใช้ระบบผลิตน้ำร้อนแสงอาทิตย์และการผลิตน้ำร้อนจากความร้อนเหลือทิ้งหรือปั๊มความร้อนอาจไม่เพียงพอ หรือครอบคลุมทั้งปริมาณและอุณหภูมิที่ต้องการใช้งานทั้งหมด แต่การนำแหล่งพลังงานแสงอาทิตย์และความร้อนเหลือทิ้งหรือปั๊มความร้อนมาใช้ผสมผสานกับการผลิตน้ำร้อนจากเชื้อเพลิงพลังงานก็จะสามารถลดภาระต่างๆ ในด้านค่าใช้จ่ายจากพลังงานเชื้อเพลิงลงได้บางส่วน และประโยชน์สำคัญก็คือ เป็นการนำพลังงานความร้อนจากธรรมชาติและพลังงานจากความร้อนเหลือทิ้งหรือปั๊มความร้อนมาใช้ประโยชน์ได้โดยตรง โดยไม่ก่อให้เกิดผลกระทบต่อสิ่งแวดล้อม ดังนั้นกรมพัฒนาพลังงานทดแทนและอนุรักษ์พลังงาน กระทรวงพลังงานร่วมกับศูนย์ปฏิบัติการวิศวกรรมพลังงานและสิ่งแวดล้อม คณะวิศวกรรมศาสตร์ มหาวิทยาลัยเกษตรศาสตร์ได้ทำการศึกษาเทคโนโลยีการผลิตน้ำร้อนด้วยระบบผสมผสานพลังงานแสงอาทิตย์ในโรงพยาบาลและโรงเรมซึ่งเทคโนโลยีการผลิตน้ำร้อนด้วยระบบผสมผสานในโรงพยาบาลและโรงเรมที่ได้ทำการศึกษามีอยู่ด้วยกัน 2 แบบ ดังนี้ (กรมพัฒนาพลังงานทดแทนและอนุรักษ์พลังงาน, 2550)

แบบที่ 1 เทคโนโลยีการผลิตน้ำร้อนด้วยพลังงานแสงอาทิตย์

เป็นแบบที่สามารถผลิตน้ำร้อนที่อุณหภูมิต่ำ (40 - 90 องศาเซลเซียส) โดยใช้แผงรับรังสีดวงอาทิตย์เป็นแบบแผ่นเรียบชนิดมีแผ่นปิดใส (Single glazed flat plate solar collector) และไม่มีอุปกรณ์ที่ทำให้เคลื่อนที่ตามดวงอาทิตย์ (Non - tracking solar collector) สามารถผลิตน้ำร้อนได้เฉพาะในช่วงเวลากลางวันที่ห้องฟ้าโปร่งใสต้องใช้พื้นที่ติดตั้งระบบฯ แบบโล่งแจ้งไม่มีเงาบังและใช้พื้นที่มากหากต้องการปริมาณน้ำร้อนมาก โดยไม่ก่อให้เกิดผลกระทบต่อสิ่งแวดล้อม ต้องการการดูแลบำรุงรักษาระบบฯ บ้างครั้งโดยเฉพาะเรื่องการทำความสะอาดแผ่นปิดใส และสามารถผลิตน้ำร้อนที่อุณหภูมิ 60 องศาเซลเซียส ได้ประมาณ 70 ลิตรต่อตารางเมตรต่อวัน ในเขตภาคตะวันออกและประมาณ 55.30 ลิตรต่อตารางเมตรต่อวัน ในเขตภาคเหนือ



ภาพที่ 2 แสดงการติดตั้งแผงรับรังสีดวงอาทิตย์แบบแผ่นเรียบชนิดมีแผ่นปิดใส่ที่มา: กรมพัฒนาพลังงานทดแทนและอนุรักษ์พลังงาน, 2550

แบบที่ 2 เทคโนโลยีผลิตน้ำร้อนด้วยความร้อนเหลือทิ้งของเครื่องปรับอากาศ เครื่องทำความเย็น

เป็นแบบที่สามารถผลิตน้ำร้อนที่อุณหภูมิต่ำ ($40 - 90$ องศาเซลเซียส) โดยใช้เครื่องแลกเปลี่ยนความร้อนเป็นแบบ Plate heat exchanger ตัวเรือนทำจากวัสดุสแตนเลส $316L$ เคลือบไทเทเนียม วัสดุกันข้องไฟลท์ทั้งสองฝั่งด้วยทองแดง มีอุณหภูมิใช้งานอยู่ในช่วง -200 องศาเซลเซียส ถึง 980 องศาเซลเซียส เกิดความดันตกคร่อม (Pressure drop) อยู่ระหว่าง $40 - 80$ ปอนด์ต่อตารางนิ้ว มีค่าประสิทธิผล (Effectiveness) ใน การแลกเปลี่ยนความร้อนสูง ค่าความด้านทานการถ่ายเทความร้อนที่ผิวดำ มีขนาดกระทัดรัด น้ำหนักเบา สามารถผลิตน้ำร้อนได้เฉพาะในช่วงเวลาที่อุปกรณ์ส่วนที่ระบายน้ำร้อนทิ้งทำงาน ไม่ต้องใช้พื้นที่ติดตั้งระบบมาก ไม่ก่อให้เกิดผลกระทบต่อสิ่งแวดล้อม ต้องการการดูแลบำรุงรักษาระบบที่ง่ายเล็กน้อย สามารถผลิตน้ำร้อนที่อุณหภูมิ 60 องศาเซลเซียส ได้ประมาณ 45.50 ลิตรต่อตันต่อวัน ในเขตภาคตะวันออกประมาณ 33.50 ลิตรต่อตันต่อวัน ในเขตภาคเหนือ

จากคุณลักษณะเชิงเทคนิคของเทคโนโลยีการผลิตน้ำร้อนที่ 2 แบบ จะมีความสัมพันธ์และสอดคล้องเหมาะสมที่จะนำมาผลิตน้ำร้อนแบบผสมผสานกัน ดังนี้

ในส่วนของความเหมือนกัน คือ

1. สามารถผลิตน้ำร้อนที่อุณหภูมิต่ำประมาณ $40 - 90$ องศาเซลเซียส
2. ไม่ก่อให้เกิดผลกระทบต่อสิ่งแวดล้อม
3. ต้องการการดูแลบำรุงรักษาระบบที่ง่ายเล็กน้อย



**ภาพที่ 3 แสดงการติดตั้งเครื่องแลกเปลี่ยนความร้อนแบบ Plate heat exchanger
ที่มา: กรมพัฒนาพลังงานทดแทนและอนุรักษ์พลังงาน, 2550**

ในส่วนของความสัมพันธ์และสอดคล้องกัน คือ

1. การใช้พลังงานแสงอาทิตย์ผลิตน้ำร้อนจะสามารถผลิตได้เฉพาะในช่วงเวลากลางวันที่ห้องฟ้าโปร่งใสเท่านั้น นั่นคือในช่วงฤดูฝนการผลิตน้ำร้อนด้วยพลังงานแสงอาทิตย์จะไม่สามารถผลิตได้เต็มความสามารถ จึงเป็นต้องใช้พลังงานเสริม

2. การใช้พลังงานความร้อนเหลือทิ้งของเครื่องปรับอากาศหรือเครื่องทำความเย็น สามารถผลิตน้ำร้อนได้ตลอดเวลาที่คอมเพรสเซอร์ทำงาน ซึ่งโดยปกติจะทำงานได้ต่อในฤดูร้อนและฤดูฝนแต่จะมีปัญหาในช่วงฤดูหนาวซึ่งมีอากาศเย็นทำให้คอมเพรสเซอร์ทำงานน้อยลงจำเป็นต้องใช้พลังงานเสริม

ดังนั้นการผลิตน้ำร้อนแบบผสมผสานโดยใช้พลังงานแสงอาทิตย์กับพลังงานความร้อนเหลือทิ้งของเครื่องปรับอากาศจะผลิตน้ำร้อนได้สม่ำเสมอตลอดทั้งปี โดยไม่ต้องมีพลังงานเสริมใดๆ เพราะว่าการใช้พลังงานแสงอาทิตย์ย่างเดียวก็จะมีปัญหาตอนฤดูฝนหรือช่วงเวลาที่ห้องฟ้าไม่โปร่งใส แต่มีพลังงานจากความร้อนเหลือทิ้งของเครื่องปรับอากาศหรือเครื่องทำความเย็นมาเสริมแทนได้ นอกจากนี้พลังงานจากความร้อนเหลือทิ้งของเครื่องปรับอากาศหรือเครื่องทำความเย็นยังช่วยลดขนาดของระบบผลิตน้ำร้อนพลังงานแสงอาทิตย์ได้อีกด้วยสำหรับระบบผลิตน้ำร้อนแบบผสมผสานดังกล่าว ได้มีการติดตั้งสาขิต และวิเคราะห์ระบบณ สถานที่ ดังนี้

1. โรงพยาบาลแกลง อ.แกลง จ.ระยอง ขนาดระบบ 3,815 ลิตรต่อวัน ใช้แพงรับรังสีแสงอาทิตย์ที่มีพื้นที่รับแสง 20 ตารางเมตร และใช้เครื่องแลกเปลี่ยนความร้อนกับเครื่องปรับอากาศขนาด 84,000 บีทียูต่อชั่วโมง จำนวน 1 ชุด (มีพื้นที่แลกเปลี่ยนความร้อนไม่น้อยกว่า 1 ตารางเมตร) และใช้ถังเก็บน้ำร้อนขนาด 2,000 ลิตร ซึ่งน้ำร้อนที่ได้ใช้เฉพาะกับอาคารอุบัติเหตุและอาคารผู้ป่วย

ใน 2 เท่านั้น สำหรับการวิเคราะห์ด้านการลงทุนโดยคิดจากขนาดความต้องการน้ำร้อนสูงสุดที่ 13,294 ลิตรต่อวัน ใช้เงินลงทุน 737,000 บาท สามารถผลิตน้ำร้อนได้ 13,318 ลิตรต่อวัน สามารถประหยัดค่าใช้จ่ายได้ 544,861 บาทต่อปี ระยะเวลาคืนทุน 2 ปี 5 เดือน



ภาพที่ 4 แสดงระบบผลิตน้ำร้อนแบบผสาน พ โรงพยาบาลแกลง อ. แกลง จ. ระยอง
ที่มา: กรมพัฒนาพลังงานทดแทนและอนุรักษ์พลังงาน, 2550

2. โรงแรมดูลิต ไอส์แลนด์สอร์ท อ. เมือง จ. เชียงราย ขนาดระบบ 4,735 ลิตรต่อวัน ใช้แผงรับรังสีแสงอาทิตย์ที่มีพื้นที่รับแสง 57 ตารางเมตร และใช้ครึ่งแลกเปลี่ยนความร้อนกับเครื่องปรับอากาศขนาด 24,000 บีทูอูต่อชั่วโมง (B.T.U. : British Thermal Unit เป็นหน่วยที่วัดปริมาณความร้อน โดยหลักการก็คือ ปริมาณความร้อนที่ทำให้น้ำที่หนัก 1 กิโลกรัม มีอุณหภูมิเพิ่มขึ้น 1 องศาفارน ไฮต์) จำนวน 2 ชุด (มีพื้นที่แลกเปลี่ยนความร้อนรวมไม่น้อยกว่า 0.50 ตารางเมตร) และใช้ถังเก็บน้ำร้อนเดิมของโรงแรมขนาด 10,000 ลิตร ซึ่งน้ำร้อนที่ได้ใช้เสริมระบบทำน้ำร้อนเดิมของโรงแรม สำหรับการวิเคราะห์ด้านการลงทุนโดยคิดจากขนาดความต้องการน้ำร้อนสูงสุดที่ 33,068 ลิตรต่อวัน ใช้เงินลงทุน 2,895,500 บาท สามารถผลิตน้ำร้อนได้ 33,082 ลิตรต่อวัน สามารถประหยัดค่าใช้จ่ายได้ 1,547,468 บาทต่อปี ระยะเวลาคืนทุน 2 ปี 11 เดือน



**ภาพที่ 5 แสดงระบบผลิตน้ำร้อนแบบผสมผสาน ณ โรงแรมคุณิต ไอส์แลนด์รีสอร์ท จ.เชียงราย
ที่มา: กรมพัฒนาพลังงานทดแทนและอนุรักษ์พลังงาน, 2550**

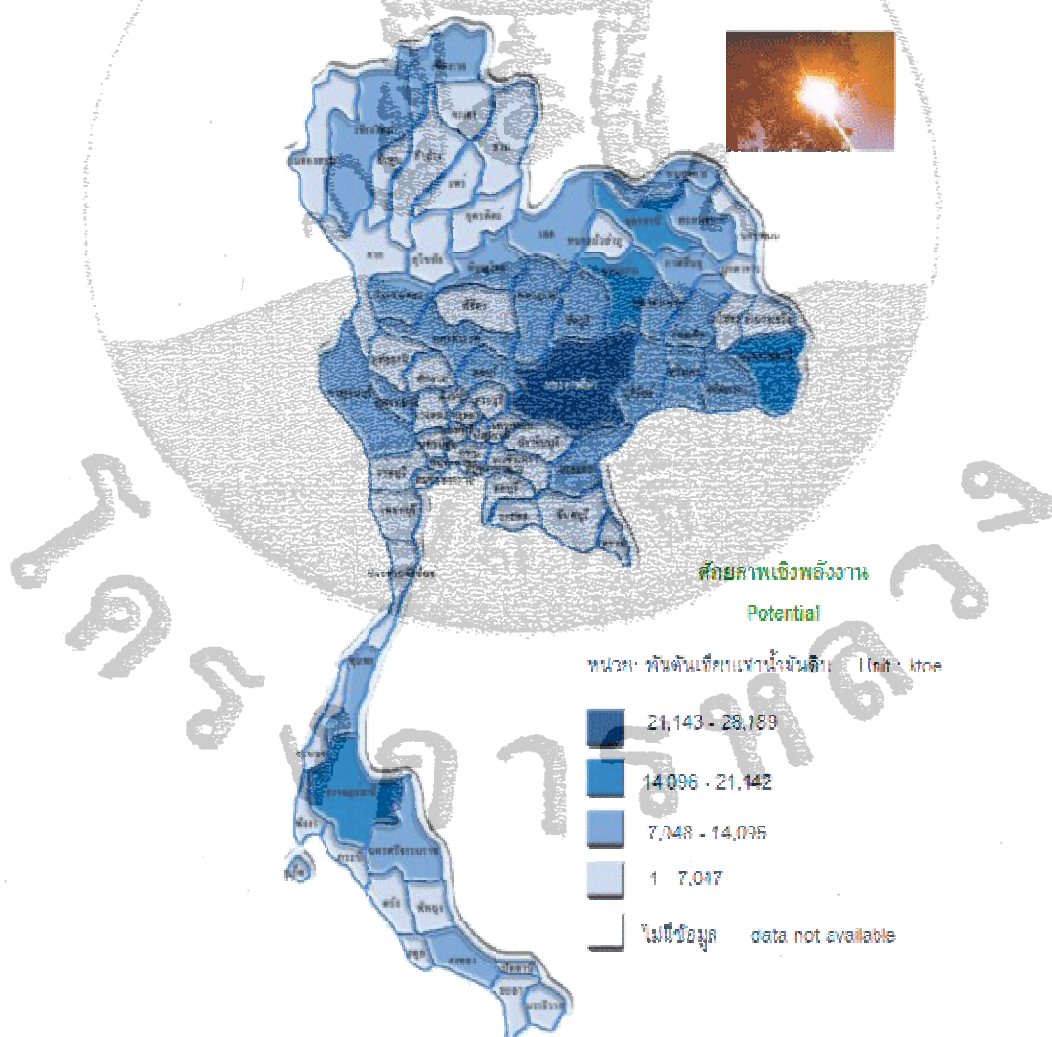
กรมพัฒนาพลังงานทดแทน และอนุรักษ์พลังงาน (2550) ได้สรุปข้อมูลเกี่ยวกับ ความเข้ม แสงเฉลี่ยรายปี และศักยภาพเชิงพลังงานทั่วประเทศไทย (ตารางที่ 1) และแสดงเป็นแผนที่พลังงาน แสงอาทิตย์ ทุกภูมิภาคในประเทศไทย พบร่วมเชียงใหม่เป็นพื้นที่ ที่มีความเหมาะสมในการใช้ ประโยชน์จากพลังงานแสงอาทิตย์ เนื่องจากมีศักยภาพเชิงพลังงานอยู่ในช่วง 14,096 - 21,142 พันตัน เทียบเท่ากันน้ำมันดิน ซึ่งแสดงดังภาพที่ 5

พลังงานแสงอาทิตย์เป็นพลังงานหมุนเวียนอย่างหนึ่ง ประเทศไทยมีแสงอาทิตย์เกือบทลอดทั้งปี โดยพลังงานแสงอาทิตย์มีค่าประมาณ 17 เมกะจูลต่อตารางเมตรต่อวัน ซึ่งมีศักยภาพเพียง พอก็จะนำพลังงานแสงอาทิตย์มาใช้เป็นประโยชน์ได้ เช่น การใช้พลังงานแสงอาทิตย์ในรูปแบบ ความร้อน โดยการใช้ตัวรับรังสีอาทิตย์เป็นวิธีหนึ่งในการนำแสงอาทิตย์มาใช้ประโยชน์ ตัวรับรังสี อาทิตย์ โดยทั่วไปสามารถแบ่งออกเป็น 2 ประเภท คือ ตัวรับรังสีอาทิตย์แบบแผ่นเรียวและแบบรวม แสง ซึ่งทั้ง 2 ประเภทนี้มีข้อดีและข้อด้อยแตกต่างกัน ซึ่งแบบแผ่นเรียวบนนี้จะรับได้ทั้งรังสีตรงและ รังสีกระจาย แต่อุณหภูมิที่ได้นั้นจะไม่สูงมากนัก ส่วนแบบรวมนี้จะได้อุณหภูมิสูงแต่จะรับได้ เนพาะรังสีตรงเท่านั้น จึงต้องมีระบบติดตามดวงอาทิตย์ จึงมีค่าใช้จ่ายสูงด้วย และในประเทศไทย ส่วนใหญ่รังสีอาทิตย์นั้นอยู่ในรูปร่างรังสีกระจายเป็นส่วนใหญ่ การใช้ตัวรับรังสีอาทิตย์แบบแผ่นเรียว จึงเหมาะสมกับประเทศไทยและมีค่าใช้จ่ายที่ไม่นานนัก โดยตัวรับรังสีอาทิตย์แบบแผ่นเรียวนี้ สามารถนำไปใช้ประโยชน์ในระบบผลิตน้ำร้อนสำหรับบ้านพักอาศัย หรือการอบแห้งผลิตผล ทางการเกษตร ได้ กล่าวถึงตัวรับรังสีอาทิตย์แบบแผ่นเรียวจะมีประสิทธิภาพต่ำกว่าbecause การ ลูปเลี้ยงความร้อนโดยเป็นผลมาจากการอิทธิพลของอากาศแวดล้อมและลมทำให้เกิดการพาความร้อนที่

บริเวณด้านบนของแผ่นปิดໄສ การเพิ่มประสิทธิภาพของตัวรับรังสีอาทิตย์จึงกระทำโดยให้เกิดการพากความร้อนทางด้านบนของแผ่นปิดໄສให้น้อยที่สุด

ตารางที่ 1 ความเข้มแสง และศักยภาพเชิงพลังงานแสงอาทิตย์ทั่วประเทศไทย

| แหล่งทางภูมิศาสตร์ | ความเข้มแสงเฉลี่ยรายปี (เมกะจูลต่อตารางเมตรต่อวัน) | ศักยภาพเชิงพลังงาน (พันตันเทียบเท่าน้ำมันดิบ) |
|--------------------|---|--|
| ทั่วประเทศ | 18.20 | 554,070.60 |



ภาพที่ 6 แผนที่พลังงานแสงอาทิตย์ และศักยภาพเชิงพลังงาน
ที่มา: กรมพัฒนาพลังงานทดแทนและอนุรักษ์พลังงาน, 2550

กรณีตัวอย่าง

การประหยัดค่าใช้จ่ายของการใช้พลังงานแสงอาทิตย์ช่วยอุ่นน้ำก่อนป้อนเข้า Boiler (ชนิดใช้น้ำมันเตาเป็นเชื้อเพลิง) และต้องการเพิ่มอุณหภูมิน้ำ 30 - 50 องศาเซลเซียส โดยมีช่วงเวลาทำงานตั้งแต่ 7.00 นาฬิกา ถึง 17.00 นาฬิกา (ใช้ Solar collectors รุ่น H - 50 พื้นที่รับรังสี 4.48 ตารางเมตร ปริมาณน้ำหมุนเวียนในแพลงรังสี 14.40 ลิตร)

ตารางที่ 2 ข้อมูลการใช้น้ำการใช้พลังงาน และการประหยัดค่าใช้จ่ายเมื่อใช้พลังงานแสงอาทิตย์

| รายละเอียด | ใช้น้ำ 1,000 ลิตร ต่อ ชั่วโมง | ใช้น้ำ 2,000 ลิตร ต่อ ชั่วโมง |
|---|--|--|
| พื้นที่ Solar collectors (ตารางเมตร) | 128.28 | 256.02 |
| จำนวน Solar collectors ที่ต้องใช้ (ชุด) | 29.00 | 58.00 |
| พลังงานที่ได้จาก Solar collectors (เมกะ焦ลต่อวัน) | 856.80 | 1,713.60 |
| พลังงานของน้ำมันดีเซล (เมกะ焦ลตอลิตร) | 41.00 | 41.00 |
| พลังงานของน้ำมันเตา (คำนวณประสิทธิภาพ Boiler 70 %) (เมกะ焦ลตอลิตร) | 28.70 | 28.70 |
| ประหยัดน้ำมันเตาได้ (ลิตร/วัน) | $856.80 / 28.70$ $= 29.85$ | $1,713.60 / 28.70$ $= 59.71$ |
| ราคาน้ำมันเตา (บาทต่อลิตร) | 14.00 | 14.00 |
| ประหยัดเงินได้ (บาทต่อวัน) | 29.85×14.00 $= 417.90$ | 59.71×14.00 $= 835.94$ |
| จำนวนวันทำงานตลอดทั้งปี (วัน) | 300.00 | 300.00 |
| ประหยัดเงินได้ (บาทต่อปี) | 417.90×300.00 $= 125,370.00$ | 835.94×300.00 $= 250,782.00$ |

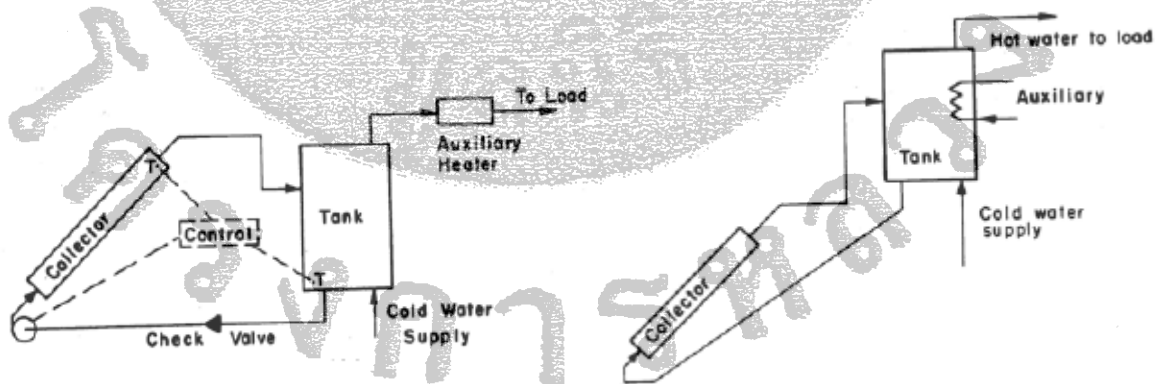
หลักการและทฤษฎีที่เกี่ยว

หลักการของเครื่องทำน้ำร้อนพลังงานแสงอาทิตย์

เครื่องทำน้ำร้อนพลังงานแสงอาทิตย์จะทำงาน โดยอาศัยหลักการ ไอลิเวียนของน้ำตามธรรมชาติ (Natural circulation) ซึ่งถังเก็บน้ำร้อนจะอยู่สูงกว่าแพลงรับพลังงานแสงอาทิตย์โดยน้ำจากก้นถังซึ่งเป็นน้ำเย็น จะเคลื่อนที่เข้าแพลงรับสีอาทิตย์ด้านล่างเพื่อไปรับความร้อนที่แพลงรับสีอาทิตย์ทำให้น้ำร้อนขึ้น ความหนาแน่นจะลดลงน้ำจึง流อตัวขึ้น โดยการแทนที่ของน้ำเย็นจากก้นถังน้ำร้อนที่流อตัวขึ้นจะเคลื่อนที่เข้าถังเก็บน้ำร้อนทางด้านบน เมื่อไม่มีการใช้น้ำร้อน น้ำที่ร้อนกว่าที่เคลื่อนที่ขึ้นมาจากการแพลงรับพลังงานรับรังสีอาทิตย์จะแทนที่น้ำด้านบนของถัง น้ำด้านบนของถังจะเคลื่อนที่ลงกันลงแล้วเคลื่อนที่ลงด้านล่างของแพลงรับรังสีอาทิตย์ต่อไป ส่วนน้ำเย็นจากแหล่งน้ำจะเติมเข้าด้านล่างถัง นำร้อนถูกนำออกไปใช้จะดึงจากด้านบนของถังเก็บน้ำร้อน

ทฤษฎีที่เกี่ยวข้องของเครื่องทำน้ำร้อนพลังงานแสงอาทิตย์

ระบบการผลิตน้ำร้อนจากแสงอาทิตย์นี้ ได้ขัดแย้งตามลักษณะการ ไอลิเวียนของของไอลทำงานที่ผ่านแพลงรับแสงอาทิตย์ได้ 2 แบบ คือการ ไอลิเวียนแบบธรรมชาติ (Thermosyphon system) และแบบ ไอลิเวียนตามแรงดัน (Force circulation system) ดังภาพที่ 7 นอกเหนือไปยังแบบปั๊ม ตามลักษณะการถ่ายเทความร้อน และลักษณะของถังเก็บความร้อนที่ใช้



ระบบหมุนเวียนของน้ำโดยใช้แรงดันวงจรเดียว

ระบบหมุนเวียนของน้ำเป็นแบบธรรมชาติ

ภาพที่ 7 ระบบทำน้ำร้อนพลังงานแสงอาทิตย์แบ่งตามลักษณะการ ไอลิเวียนของของไอลที่ผ่านแพลงรับพลังงานแสงอาทิตย์

ที่มา: ศูนย์ทรัพยากรฟิกอบรมเพื่อการอนุรักษ์พลังงาน, 2533

ทฤษฎีพลังงานแสงอาทิตย์

ทฤษฎีพลังงานแสงอาทิตย์ ในการออกแบบระบบความร้อนจากพลังงานแสงอาทิตย์ จะต้องมีการคำนึงถึงปริมาณความร้อน ความไม่แน่นอนของปริมาณความร้อนและลักษณะของการแผ่ความร้อน

แสงอาทิตย์ที่ตกกระทบพิวโลกนั้นเป็นแสงแบบรวม (Total solar radiation) ประกอบด้วย แสงอาทิตย์แบบรังสีตรง (Direct solar radiation) มาจากการเดินทางของคลื่นที่นำพลังงาน แสงอาทิตย์จากดวงอาทิตย์มาตักกระทบ ณ ตำแหน่งนั้นๆ โดยตรงดังจะปรากฏเงาขึ้นเมื่อมีการบัง แสง และแบบรังสีกระจาย (Diffuse solar radiation) เกิดจากพลังงานแสงอาทิตย์แนวตรงที่ถูกเปลี่ยนแปลงคุณสมบัติโดยสภาพบรรยากาศและสภาพภูมิศาสตร์ทำให้พลังงานแสงอาทิตย์ระจัด กระจายทุกทิศทุกทาง เช่น ในขณะที่เรารอยู่ที่ในร่มเรายังรับรู้ความร้อนและมีความสว่างมองเห็นได้ เป็นต้น การแพร่รังสีแบบนี้จะถูกกักเก็บไว้ด้วยการใช้แผงรับรังสีแสงอาทิตย์แบบราบเท่านั้น

บริเวณที่เหมาะสมที่สุดของการวางแผนรับรังสีอาทิตย์ คือบริเวณที่หันไปทางทิศใต้โดยมี มุมเอียงเท่ากับเส้นรุ้ง (Latitude) ของบริเวณนั้นๆ แผงรับรังสีอาทิตย์ที่ถูกวางให้หมุนเคลื่อนที่หันเข้า หาดวงอาทิตย์ตลอดเวลา จะได้รับพลังงานดวงอาทิตย์มากกว่าแผงรับรังสีอาทิตย์ที่ไม่เคลื่อนที่และ ถูกวางให้หันหน้าไปทางทิศในมุมเอียงที่เหมาะสมถึงร้อยละ 20 ของพลังงานดวงอาทิตย์

พลังงานที่เกิดขึ้นบนดวงอาทิตย์เกิดจากปฏิกิริยาเทอร์โมนิวเคลียร์ แล้วปล่อยพลังงาน ออกมายังรูปคลื่นแม่เหล็กในอัตรา 3.85×10^{26} วัตต์ ปริมาณพลังงานของแสงอาทิตย์เมื่อผ่านมาถึงโลกแล้วจะเปลี่ยนแปลงดังนี้

ร้อยละ 30 = ปริมาณพลังงานแสงอาทิตย์ที่สะท้อนกลับสู่อากาศ

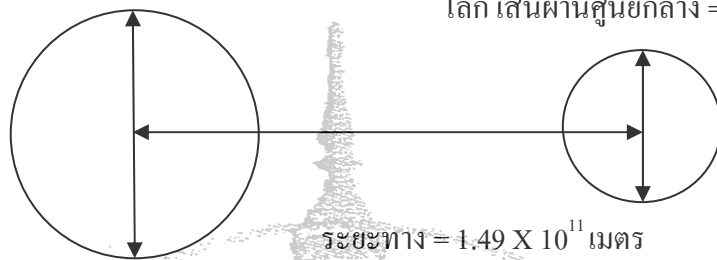
ร้อยละ 47 = ถูกเปลี่ยนไปเป็นความร้อนที่อุณหภูมิต่ำ และแพร่รังสีกลับสู่อากาศอีกครั้ง

ร้อยละ 23 = ทำให้เกิดวัฏจักรในการหมุนเวียนของไอน้ำ

การใช้พลังงานแสงอาทิตย์

ดวงอาทิตย์ เส้นผ่านศูนย์กลาง = 1.39×10^9 เมตร

โลก เส้นผ่านศูนย์กลาง = 1.27×10^7 เมตร



ระยะทาง = 1.49×10^{11} เมตร

ค่าคงที่ของพลังงานแสงอาทิตย์ = 1,353 วัตต์ต่อตารางเมตร

ภาพที่ 8 ความสัมพันธ์ของดวงอาทิตย์กับโลก

ที่มา: หนังเกียรติ, 2531

พลังงานแสงอาทิตย์ที่ตกกระทบและตั้งฉากกับพื้นที่หนึ่งหน่วยบริเวณออกโลกต่อหนึ่งหน่วยเวลา ซึ่งได้จากความสัมพันธ์ของการโคลจรระหว่างดวงอาทิตย์กับโลกและถ้าใช้ระยะห่างระหว่างดวงอาทิตย์กับโลกจริง เรียกว่า พลังงานแสงอาทิตย์นอกบรรยากาศ แต่เนื่องจากโลกหมุนรอบดวงอาทิตย์เป็นวงรี จะนับนิจึงต้องใช้ค่าเฉลี่ยของระยะห่างระหว่างดวงอาทิตย์กับโลก เรียกว่า ค่าคงที่ของพลังงานแสงอาทิตย์ (The solar constant) ซึ่งมีค่าเท่ากับ 1,353 วัตต์ต่อตารางเมตร ส่วนบนผิวโลกจะมีความร้อนประมาณ 946 วัตต์ต่อตารางเมตร เนื่องจากมีการหักเหของพลังงานแสงอาทิตย์ที่เกิดขึ้นจากการกระจักรกระจาดของรัศมีเมื่อกระทบบรรยากาศไม่เลกุลของ-atmosphere ไอนำ้และฝุ่นรวมไปถึงการเปลี่ยนแปลงเนื่องจากการคัดคลีนรังสีของօอโซน โอโซน นำ้ และการรับอนุไดออกไซด์ จึงทำให้พลังงานที่วัดได้บนผิวโลกมีค่าน้อยกว่าที่วัดได้จากนอกบรรยากาศโลก

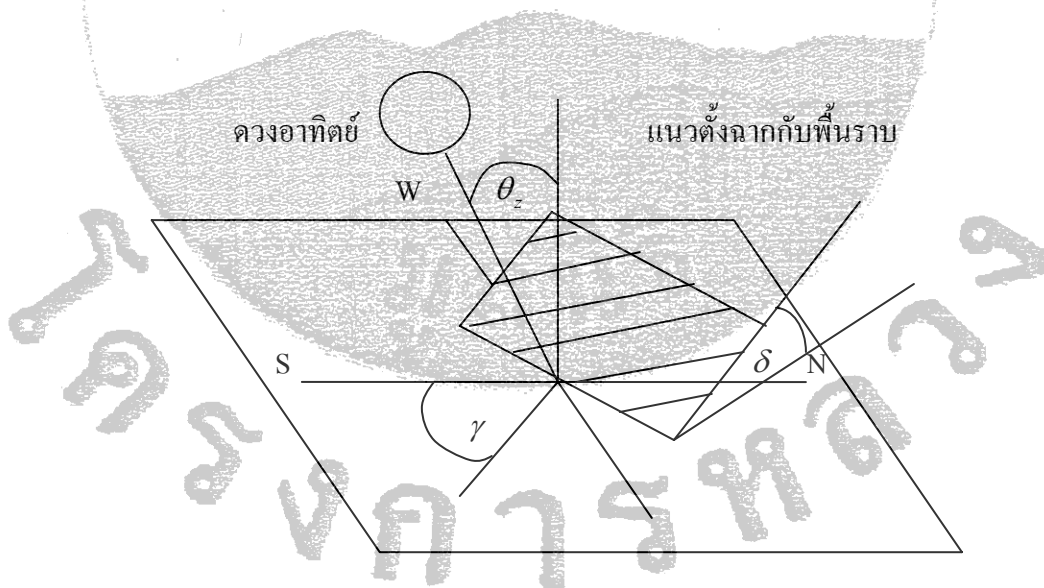
ปริมาณพลังงานที่โลกได้รับจากการแพร่รังสีของดวงอาทิตย์จะมากหรือน้อย นอกเหนือจากค่าคงที่ของพลังงานดวงอาทิตย์แล้วปริมาณพลังงานยังขึ้นอยู่กับสิ่งต่างๆ ดังนี้

1. ความโปร่งใสของบรรยากาศเนื่องมาจากบรรยากาศประกอบด้วย ฝุ่น เมฆ ไอน้ำ และก๊าซ ซึ่งมีส่วนในการกระจายการสะท้อนและการคัดซับรังสีจากดวงอาทิตย์ ในบริเวณเมฆหนาทึบหรืออากาศซึ่งมีมลภาวะจะได้รับพลังงานแสงอาทิตย์โดยตรงน้อย

2. ความยาวนานของกลางวันมีค่าแตกต่างไปตามเส้นรุ้งและแต่ละฤดูกาลในวันที่มีระยะเวลากลางวันยาวนานจะได้รับรังสีจากดวงอาทิตย์มาก บริเวณศูนย์สูตรจะมีเวลากลางคืนเท่ากับกลางวัน

3. မุนของแสงอาทิตย์ที่ส่องผลกระทบพื้นโลกในตอนเที่ยงวันดวงอาทิตย์จะอยู่ตรงศีรษะ พอดี ความเข้มของรังสีจากดวงอาทิตย์จะมีมากที่สุด แต่ในตอนเช้าและตอนเย็นรังสีจากดวงอาทิตย์ จะส่องเป็นมุมเอียง ดังนั้นความเข้มของรังสีจากดวงอาทิตย์จะน้อยและหลักการเดียวกันนี้จะนำไปใช้กับเส้นรุ้ง และถูกกล่าวคือบริเวณที่เส้นรุ้งสูงๆ ในถูกหน้าแม่เวลาเที่ยงมุมแสงอาทิตย์จะส่องเป็นมุมเอียง ส่วนถูกร้อนในบริเวณเส้นรุ้งต่ำแสงอาทิตย์จะส่องในแนวเกือบตั้งฉากจึงสรุปได้ว่าถ้าแสงอาทิตย์ส่องกระทบกับพื้นโลกเป็นมุมจากความเข้มของรังสีจะมาก บริเวณใดที่รับแสงอาทิตย์ในแนวเอียง แสงอาทิตย์จะแพร่รังสีปกคลุมเป็นบริเวณกว้างกว่าทำให้ความเข้มรังสีลดน้อยลง และในการจัดพื้นผิวแผ่นราบให้รับแสงอาทิตย์เป็นมุมจากนั้น ให้ปรับมุมเอียงประมาณเท่ากับเส้นรุ้ง ณ ที่ซึ่งติดตั้ง โดยจัดพื้นที่รับแสงหันในแนวเหนือ - ใต้ คือ ในแนวซีกโลกเหนือหันไปทางทิศใต้ และซีกโลกใต้หันไปทางทิศเหนือ

รังสีดวงอาทิตย์รวมบนพื้นเอียงโดยปกติแล้วแพร่รังสีจะมีความสัมพันธ์กับตำแหน่งบนพื้นโลก ณ เวลาต่างๆ และทิศทางของรังสีดวงอาทิตย์ซึ่งขึ้นอยู่กับตำแหน่งต่างๆ ของดวงอาทิตย์ ขณะนั้นๆ ดังแสดงในภาพที่ 9 ความสัมพันธ์ต่างๆ ได้ดังนี้



ภาพที่ 9 แสดงความสัมพันธ์ของแพร่รังสีแสงอาทิตย์
ที่มา: ทนงเกียรติ, 2531

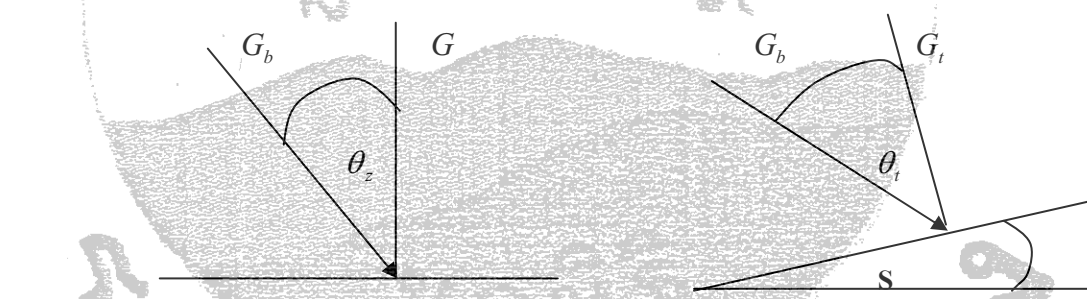
ตำแหน่งสีสันรุ้ง (Latitude: ϕ) คือมุมตามแนวเหนือใต้ของเส้นศูนย์สูตร โดยอยู่เหนือเส้นศูนย์สูตรมีค่าเป็นบวกถ้าอยู่ต่ำกว่าเส้นศูนย์สูตรมีค่าเป็นลบ (-90 องศา $\leq \phi \leq 90$ องศา)

มีมุมดิไคลเอนชั่น (Declination angle: δ) คือมุมที่แสดงตำแหน่งของดวงอาทิตย์ขณะที่อยู่ตอนเที่ยงวันเทียบกับระนาบเส้นศูนย์สูตร ถ้ามุมชี้ไปทางทิศเหนือมีค่าเป็นบวกแล้วถ้าชี้ไปทางทิศใต้มีค่าเป็นลบ (-23.45 องศา $\leq \delta \leq 23.45$ องศา)

มุมเอียง (Slope angle: S) คือมุมระหว่างของแพรรับพลังงานแสงอาทิตย์กับแนวราบโดยมีมุม (0 องศา $\leq S \leq 180$ องศา)

มุมตกกระทบ (Angle of incidence: θ_i) คือมุมที่เกิดจากแนวของรังสีกระทำกับแนวเส้นตั้งฉากของแพรรับรังสี

มุมอะซิมุท (Surface azimuth angle: γ) คือมุมของการหันหน้าของแพรรับรังสีแสงอาทิตย์ไปทางทิศใต้ โดยจะมีค่าเป็นศูนย์เมื่อหันหน้าไปทางทิศตะวันออกจะมีค่าเป็นบวกถ้าหันหน้าไปทางทิศตะวันตกจะมีค่าเป็นลบ



ภาพที่ 10 แสดงรังสีแสงอาทิตย์ที่ตกลงบนพื้นราบและพื้นเอียง

ที่มา: หนังเกียรติ, 2531

รังสีแสงอาทิตย์รวมบนพื้นเอียง คือ ผลรวมของรังสีโดยตรงกับรังสีกระจายดังภาพที่ 9 ซึ่งสามารถหาค่ารังสีดวงอาทิตย์รวมบนพื้นที่ได้จากการดังนี้

$$G_t = G_b R_b + G_d \quad \dots\dots(1)$$

G = รังสีแสงอาทิตย์รวมบนพื้นราบ

G_t = รังสีแสงอาทิตย์รวมบนพื้นเอียง

G_b = รังสีแสงอาทิตย์ตรงบนพื้นราบ

G_d = รังสีแสงอาทิตย์กระจายบนพื้นราบ

R_b = อัตราส่วนของรังสีแสงอาทิตย์ตรงบนพื้นเอียงต่อรังสีแสงอาทิตย์ตรงบนพื้นราบ

ดังนั้นถ้าต้องการให้ G_t มีค่าสูง ค่า R_b ต้องมีค่าสูงด้วย

ค่าอัตราส่วนของรังสีแสงอาทิตย์ตรงบนพื้นเอียงต่อรังสีแสงอาทิตย์ตรงบนพื้นราบ (R_b) คำนวณได้จากสมการนี้

$$R_b = \frac{G_b \cos \theta_t}{G_b \cos \theta_z} = \frac{\cos \theta_t}{\cos \theta_z} \quad \dots\dots (2)$$

โดยที่

$$\begin{aligned} \cos \theta_t &= \sin \delta \cos s - \sin \delta \cos \theta \sin s \cos \gamma + \cos \delta \cos \phi \cos s \cos \omega \\ &\quad + \cos \delta \sin s \cos \gamma \cos \omega + \cos \delta \sin s \sin \gamma \sin \omega \end{aligned}$$

$$\cos \theta_z = \sin \delta \sin \phi + \cos \delta \cos \phi \cos \omega$$

θ_t = มุมตกกระทบของรังสีแสงอาทิตย์บนพื้นเอียงกับแนวตั้งจากกับพื้นเอียง

θ_z = มุมตกกระทบของรังสีแสงอาทิตย์บนพื้นราบกับแนวตั้งจากกับพื้นราบ

ϕ = มุมของเส้นรุ้ง

s = มุมอีริยะระหว่างพื้นราบกับพื้นที่ผิวที่พิจารณา

γ = มุมที่เส้นตั้งฉากกับพื้นเอียงเบี่ยงเบนไปจากแนวเหนือได้

ω = มุมช่วงโmono โดยถือว่าต่อนที่ยังมีค่าเป็นศูนย์ช่วงก่อนเที่ยงมีค่าเป็นนาวและหลังเที่ยงมีค่าเป็นลบ มีค่า 15 องศาต่อช่วงโmono

δ = มุมดีไซน์แนชัน

$$= 23.45 \sin \left(360 \times \frac{284+n}{365} \right)$$

n = วันที่รอบปี

จากสมการค่า R_b จะเปลี่ยนแปลงทุกวันตามตำแหน่งดวงอาทิตย์จากการวางแผนรับรังสีให้มีมุมเอียงที่ทำให้แผนรังสีมีประสิทธิภาพดีที่สุดนั้นต้องวางให้มีมุมเอียงที่ทำให้มีค่า R_b มากที่สุด สำหรับเชิงใหม่ซึ่งตั้งอยู่ทางข้ามโลกเหนือที่เส้นรุ้ง 19 องศา จะได้ค่า R_b มากที่สุดในทางปฏิบัติการ คำนวณค่ารังสีแสงอาทิตย์รวมนั้นทำได้ยาก เนื่องจากไม่มีเครื่องมือวัดรังสีดวงอาทิตย์ให้แยกกันได้ ดังนั้นค่ารังสีดวงอาทิตย์ที่นำมาใช้นั้นจะทำมาจากเครื่องมือวัดรังสีดวงอาทิตย์แบบรวมโดยตรง

แผงรับรังสีอาทิตย์ชนิดแผ่นระนาบ

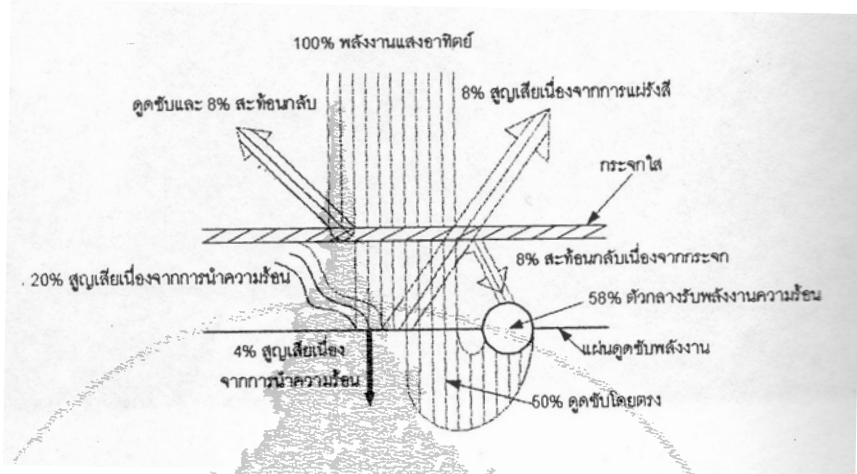
แผงรับพลังงานแสงอาทิตย์ ถือว่าเป็นอุปกรณ์สำคัญซึ่งเป็นที่เกิดของกระบวนการ 2 กระบวนการคือ กระบวนการดูดกลืนพลังงานแสงอาทิตย์ และกระบวนการแปลงพลังงาน แสงอาทิตย์ให้เป็นพลังงานความร้อน จากนั้นก็จะเป็นการใช้ของไหลงมารับความร้อน และพากความร้อนไปถ่ายเทให้กับจุดที่ต้องการใช้พลังงานความร้อนต่อไป โดยที่หลักการทำงานของแผงรับรังสี แสงอาทิตย์ชนิดแผ่นรับจะสอดคล้องกับการอนุรักษ์พลังงานอย่างสมมูลน์แบบ “ไม่ทำให้โลกลดเสีย สมดุลทางความร้อน สามารถเก็บรวมพลังงานความร้อนจากแสงอาทิตย์แม้มีเมฆบังแสงอาทิตย์ ก็ตาม และมีโครงสร้างที่ป้องกันการสูญเสียความร้อน โดยอาศัยหลักการถ่ายเทความร้อนทั้งสาม ทาง คือ การนำความร้อน การพากความร้อน และการแผ่รังสีความร้อน



ภาพที่ 11 แสดงส่วนประกอบของครื่องทำน้ำร้อนด้วยพลังงานแสงอาทิตย์

ที่มา: การไฟฟ้าฝ่ายผลิตแห่งประเทศไทย, 2547

กระจายใสหรือแผ่นปิดหน้าไปร่องแสง ในการออกแบบนี้จะเลือกใช้กระบวนการนิรภัย มาตรฐาน อุตสาหกรรม หนา 3 มิลลิเมตร ซึ่งมีความหนาแน่น แข็งแรง ทนแรงกระแทกติดตื้ออยู่ด้านบนแผ่น ดูดกลืนทำหน้าที่ปิดช่องทางเพื่อป้องกันการสูญเสียความร้อนเนื่องจากการพากความร้อนต้องมี คุณสมบัติที่ไม่ดูดกลืนรังสีหรือสะท้อนรังสีสามารถส่งผ่านคลื่นรังสีไปยังแผ่นดูดกลืนมากที่สุด



ภาพที่ 12 แสดงส่วนประกอบ และจำนวนพลังงานความร้อนที่สูญเสียไปของแผงรับแสงอาทิตย์ ชนิดเหลวเป็นตัวรับพลังงานความร้อน
ที่มา: ทนงเกียรติ, 2531

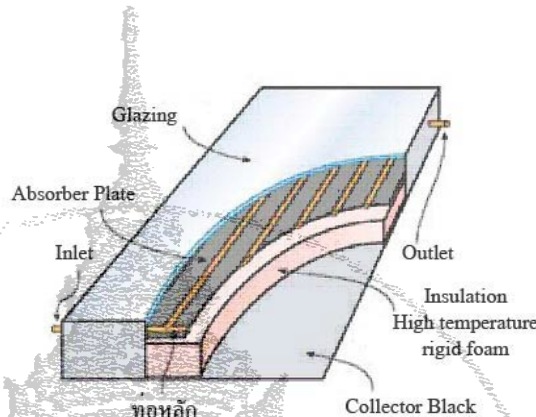
แผ่นดูดกลืนความร้อน มีหน้าที่ดูดกลืนความร้อนเมื่อแสงอาทิตย์ตกกระทบบนแผ่นดูดกลืน แผ่นดูดกลืนจะเปลี่ยนพลังงานแสงอาทิตย์เป็นพลังงานความร้อนจากนั้นจะถ่ายเทความร้อนให้กับท่อทองแดงที่ติดอยู่กับแผ่นดูดกลืน โดยการนำความร้อน ก็จะได้พลังงานความร้อนจากดวงอาทิตย์ เก็บไว้ถังเก็บน้ำร้อน ลักษณะของแผ่นดูดกลืนความร้อนในการออกแบบจะเป็นแผ่นสีเหลือง ซึ่งขนาดของพื้นที่รับแสงจะเป็นตัวกำหนดปริมาณพลังงานความร้อนที่ได้

ท่อภายในแผง ท่อน้ำที่ใช้ต้องมีคุณสมบัติในการนำความร้อนที่ได้ วางเป็นแนวให้สามารถรับการถ่ายเทความร้อนด้วยวิธีการนำความร้อนแล้วถ่ายเทความร้อนให้กับน้ำด้วยวิธีการพาความร้อน น้ำเป็นตัวกลางนำพลังงานความร้อนไปใช้งาน ทองแดงเป็นวัสดุที่ดีที่สุดในการนำความร้อนดีกว่าอลูมิเนียม 2 เท่าดีกว่าเหล็ก 10 เท่า นอกจากนั้นท่อทองแดงยังมีความทนทาน ทนต่อการกัดกร่อนของสนิมและการเกะกะของหินปูน ได้ดีมาก

จำนวนกันความร้อน ใช้ในการบูรณาที่ช่องว่างบริเวณด้านล่างของแผ่นดูดกลืนพลังงานแสงอาทิตย์ เพื่อลดการสูญเสียความร้อน ที่จะออกไปภายนอกทางด้านล่าง และด้านข้างชนิดของชนวนที่เลือกใช้ คือ โพลียูเลียนที่มีคุณสมบัติความแข็ง ทนทานความร้อนได้สูง น้ำหนักเบา ที่สำคัญไม่ดูดความชื้น ซึ่งเป็นข้อได้เปรียบที่ดีกว่าชนวนแบบไข้แก้วที่ดูดซึมน้ำ จึงไม่เหมาะสมกับประเทศไทยที่มีความชื้นสูง เช่น ประเทศไทย

กล่องจะบะ คือ โครงกรอบใช้ในการบรรจุส่วนประกอบทั้งหมดในแผงรับพลังงานแสงอาทิตย์ชนิดแผ่นระบบให้เป็นอุปกรณ์ชุดเดียวกัน ซึ่งการออกแบบในที่นี้เลือกใช้เหล็กและ

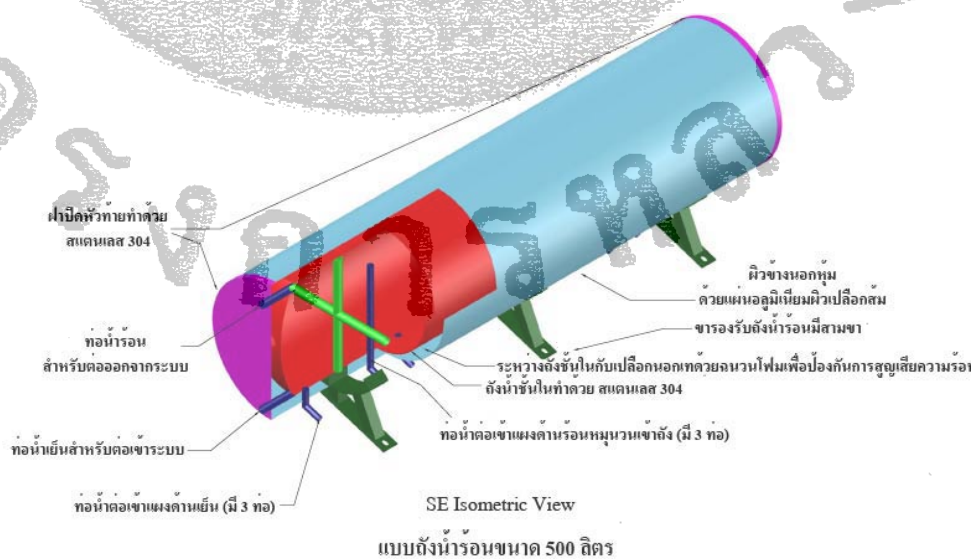
สังกะสีเคลือบ ประกอบเข้าด้วยกันให้เป็นกล่องจะบแทนการใช้กรอบอลูมิเนียมรีดขึ้นรูป ลึงจะมีน้ำหนักมากกว่าแต่ก็ประหยัด



ภาพที่ 13 โครงสร้างของแผงรับแสงอาทิตย์ทั่วไป
ที่มา: พนงเกียรติ, 2531

ถังเก็บน้ำร้อน

ถังเก็บน้ำร้อนจะเก็บรักษาความร้อนจากพลังงานแสงอาทิตย์ โดยการเก็บน้ำร้อนเอาไว้จนกว่าจะถูกนำ去ใช้ ภายในถังต้องมีความนุ่มนวลกับความร้อนที่ดี เพื่อให้น้ำร้อนข้างในถังยังคงร้อนได้ต่อไปอีก โดยเฉพาะอย่างยิ่งบริเวณด้านบนของถังจะต้องติดตั้งฉนวนกันความร้อน โดยไม่มีการถ่ายเทความร้อน ท่อน้ำร้อนจะต้องไม่เชื่อมต่อกับน้ำเย็น แต่ท่อน้ำร้อนจะต้องໄหลเวียนกลับไปที่ด้านบนของถัง



ภาพที่ 14 แสดงส่วนประกอบถังน้ำร้อนขนาด 500 ลิตร

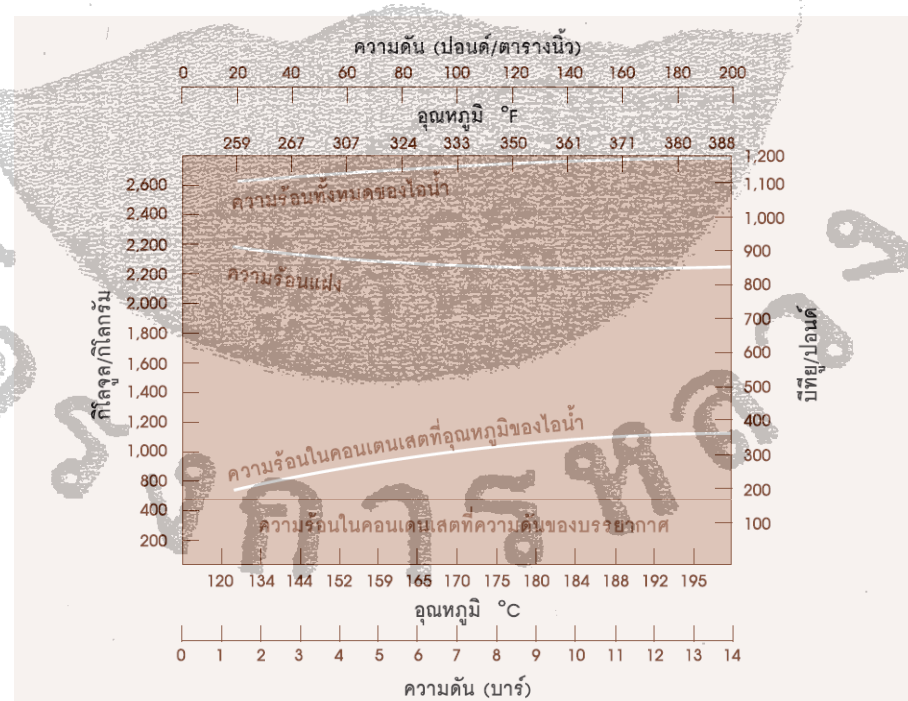
ที่มา: สุริยนต์, 2550

ท่อนนำร้อน ประกอบด้วยห่อวัสดุชนิด PE-AL-PE ข้อต่อห่อเหลือง และข้อต่อพลาสติก เหมาะสมสำหรับงานนำร้อนทดสอบการใช้หอทองแดง หรือหอชนิดอื่นที่มีราคาสูงคุณลักษณะใช้งาน ที่อุณหภูมิ (-40) ถึง 95 องศาเซลเซียส ทนแรงดันได้ 1.00 เมกะบาร์ascal มีขนาดตั้งแต่ 3/8 - 1 ½ นิ้ว สามารถประกอบติดตั้งได้ง่ายไม่เป็นสนิม ไม่ผกร่อน ไม่กรอบแตก แข็งแรงทนทาน

ทฤษฎีที่เกี่ยวข้องไอน้ำ

ไอน้ำถูกนำมาใช้ในการให้ความร้อน และใช้ในกระบวนการผลิตต่าง ๆ ไอน้ำเป็นตัวกลางที่ดีในการพาและถ่ายเทความร้อน ข้อดีของการใช้ไอน้ำเป็นตัวกลางในการส่งผ่านความร้อนมี 3 ประการ คือ ไอน้ำสามารถถ่ายเทความร้อนที่อุณหภูมิคงที่ คุณสมบัติดังกล่าวจะเป็นสิ่งที่มีความสำคัญมากในการให้ความร้อนกับวัสดุที่มีความไวต่ออุณหภูมิ อุณหภูมิของไอน้ำขึ้นอยู่กับความดันของไอน้ำ จากหลักการนี้ทำให้การควบคุมอุณหภูมิง่ายขึ้น ไอน้ำต่อหน่วยปริมาตรสามารถสะสมพลังงานได้เป็นจำนวนมาก ด้วยเหตุนี้ทำให้สามารถใช้ระบบห่อส่งผ่านไอน้ำได้อย่างไม่ยุ่งยากบ่อยครั้งที่การใช้ไอน้ำอย่างไม่ระมัดระวังส่งผลให้ระบบมีการใช้งานไม่ดีเท่าที่ควรและประสิทธิภาพดี ซึ่งเมื่อว่าโรงงานจะมีการปรับปรุงการใช้ไอน้ำที่ดีเพียงใดก็จะมีการสูญเสียที่หลีกเลี่ยงไม่ได้อยู่จำนวนหนึ่ง หากการสูญเสียมีจำนวนน้อยก็เป็นสิ่งที่ยอมรับได้ สำหรับในส่วนของความร้อนที่เหลือ ถ้ามีมากพอก็ควรจะพิจารณานำความร้อนที่เหลือกลับมาใช้งานให้ดีที่สุด ซึ่งการไม่ได้สังเกตไอน้ำที่รั่วจากข้อต่อวนวนซึ่งขาดหายไปกับดักไอน้ำ (Steam Trap) ปล่อยให้ไอน้ำรั่ว ดังนั้นการที่คุ้มครองไอน้ำระบบขนาดใหญ่ในเวลเดือนที่ห้องเครื่องต้องไม่ถูกต้อง ทำให้อุปกรณ์เครื่องจักรที่ใช้ไอน้ำทำงานไม่ได้สมรรถนะที่สูงสุด เนื่องจากมีอากาศหรือน้ำอันเป็นเหตุให้กับดักไอน้ำ (Steam Trap) ทำงานอย่างผิดพลาด ส่งผลให้ต้องการผลิตไอน้ำลดลง ได้ไอน้ำหลังจากคายความร้อนแล้วจะกลับตัวเปลี่ยนสถานะเป็นของเหลวซึ่งเรียกว่า “Condensate” ตอนเดนสเตนี้ยังคงมีพลังงานเหลืออยู่จำนวนหนึ่งเมื่อสูบคอนเดนสเตกลับเข้าหม้อไอน้ำจะทำให้อุณหภูมน้ำป้อนหม้อไอน้ำสูงขึ้นเป็นการลดพลังงานที่ปล่อยทิ้งและลดเชื้อเพลิงที่จะใช้ในการต้มน้ำให้เดือดภายในระบบไอน้ำที่มีการคูณและรุ่งรักษามาเป็นอย่างดี จะลดค่าใช้จ่ายในกระบวนการผลิตทั้งในรูปของค่าใช้จ่ายด้านพลังงานและต้นทุนผลิตจะลดลงอย่างมาก การใช้ไอน้ำอย่างเหมาะสมเป็นสิ่งที่ทำได้ไม่ยากแก้ไขปรับปรุงลงทุนไม่มาก ซึ่งโดยทั่วไปการคิดค่าใช้จ่ายไอน้ำจะนำไปคิดรวมกับค่าบริหารงาน โดยคิดว่าเป็นรายจ่ายที่หลีกเลี่ยงไม่ได้ แต่ความเป็นจริงคือเป็นส่วนหนึ่งของต้นทุนผลิตกันที่ ดังนั้นผลตอบแทนที่ได้กลับคืนจากการปรับปรุงระบบไอน้ำจะได้ผลตอบแทนสูงคุ้มค่าต่อการลงทุนอีกด้วย (ศูนย์ทรัพยากรฟื้นฟูธรรมเพื่อการอนุรักษ์พลังงาน, 2533)

ไอ้น้ำมีสองชนิด คือ ความร้อนสัมผัสและความร้อนแห้งเมื่อเพิ่มความร้อนให้แก่น้ำทุกอุณหภูมิของน้ำที่เพิ่มขึ้นด้วยอัตรา 0.50 องศาเซลเซียส จะใช้ความร้อนที่ป้อนเข้า 2 กิโลจูลต่อ กิโลกรัม (1 บีทียูต่อปอนด์) อุณหภูมนี้สามารถถูกลึกได้และเรียกว่า “ความร้อนสัมผัส” (ความร้อนจำนวน 419 กิโลจูลต่อ กิโลกรัม เพื่อเปลี่ยนน้ำจาก 0 องศาเซลเซียส เป็น 100 องศาเซลเซียส) การเพิ่มความร้อนให้แก่น้ำที่ 100 องศาเซลเซียส ที่ความดันบรรยายกาศอุณหภูมิจะไม่เพิ่มขึ้นแต่จะทำให้น้ำเดือดและน้ำส่วนหนึ่งจะเปลี่ยนสถานะเป็นไอ้น้ำ การที่จะเปลี่ยนน้ำให้เป็นไอ้น้ำทั้งหมด จะต้องเพิ่มความร้อนจำนวน 2,257 กิโลจูลต่อ กิโลกรัม (971 บีทียูต่อปอนด์) ความร้อนที่เพิ่มขึ้นนี้ ไม่สามารถจะรู้สึกได้จึงเรียกว่า “ความร้อนแห้งของการระเหย” คือ ความร้อนทั้งหมด 2,676 กิโลจูล ต่อ กิโลกรัมที่ใช้ในการเปลี่ยนน้ำที่ 0 องศาเซลเซียส เป็นไอ้น้ำหากน้ำมีความดันสูงกว่าความดันปกติ ความดันบรรยายกาศน้ำจะไม่เดือดถลายเป็นไอ้น้ำที่ 100 องศาเซลเซียส (212 ฟารนไฮต์) จะต้องเพิ่มอุณหภูมิให้สูงกว่านี้ ดังนั้นเมื่อความดันของไอ้น้ำลดลง ความร้อนแห้งต่อหน่วยน้ำหนักของไอ้น้ำจะเพิ่มขึ้น สิ่งนี้เป็นความจริงทางฟิสิกส์ซึ่งเป็นส่วนที่สำคัญในการที่จะบอกและแสดงผลการประหยดเชื้อเพลิง



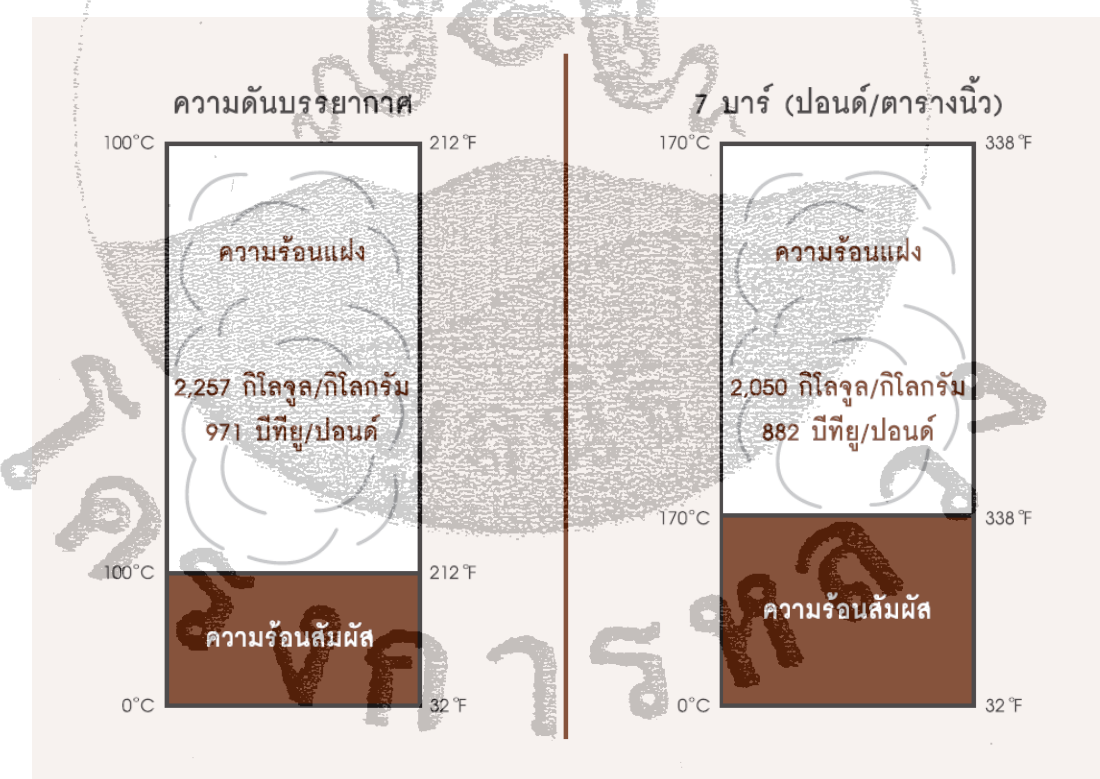
ภาพที่ 15 ความร้อนที่อยู่ในไอ้น้ำ

ที่มา: ศูนย์ทรัพยากรົກອນບໍລິສັດພັດທະນາ, 2533

จากภาพที่ 15 แสดงให้เห็นความสัมพันธ์ของความดันเมื่อสูงขึ้นอุณหภูมิของไอ้น้ำก็จะเปลี่ยนแปลงสูงขึ้นตามไปด้วย ความสัมพันธ์นี้สามารถนำไปใช้เพื่อให้อุณหภูมิที่ต้องการของ

กระบวนการผลิต กรณีที่เป็นจุดวิกฤตการใช้ความดันและอุณหภูมิจะต้องสอดคล้องกัน การลดอุณหภูมิเพื่อให้ได้ผลประ hely ดังต้องแน่ใจว่าผลผลิตจะไม่เสียหายเมื่อลดอุณหภูมิลงมีหลายกระบวนการผลิตที่ใช้ไอน้ำเป็นสารตัวกลางในการให้ความร้อนซึ่งใช้ประโยชน์เฉพาะส่วนของความร้อนแห้งเท่านั้น ดังนั้นจึงจำเป็นต้องทำการผลิตไอน้ำให้เหมาะสมในการใช้งาน โดยการควบคุมความดันไอน้ำที่ถูกต้อง

เพื่อที่จะรักษาความร้อนแห้งให้ได้ค่าที่เหมาะสมและถูกต้อง การที่จะเพิ่มความร้อนให้ก่อนเดนเซตจะต้องเพิ่มความดันของไอน้ำให้สูงขึ้น ดังนั้นถ้ามีการใช้ความดันไอน้ำสูงในกระบวนการผลิตมีความจำเป็นอย่างยิ่งที่จะต้องนำความร้อนจากเดนเซตกลับมาใช้ เพื่อที่จะรักษาระดับประสิทธิภาพการใช้งานให้สูงขึ้น ดังนั้นถ้าต้องการที่จะใช้ความร้อนสัมผัสซึ่งเป็นความร้อนจากเดนเซตที่มีจำนวนมากจะต้องเพิ่มค่าความดันของไอน้ำให้สูงขึ้น



ภาพที่ 16 การเปรียบเทียบความร้อนแห้งของไอน้ำที่ถูกตั้งตัวที่ความดันบรรยายกาศและที่ 7 บาร์ (100 ปอนด์ต่อตารางนิวตัน)

ที่มา: ศูนย์ทรัพยากรฟื้นฟูบ่มเพื่อการอนุรักษ์พลังงาน, 2533

มุ่งมองของการประ hely ไอน้ำ คือถ้าผลิตไอน้ำที่ความดันยิ่งต่ำ ก็จะได้ไอน้ำจำนวนน้อยลง สิ่งนี้เป็นความจริงอย่างไรก็ตาม เมื่อความดันไอน้ำต่ำ อุณหภูมิก็ต่ำเช่นกัน ดังนั้นอัตราของปริมาณ

ความร้อนที่จะถ่ายเทก็จะลดลงซึ่งก็เป็นเรื่องยากที่จะเพิ่มพื้นที่ผิวถ่ายเทความร้อนให้มากขึ้นในการให้ความร้อนกับพื้นที่ผิว

ตัวอย่าง ผลของการเพิ่มพื้นที่ผิวความร้อน

ระบบทำความร้อนแห่งหนึ่งทำงานที่ความดัน 5.50 บาร์ (80 ปอนด์ต่อตารางนิ้ว) สามารถที่จะปรับแรงดันเป็น 2.40 บาร์ (35 ปอนด์ต่อตารางนิ้ว) เพื่อที่จะให้ความร้อนกับงานได้เหมือนเดิมด้วยวิธีการง่ายๆ นี้จะต้องเพิ่มพื้นที่ผิวความร้อนอีกร้อยละ 25

ถ้าต้องการทำความร้อนให้ห้องหนึ่งที่มีท่อทำความร้อนอยู่ 4 ท่อ และเมื่อต้องเพิ่มพื้นที่ผิวความร้อนขึ้นร้อยละ 25 จำเป็นต้องเพิ่มท่อทำความร้อนอีกหนึ่งท่อการกระทำเช่นนี้จะทำให้มีผลประหดคได้ร้อยละ 4 แต่ถ้าต้องการลดความดันลงอีก 0.34 บาร์ (5 ปอนด์ต่อตารางนิ้ว) และเพิ่มพื้นที่ผิวถ่ายเทความร้อนอีกร้อยละ 75 ทำให้ประหดคได้เพิ่มขึ้นเป็นร้อยละ 7

ต้องคำนึงอยู่เสมอเมื่อทำการออกแบบระบบทำความร้อน ตัวอย่างเช่นการใส่ส่วนห่อทำความร้อนในลังน้ำร้อน และการติดตั้งท่อทำความร้อนสำหรับการให้ความร้อนแก่บริเวณที่ต้องการมีส่องจุดที่ต้องพิจารณาคือ

- เมื่อความดันที่ใช้งานของหม้อไอน้ำลดลง ปริมาตรจำเพาะของไอน้ำจะเพิ่มขึ้นอย่างรวดเร็ว เมื่อความดันลดต่ำกว่า 7 บาร์ (100 ปอนด์ต่อตารางนิ้ว) การเพิ่มปริมาตรจำเพาะของไอน้ำส่งผลให้มีหยดน้ำติดไปกับไอน้ำเพิ่มขึ้น เนื่องจากน้ำเป็นตัวนำความร้อนไม่ดี จะทำให้การถ่ายเทความร้อนลดลง

- เป็นไปไม่ได้ที่จะเพิ่มพื้นที่ผิวถ่ายเทความร้อนให้กับทุกๆ โรงงานและทุกๆ อุปกรณ์

การระบายน้ำหม้อไอน้ำทิ้ง (Blow down)

การระบายน้ำหม้อไอน้ำทิ้งเป็นสิ่งจำเป็นสำหรับการทำงานของหม้อไอน้ำเพื่อที่จะรักษาระดับค่าต่างๆ ของน้ำหม้อไอน้ำ เช่น องศาคันเนอร์ป้อนที่เข้าหม้อไอน้ำ มีสารละลายอยู่จำนวนหนึ่ง เมื่อน้ำระเหยกลาญเป็นไอน้ำจะทิ้งสารละลายนี้ไว้ในหม้อไอน้ำทำให้ความเข้มข้นของสารละลายเพิ่มขึ้นอาจจะเป็นที่อยู่ในสภาพสารละลายและสารแbewn ลอย

ดังนั้นจึงมีความจำเป็นที่ต้องควบคุมระดับความเข้มข้นของสารละลายในน้ำโดยมีกระบวนการที่เรียกว่า “การโบล์ดาวน์” (Blow down) ซึ่งก็คือการระบายน้ำจำนวนหนึ่งออกจากหม้อไอน้ำ ขณะเดียวกันจะต้องป้อนน้ำเข้ามาทดแทนน้ำส่วนที่ระบายทิ้งโดยอัตโนมัติ ทั้งนี้เพื่อเป็นการรักษาระดับของสารละลายทั้งหมดในน้ำ (TDS) หากไม่มีการระบายน้ำหม้อไอน้ำทิ้ง (Blow down) หม้อไอน้ำอาจจะเสียหายได้ เนื่องจากมีน้ำและสิ่งอื่นปะปนอยู่มากในอากาศดีไปกับไอน้ำทำให้ละอองน้ำจำนวนมากลอยติดไปกับไอน้ำที่เรียกว่า “เครื่องโอเวอร์” (Carry over) เข้าไปใน

ระบบท่อจนถึงกระบวนการผลิต ต้องติดตามอย่างสม่ำเสมอตลอดจนการให้คำแนะนำเกี่ยวกับสภาพของน้ำในหม้อไอน้ำทุกเครื่อง โดยเฉพาะหม้อไอน้ำรุ่นใหม่ๆ ที่ประกอบสำเร็จจากโรงงานซึ่งอาจจะเสียหายได้มากกว่าหม้อไอน้ำแบบเก่าๆ เนื่องจากหม้อไอน้ำแบบนี้จุน้ำได้น้อย และมีที่ว่างของไอน้ำอยู่จำนวนจำกัดเมื่อเปรียบเทียบกับปริมาณการผลิต ลิ่งสำคัญที่ต้องระลึกเสมอว่าหากมีการระบายน้ำทิ้ง (Blow down) ไม่ถูกต้องจะสูญเสียความร้อนได้มากเป็นอันดับสองรองมาจาก การสูญเสียความร้อนของก๊าซไออกซีเจน

มีข้อควรพิจารณาอยู่ 2 ประการ คือ

1. ข้อแรกเป็นสิ่งที่สำคัญที่สุดคือ ปริมาณน้ำในหม้อไอน้ำที่ระบายทิ้ง (Blow down) ต้องไม่นำกินความจำเป็นขั้นต่ำ ถ้าหากเกินไปจะมีผลให้สิ่นเปลืองพลังงานการควบคุมระดับในการระบายน้ำหม้อไอน้ำทิ้งที่เหมาะสมจะเป็นสิ่งสำคัญยิ่ง ไอน้ำทิ้ง (Blow down) ควรนำกลับมาใช้และต้องตรวจสอบว่าวิธีการนี้ว่ามีความเหมาะสมสมต่อการลงทุนหรือไม่ เกี่ยวกับการนำความร้อนกลับมาใช้ใหม่ได้ร้อยละ 50 โดยประมาณจากความร้อนของน้ำหม้อไอน้ำที่ปล่อยออกไป

2. ความร้อนสูญเสียจากการระบายน้ำหม้อไอน้ำทิ้ง (Blow down) ควรนำกลับมาใช้และต้องตรวจสอบว่าวิธีการนี้ว่ามีความเหมาะสมสมต่อการลงทุนหรือไม่ ซึ่งเรื่องเกี่ยวกับการนำความร้อนกลับมาใช้ใหม่ได้ร้อยละ 50 โดยประมาณจากความร้อนของน้ำหม้อไอน้ำที่ปล่อยออกไป

วิธีการระบายน้ำหม้อไอน้ำทิ้ง (Blow down)

มีวิธีการระบายน้ำทิ้งสองวิธีดังต่อไปนี้

การระบายน้ำหม้อไอน้ำทิ้ง (Blow down) เป็นครั้งคราวโดยการระบายน้ำออกจากด้านล่างหม้อไอน้ำ เพื่อรับน้ำคราบโคลนที่ก่อตัวออกไปการดำเนินการโดยวิธีนี้ ผู้ควบคุมจะต้องกระทำทุกๆช่วงเวลาโดยการเปิดวาล์วหลายๆ ครั้ง ครั้งละสักๆ ปริมาณของน้ำที่จะระบายน้ำหม้อไอน้ำทิ้ง (Blow down) อาจจะประมาณจากระดับของน้ำในหลอดแก้ววัดระดับน้ำที่ลอดลง วิธีการนี้เป็นวิธีการเดิมที่ใช้กับหม้อไอน้ำแบบถัง (Shell boilers)

การระบายน้ำหม้อไอน้ำทิ้ง (Blow down) อย่างต่อเนื่องโดยระบบนำ้มือไอน้ำ ทิ้งที่จุดไกล์กับระดับน้ำปกติ วิธีการระบายนำ้มือไอน้ำทิ้ง (Blow down) เป็นขั้นๆ อย่างต่อเนื่องนี้ (Step continuous) ว่าล่ำระบบนำ้มือไอน้ำทิ้ง (Blow down) จะเปิดหรือปิด เมื่อได้รับสัญญาณจากเวลาที่ตั้งไว้ หรือสัญญาณที่ได้จากการวัดคุณสมบัติของน้ำในหม้อไอน้ำ ตัวอย่างเช่น วัดค่าสภาพการนำไฟฟ้าของน้ำ

การปฏิบัติในปัจจุบันจะมีทั้งการระบายนำ้มือไอน้ำทิ้ง (Blow down) แบบครั้งคราว และการระบายนำ้มือไอน้ำทิ้ง (Blow down) อย่างต่อเนื่อง วิธีการแรกเป็นการระบายน้ำของแข็ง แขวนลอยซึ่งตกลงก่อนลงมา และวิธีหลังเพื่อควบคุมระดับสารละลายทั้งหมดในน้ำ (TDS) สิ่งสำคัญในการระบายนำ้มือไอน้ำทิ้ง (Blow down) เป็นครั้งคราวควรทำในช่วงที่หม้อไอน้ำมีภาระน้อย ซึ่งเป็นสิ่งที่ละเอียดไม่ได้ มีภาระน้ำจะทำให้น้ำมีสภาพที่ไม่ดีส่งผลให้เกิดเมือกรวนตัวมากขึ้นจนท่วมห้องเผาไหม้ ทำให้การถ่ายเทความร้อนได้น้อยลงและห้องเผาไหม้เสียหายได้

การใช้ไอน้ำ

ปกติหม้อไอน้ำจะทำงานที่ประสิทธิภาพประมาณร้อยละ 75 - 84 ของประสิทธิภาพการใช้ไอน้ำควรได้รับการพิจารณาเพิ่มให้สูงขึ้นตามไปด้วยรวมถึง ปริมาณไอน้ำที่รู้ว่าท่อไม่ได้หุ้มนวนกันความร้อน การไม่ได้นำค้อนเดนแสดงกลับมาใช้และการปล่อยไอน้ำแฟลชทิ้งไป โดยมิได้ใช้งานทำให้ประสิทธิภาพโดยรวมลดลง

ไอน้ำแฟลช (Flash Steam) มีผลต่อการลดประสิทธิภาพโดยรวมจากเชื้อเพลิงที่ป้อนมีค่าต่ำกว่าร้อยละ 50 มากก็มีโอกาสเป็นไปได้ การลดค่าใช้จ่ายให้ได้ผลสามารถทำได้ดังนี้

ลดความร้อนสูญเสียจากห้องของระบบส่งจ่ายไอน้ำ และพื้นที่ผิวปิดที่ไม่หุ้มนวนต่างโดยการจ่ายไอน้ำ ใช้กับการทำความร้อนให้อาหารหรือการผลิตต้องรักษาและควบคุมเงื่อนไขให้ได้ตามที่ได้ออกแบบไว้ เนื่องจากไฟฟ้ามีมาตรฐานห่วง่ายที่ใช้ และเรียกเก็บจากผู้ใช้ไฟฟ้าโดยคิดเป็นค่าใช้จ่ายรวมของห้องงานทำให้ไม่ทราบรายละเอียดค่าใช้ไฟฟ้าของแต่ละแผนก หรือแต่ละกระบวนการผลิตมีน้อยแห่งที่สามารถค่าใช้จ่ายไฟฟ้าในรายแผนกได้ อย่างไรก็ตามสามารถทราบค่าใช้จ่ายไอน้ำได้ก็จะทำให้สามารถคิดค่าใช้จ่าย ในส่วนสำคัญของแต่ละผลผลิตได้บ่อยครั้งจะคิดรวมเป็นค่าใช้จ่ายในการบริหารงานซึ่งเป็นสิ่งที่หลีกเลี่ยงไม่ได้ สำหรับบางกรณีค่าใช้จ่ายรวมของการให้บริการไม่เกินร้อยละ 5 ของค่าใช้จ่ายการผลิตรวม และบ่อยครั้งจะพิจารณาว่าเป็นค่าใช้จ่ายที่เล็กน้อย อย่างไรก็ตามเชื้อเพลิงและเงินที่เกี่ยวข้องเป็นจำนวนมากผลที่ได้จากการปรับปรุงประสิทธิภาพการใช้การบริหารพลังงานในโรงงานมีความสัมพันธ์ต่อค่าใช้จ่ายของการผลิต ดังนั้นสามารถกำหนดได้เมื่อทราบค่าใช้จ่ายแต่ละรายการ เพื่อใช้เป็นข้อมูลในการจัด

การใช้จ่ายทั้งหมดหรือค่าใช้จ่ายรวมยอดในการผลิตไอน้ำเป็นพื้นฐานในการคิดต้นทุนของผลผลิตแต่ละชนิด แต่ละชิ้น โดยจะต้องรวมค่าใช้จ่ายต่างๆทั้งทางตรงและทางอ้อมในการผลิตและจ่ายไอน้ำด้วย

การวิเคราะห์ค่าใช้จ่ายของการผลิตไอน้ำต้องคำนึงถึงกระบวนการผลิตที่แตกต่างกันจะใช้เครื่องมือ เพื่อทำการตรวจสอบว่าจะลดค่าใช้จ่ายได้อย่างไร แม้ว่าวัดการใช้ไอน้ำอย่างต่อเนื่องจะเป็นสิ่งที่ได้ประโยชน์มาก แต่การวัดทุกๆกระบวนการผลิตอาจจะไม่เหมาะสมเนื่องจากมีค่าใช้จ่ายสูง การวัดคงเด่นเดตที่เกิดขึ้นจากแต่ละกระบวนการผลิตและกำหนดเป็น “มาตรฐาน” และนำไปเป็นข้อมูลในการประเมินค่าใช้จ่าย และพิจารณาลดค่าใช้จ่ายในการผลิตของแต่ละกระบวนการผลิตหรือของแต่ละอาคารสำหรับหลักการ

การวัดการใช้ไอน้ำมีสองขั้นตอน ในขั้นแรกวัดไอน้ำที่ออกมาจากห้องหม้อไอน้ำ ค่าใช้จ่ายทั้งหมดต่อจำนวนไอน้ำที่ผลิตได้เท่ากับค่าใช้จ่ายไอน้ำต่อตัน ขั้นที่สองไอน้ำจะถูกวัด เมื่อไหลเข้าแต่ละแผนกหรืออุปกรณ์ที่ใช้ไอน้ำมากๆวิธีการนี้จะมีส่วนต่างของผลกระทบจากการผลิตจ่ายไอน้ำ ต้องตรวจสอบการสูญเสียเหล่านี้เป็นสิ่งที่มีประโยชน์ การเพิ่มขึ้นอย่างกะทันหันของการใช้ไอน้ำอาจจะแสดงว่ามีความเสียหายของขนาดความร้อนไอน้ำร่วงกับดักไอน้ำ (Steam trap) ทำงานไม่ปกติเกิดขึ้นได้ อย่างไรก็ตามสำหรับงานการวัดไอน้ำในทางปฏิบัติอาจจะไม่เหมาะสมและวิธีนอกเหนือจากการวัดการใช้ไอน้ำโดยตรง คือ การพิจารณาว่าไอน้ำ 1 กิโลกรัม เมื่อกลับคืนกลาญเป็นคงเด่นเดตที่ได้เป็นน้ำ 1 กิโลกรัม เช่นกัน ดังนั้น โรงงานสามารถที่จะวัดปริมาณคงเด่นเดตจากโรงงานหรือจากแผนกหนึ่งหรือจากครึ่งหนึ่งแทนที่จะวัดไอน้ำที่จ่ายให้ ซึ่งวิธีการนี้เป็นวิธี “มาตรฐาน” ของการวัดปริมาณใช้ไอน้ำสำหรับแต่ละโรงงานหรือแต่ละอุปกรณ์ที่สามารถกระทำได้ไม่เพียงแต่เป็นประโยชน์ในการคิดค่าใช้จ่ายแต่สามารถทำการตรวจสอบผลการประหยัดที่ทำได้หลังมีการปรับปรุงแก้ไข

ถ้าการประหยัดทำได้ โดยการเพิ่มประสิทธิภาพการใช้ไอน้ำให้มากขึ้นจะมีผลต่อการลดค่าเชื้อเพลิง การลดการใช้ไอน้ำจาก 2,000 หน่วยต่อชั่วโมง (ไม่ว่าหน่วยจะเป็นกิโลกรัมหรือปอนด์) การคิดค่าใช้จ่ายไม่ใช่คิดแต่ผลกระทบของค่าใช้จ่ายไอน้ำทั้งหมด เพราะยังมีค่าเสื่อมราคาของโรงหม้อไอน้ำ ค่าประกันภัย

การรับของไอน้ำ

เป็นที่ชัดเจนแล้วว่าแหล่งของการสูญเสียความร้อนของโรงงานที่ใช้ไอน้ำคือการสูญเสียที่เกี่ยวกับไอน้ำร้อนจากวาล์ว การชำรุดหน้าแปลนท่อและข้อต่อหัวต่างๆ การร้อนนี้สามารถตรวจได้จ่ายและเมื่อพบการร้อนแล้วต้องรีบดำเนินการซ่อมแซมแก้ไข เนื่องจากการสูญเสียจากการร้อนเพียงเล็กน้อยก็มีผลมากต่อการประหยัดค่าใช้จ่ายอย่างมาก

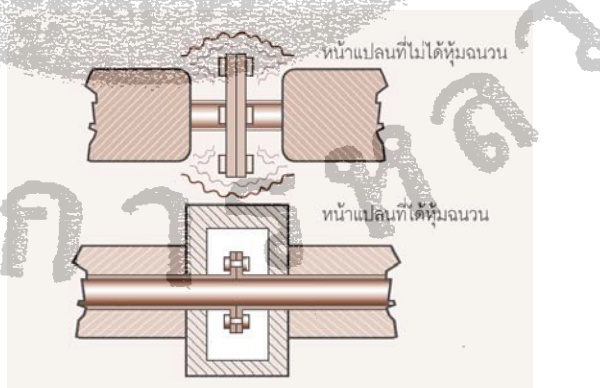
พื้นผิวที่ไม่ได้หุ้มดวน

ความร้อนสูญเสียได้เนื่องจากการแพร่รังสีจากท่อไอน้ำ ทุกๆ ตารางเมตรของพื้นที่ผิวท่อไอน้ำร้อนที่ไม่ได้หุ้มดวน (ทึ้งท่อไอน้ำและอุปกรณ์ใช้ไอน้ำ) ที่ความดัน 7 บาร์ (100 ปอนด์ต่อตารางนิ้ว) มีความร้อนสูญเสีย 9,300 กิโลจูล (8,850 บีที่ยู) ในหนึ่งชั่วโมง ซึ่งหมายถึง 5 กิโลกรัมต่อชั่วโมงหรือ 1 ปอนด์ของไอน้ำจากทุกตารางฟุต ของพื้นที่ผิวที่ไม่ได้หุ้มดวน เป็นลักษณะความสูญเสียของระบบไอน้ำที่เกิดขึ้นจากความร้อนสูญเสียจากพื้นผิวของท่อและเครื่องจักรที่ไม่ได้หุ้มเป็นดวน ซึ่งความร้อนที่สูญเสียทำให้ภาวะแวดล้อมของการทำงานร้อนขึ้น ดังนั้นผู้ปฏิบัติงานกับเครื่องจักรจึงเปิดประตูให้อากาศเย็นเข้าทำงาน เมื่ออากาศเย็นเข้ามาผ่านผิวท่อที่ไม่ได้หุ้มดวน ก็ยิ่งทำให้การสูญเสียเพิ่มขึ้น

ตัวอย่างของการสูญเสียผ่านพื้นที่ผิวที่ไม่ได้หุ้มดวน และหน้าแปลนมีท่อยาว 3 เมตร (10 ฟุต) ขนาดเส้นผ่านศูนย์กลาง 150 มิลลิเมตรที่ไม่ได้หุ้มดวน ส่งผ่านไอน้ำที่ความดัน 7 บาร์ ซึ่งทำให้มีการสูญเสียต่ำที่สุด 5 ตัน หรือใช้น้ำมัน 3,000 ลิตรต่อปี

ถ้ามีหน้าแปลนที่ไม่ได้หุ้มดวน 5 คู่อยู่บนท่อขนาด 150 มิลลิเมตร มีความร้อนสูญเสียเท่ากับการใช้ถ่านหิน 5 ตัน หรือใช้น้ำมัน 3,000 ลิตรต่อปี

วิธีการแก้ไขทำได้ง่ายโดยการหุ้มดวนพื้นที่ผิวเปิดของอุปกรณ์และหน้าแปลนประกอบต่อที่ใช้ไอน้ำ เพื่อลดความร้อนที่จะสูญเสียและการเปิดหน้าต่างรูปที่ 17 แสดงการหุ้มดวนประเภทเป็นกล่องสำหรับหน้าแปลน



ภาพที่ 17 ความร้อนสูญเสียผ่านหน้าแปลนที่ไม่ได้หุ้มดวน

ที่มา: สุนย์ทรัพยากรฟิกอบรมเพื่อการอนุรักษ์พลังงาน, 2533

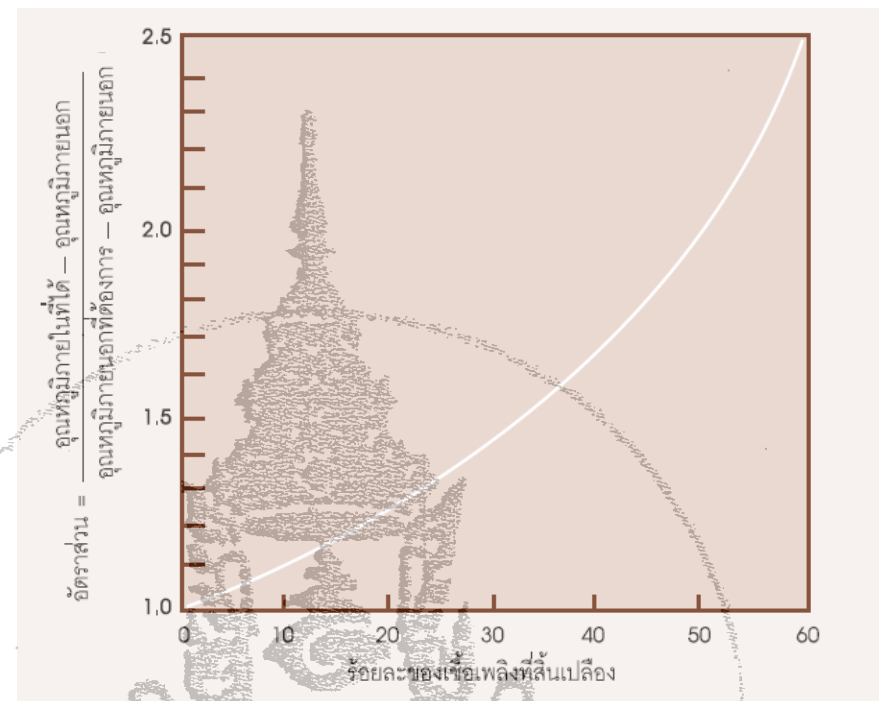
การลดความต้องการของการใช้ไอ้น้ำให้น้อยที่สุดการจ่ายไอ้น้ำผ่านท่อส่งจ่ายจะมีประสิทธิภาพมากหรือน้อยขึ้นอยู่กับการสูญเสียในท่อจ่ายงานถึงจุดใช้งาน ดังนั้นการใช้ไอ้น้ำควรจะใช้ให้น้อยที่สุด ผู้ใช้ไอ้น้ำควรจะประเมินอย่างถูกต้อง เพื่อกำหนดค่าความต้องการให้น้อยที่สุดโดยการสำรวจอย่างต่อเนื่อง เพื่อกำหนดให้ชัดเจนถึงการเปลี่ยนแปลงความต้องการใช้ไอ้น้ำ หรือประมาณการใช้ไอ้น้ำที่แท้จริง ตัวอย่างของการสูญเสียเชื้อเพลิงจากการใช้ความร้อนที่สูงเกินไป เช่น อุณหภูมิห้อง 19 องศาเซลเซียส ซึ่งอุณหภูมิห้องที่ต้องการคือ 17 องศาเซลเซียส โดยอุณหภูมิภายในออกเท้ากัน 7 องศาเซลเซียส

อัตราส่วนจากภาพที่ 18 การสิ้นเปลืองเชื้อเพลิงเป็นร้อยละ 16-17 จากตัวอย่างดังกล่าวถึงแม้จะเป็นกรณีของต่างประเทศที่หน่วยแต่ก็แสดงให้เห็นว่าถึงแม้ว่าอุณหภูมิพื้นที่ 2 องศาเซลเซียส มีผลทำให้สิ้นเปลืองเชื้อเพลิงถึงร้อยละ 17 การสูญเสียความร้อนของระบบการให้ความร้อน

การควบคุมอุณหภูมิภายในส่วนที่ต้องการความร้อนอาจจะใช้การควบคุมด้วยคนหรือใช้ระบบควบคุมอัตโนมัติเพื่อลดอุณหภูมิที่สูงเกินความต้องการซึ่งมีผลทำให้ปริมาณการใช้ไอ้น้ำลดลงได้อีกด้วย วิธีการลดหรือคงการทำความร้อนที่ไม่จำเป็น เช่น หนอน้ำสำรองใช้งานที่ไม่มีความจำเป็นต้องให้ไอ้น้ำจากหนอน้ำที่ใช้งานอยู่เข้าไปให้ความร้อน หรืออุปกรณ์ต่าง ๆ ที่ไม่มีการใช้งานตามปกติ

ภาพที่ 18 แสดงตัวอย่างการสูญเสียของเชื้อเพลิงเนื่องจากอุณหภูมิที่สูงเกินไปของระบบทำความร้อน ซึ่งตัวอย่างแสดงถึงการสูญเสียความร้อนภายในให้เงื่อนไขที่แตกต่างกัน

๑๙๒๕๖๓



ภาพที่ 18 เชื้อเพลิงสูญเสียเนื่องจากการใช้อุณหภูมิสูงเกินไป
ที่มา: ศูนย์ทรัพยากรฟื้นฟูบกพร่องเพื่อการอนุรักษ์พลังงาน, 2533

การสูญเสียความร้อนในกระบวนการผลิต

ในอุตสาหกรรมที่มีการใช้ไอน้ำจะมีความร้อนที่สูญเสียโดยไม่ได้ใช้ประโยชน์กับการทำงาน ตัวอย่างชุดทำความร้อนให้อาหารซึ่งจ่ายอาหารร้อนเพื่อการทำให้แห้งจะใช้ไอน้ำจำนวนเท่ากันไม่ว่าโรงงานมีภาระเต็มที่หรือมีภาระเพียงบางส่วน ดังนั้นหากโรงงานทำงานเพียงร้อยละ 50 เป็นเวลาเต็ม 8 ชั่วโมงในหนึ่งวัน จะมีการใช้เชื้อเพลิงมากกว่าที่ควรจะใช้สำหรับงานนั้นถึงสองเท่า จากการปรับปรุงกระบวนการทำงานเพื่อให้โรงงานได้ทำงานเต็มที่ตลอดเวลาการทำงานและหยุดโรงงานเมื่อวัสดุหมดลงทำให้สามารถประยุกต์ใช้พลังงานลงได้

การลดพลังงานความร้อนที่สูญเสียจากหม้อน้ำของโรงงานอุตสาหกรรมส่วนใหญ่ของประเทศไทย ในปัจจุบันพบว่า ระบบมีการป้องกันการสูญเสียความร้อนโดยการแผ่รังสีด้วยการหุ้มสนวน สำหรับความร้อนสูญเสียทางปล่องลม ควบคุมโดยการปรับปริมาณอากาศต่อเชื้อเพลิง แต่พบว่ายังมีความร้อนสูญเสียไปบ้างบางส่วนซึ่งรวมมีการศึกษาไว้ในลำดับต่อไป นอกจากนั้นยังมีการสูญเสียความร้อนทางน้ำที่ปล่อยทิ้งจากหม้อน้ำ (Blow down) ซึ่งพลังงานส่วนนี้สามารถนำกลับมาใช้ใหม่ได้ อันจะส่งผลให้ต้นทุนค่าน้ำพลังงานของโรงงานอุตสาหกรรมลดลง (อัมพร, 2527)

สมดุลพลังงานของหม้อไอน้ำในโรงงานอุตสาหกรรม เมื่อวิเคราะห์ข้อมูลพบว่าการนำระบบการลดพลังงานความร้อนสูญเสียมาใช้ สามารถทำให้การใช้งานหม้อไอน้ำมีประสิทธิภาพถึงร้อยละ 89 ซึ่งเพิ่มจากปกติที่มีประสิทธิภาพหม้อไอน้ำเพียงร้อยละ 70 สำหรับการปล่อยก๊าซไอกลีบ 89 ซึ่งเพิ่มจากปกติที่มีประสิทธิภาพหม้อไอน้ำเพียงร้อยละ 12 ซึ่งสามารถลดการสูญเสียพลังงานความร้อนโดยการควบคุมอุณหภูมิไม่ให้เกิน 160 130 และ 80 องศาเซลเซียส สำหรับน้ำมันเชื้อเพลิงหนัก เชื้อเพลิงเบา และก๊าซธรรมชาติ ตามลำดับ สำหรับการควบคุมปริมาณตะกรันและสารละลายในหม้อไอน้ำ โดยระบบ Automatic blow down ซึ่งทำงานโดยชุดอุปกรณ์ตรวจปริมาณสารละลายในหม้อไอน้ำ ถ้าหากมีค่าสูงเกินระดับที่กำหนด ไว้ ระบบจะทำการปล่อยน้ำทิ้งจากหม้อไอน้ำ (Blow down) ในปริมาณเท่าที่จำเป็น อย่างไรก็ตามพบว่ายังมีปริมาณความร้อนสูญเสียประมาณร้อยละ 5 ซึ่งความร้อนส่วนนี้สามารถนำไปผ่านอุปกรณ์แลกเปลี่ยนความร้อนเพื่อนำความร้อนกลับมาใช้ใหม่ สำหรับการสูญเสียความร้อนโดยการแผ่รังสีซึ่งมีปริมาณน้อยมากเพียงร้อยละ 1 แต่พบว่าการสูญเสียความร้อนจากการควบแน่นไอน้ำสูงถึงร้อยละ 12 ซึ่งสามารถลดการสูญเสียได้โดยใช้งานหม้อไอน้ำที่ระดับความดัน 3 - 8 บาร์ และนำน้ำค้อนเดนເສຖກລັນນາใช้ป้อนหม้อไอน้ำ (Anonymous, 1983)

จากการศึกษาพบว่าเมื่อทำการปล่อยน้ำทิ้งจากหม้อไอน้ำ (Blow down) น้ำจากหม้อไอน้ำภายในความดันออกสู่ถังแฟลช (Flash tank) ที่มีความดันต่ำกว่าอุณหภูมิของน้ำไปปล่อยทิ้งจากหม้อไอน้ำ (Blow down) จะลดลงอย่างรวดเร็วสู่อุณหภูมน้ำ ณ จุดความดันที่ต่ำกว่า ความร้อนส่วนเกินที่นำปล่อยทิ้งจากหม้อไอน้ำ (Blow down) ใช้ไปในรูปอินชาลปีของกรากลายเป็นไอน้ำทำให้บางส่วนของน้ำทิ้งจากหม้อไอน้ำ (Blow down) กรากลายเป็นไอน้ำแฟลช (Flash steam) โดยน้ำที่เหลือเป็นน้ำร้อน การปล่อยน้ำทิ้งจากหม้อน้ำเพื่อควบคุมคุณภาพน้ำภายในหม้อไอน้ำให้อยู่ในเกณฑ์ที่เหมาะสม จะทำให้เกิดตะกรันที่ผิวน้ำไอน้ำในบางส่วนสัมผัสน้ำซึ่งอาจมีความหนาของตะกรัน 1 มิลลิเมตร จะทำให้สิ้นเปลืองพลังงานมากกว่าปกติร้อยละ 5 - 8 (กรมพัฒนาและส่งเสริมพลังงาน, 2543)

ในปี 1984 Ratliff ได้ค้นคว้าวิจัยการลดพลังงานความร้อนสูญเสียจากการปล่อยน้ำทิ้งจากหม้อไอน้ำ (Blow down) โดยการนำน้ำทิ้งจากหม้อไอน้ำ (Blow down) มาผ่านอุปกรณ์แลกเปลี่ยนความร้อนเพื่อเพิ่มอุณหภูมน้ำสำหรับป้อนหม้อไอน้ำ และทำการติดตั้งมาตรฐานการไอล เพื่อคำนวณหาปริมาณความร้อนถ่ายเท ต่อมา Tung (2002) ได้ศึกษาเกี่ยวกับการนำความร้อนสูญเสียในส่วนที่เป็นไอกลีบมาใช้ในการร้อนน้ำปล่อยทิ้งจากหม้อไอน้ำ (Blow down) กลับมาใช้ให้ความร้อนกับไอลอื่นๆ โดยผ่านอุปกรณ์แลกเปลี่ยนความร้อนแบบเซลล์และห่อ

การวิเคราะห์ทางเศรษฐศาสตร์

ทฤษฎี (2550) ในทางวิศวกรรมค่าทางเศรษฐศาสตร์มีความสำคัญมากในการออกแบบ และสร้างเพื่อใช้ในการพิจารณาตัดสินใจในการลงทุนในโครงการนี้จะใช้วิธีประเมินรายจ่ายแบบรายปี (Annual cost method) ค่าใช้จ่ายรายปีที่นำมาพิจารณาประกอบด้วยค่าใช้จ่ายในการลงทุน (Initial cost) การดูแลรักษา (Operating and maintenance cost) และนำค่าใช้จ่ายรวมรายปีมาเปรียบเทียบการลงทุนระหว่าง การผลิตน้ำร้อนเพื่อป้อน Boiler เพื่อลดต้นทุนการใช้เชื้อเพลิงใน Boiler ด้วยเครื่องทำร้อนพลังงานแสงอาทิตย์จาก บริษัท TSUS International co, ltd.

สูตรการคำนวณคือ

$$\text{ราคาต้นทุนต่อปี} = \left[\frac{i(i+1)^n}{(i+1)^n - 1} \right] \times P \quad \dots\dots(3)$$

| | | | |
|--------|---|---|--------------------------------|
| โดยที่ | P | = | เงินลงทุนหรือเงินต้น |
| | i | = | อัตราดอกเบี้ยตลอดอายุการใช้งาน |
| | n | = | จำนวนอายุการใช้งาน |

ค่าใช้จ่ายของการใช้เครื่องทำน้ำร้อนพลังงานแสงอาทิตย์เพื่อลดการใช้เชื้อเพลิงใน Boiler แม้จะเป็นการลงทุนที่สูงในครั้งแรก แต่ค่าใช้จ่ายในการทำงานต่อเนื่องจากการลงทุนที่ได้รับจากแสงอาทิตย์ไม่ต้องซื้อหา ดังนั้นควรจะวิเคราะห์ทางค้านเศรษฐศาสตร์ว่า ผลที่ได้จากการลงทุนไปนั้นคุ้มค่าหรือไม่ มีจุดคุ้มทุนในระยะเวลาเท่าใด โดยคิดระยะเวลาคุ้มทุน (Payback period) หาผลตอบแทนในรูปของพลังงานที่ได้ประหยัดจากการใช้พลังงานแสงอาทิตย์มาแทน จนมีค่าเท่ากับเงินที่ลงทุนไป

สูตรการคำนวณคือ

$$Y = C/F \quad \dots\dots(4)$$

| | | | |
|--------|---|---|------------------------------|
| โดยที่ | Y | = | จำนวนปีที่คุ้มทุน |
| | C | = | เงินลงทุนเบื้องต้น |
| | F | = | ค่าพลังงานที่ประหยัดได้ต่อปี |

อุปกรณ์และวิธีการวิจัย

สถานที่ทดลอง

โรงงานแปรรูปและพัฒนาผลิตภัณฑ์ มูลนิธิโครงการหลวง

อุปกรณ์

- เครื่องวัดค่ารังสีแสงอาทิตย์ (Solar integrator) โดยวัดรังสีแสงอาทิตย์รวมต่อหน่วยเป็นวัตต์ต่อตารางเมตร

- เครื่องกำเนิดไอน้ำ (Boiler) ขนาด 0.75 ตัน
- ปั๊มน้ำป้อนเครื่องทำน้ำร้อน ขนาดแรงดัน 2 บาร์
- เทอร์โมคัปปิล ชนิด K มีช่วงการวัดอุณหภูมิตั้งแต่ -270 ถึง 1,372 องศาเซลเซียส
- มาตรวัดปริมาณการไหลของน้ำ โดยหน่วยวัดปริมาตรน้ำหน่วยเป็น ลูกบาศก์เมตร
- มาตรวัดปริมาณการไหลของน้ำมันโดยหน่วยวัดปริมาตรน้ำมันหน่วยเป็นลูกบาศก์เมตร
- เครื่องวัดอุณหภูมิและเก็บข้อมูลอุณหภูมน้ำป้อนเข้าสู่เครื่องกำเนิดไอน้ำ Data logger
- เครื่องทำน้ำร้อนพลังงานแสงอาทิตย์ ของบริษัท TSUS International, co.ltd ขนาด 1,000

วิธีทดลอง

ตอนที่ 1 ศึกษาจำนวนแผงรับพลังงานแสงอาทิตย์ (Solar collector) ที่เหมาะสมกับกำลังการผลิตไอน้ำของเครื่องกำเนิดไอน้ำ (Boiler) ของโรงงาน

1.1 เก็บข้อมูลการใช้ Boiler อุ่นต่อเนื่องเป็นเวลา 8 สัปดาห์ โดยเก็บบันทึกข้อมูล ดังนี้

- เวลาในการใช้ Boiler
- ปริมาณการใช้น้ำ เพื่อป้อนเข้าสู่ Boiler รวมถึงอัตราการป้อนน้ำเข้าเครื่อง
- น้ำมันดีเซล ในช่วงของการ Heat up และปริมาณที่ใช้รวมทั้งวัน
- อุณหภูมน้ำในถังเก็บน้ำ และความชื้นในอากาศ ก่อนป้อนเข้าเครื่อง

1.2 นำข้อมูลมาคำนวณทางวิศวกรรม หาพื้นที่ผิวของแผงรับรังสีแสงอาทิตย์ เพื่อให้ทราบจำนวนแผงรับรังสีที่ต้องใช้

ตอนที่ 2 ดำเนินการติดตั้งระบบรับพลังงานแสงอาทิตย์

- 2.1 พิจารณาแนวการติดตั้งแพลงรังสี และเส้นทางการเดินท่อน้ำร้อน ที่จะทำให้เกิดประสิทธิภาพสูงสุด
- 2.2 ดำเนินการติดตั้งระบบรับพลังงานแสงอาทิตย์

ตอนที่ 3 วิเคราะห์ความคุ้มค่าของระบบพลังงานแสงอาทิตย์

- 3.1 เก็บข้อมูลการใช้เชื้อเพลิง Boiler
- 3.2 นำข้อมูลที่ได้มามาวิเคราะห์เชิงเศรษฐศาสตร์ เพื่อหาความคุ้มค่าของการติดตั้งระบบ

การวิเคราะห์

ผลการวิจัย

ตอนที่ 1 : ศึกษาจำนวนแพรงรับพลังงานแสงอาทิตย์ (Solar collector) ที่เหมาะสมกับกำลังการผลิตไอน้ำของเครื่องกำเนิดไอน้ำของโรงงานแปรรูปและพัฒนาผลิตภัณฑ์ มูลนิธิโครงการหลวง

1.1 เก็บข้อมูลการใช้เชื้อเพลิง Boiler อุ่นต่อเนื่องเป็นเวลา 8 สัปดาห์

การเก็บข้อมูลการใช้เชื้อเพลิง Boiler นั้นต้องบันทึก ปริมาณการใช้น้ำป้อนเข้าสู่เครื่องกำเนิดไอน้ำรวม ปริมาณการใช้น้ำมันดีเซล ในช่วงของการ Heat up ปริมาณที่ใช้กับเครื่องจกรในการผลิตรวมทั้งวัน เพื่อใช้ในการหาดัชนีหรืออัตราส่วนในการผลิตไอน้ำ ระหว่างปริมาณน้ำป้อนเข้าเครื่องกำเนิดไอน้ำต่อปริมาณการใช้น้ำมัน อุณหภูมน้ำป้อนเข้าสู่เครื่องกำเนิดไอน้ำ เพื่อจะนำมาออกแบบระบบการเพิ่มอุณหภูมน้ำป้อนเข้าเครื่องกำเนิดไอน้ำโดยพลังงานแสงอาทิตย์

ตารางที่ 3 ผลการเก็บข้อมูลปริมาณการใช้น้ำ เชื้อเพลิง เพื่อหาขนาดของแพรงรับพลังงานแสงอาทิตย์

| ข้อมูล | ตุลาคม | พฤษภาคม |
|---|-----------------|---------|
| ปริมาณการใช้น้ำ (ลิตร) | 16,315 | 15,043 |
| ปริมาณการใช้น้ำมัน (ลิตร) | 1,701 | 1,784 |
| ดัชนีการผลิตไอน้ำ (กิโลกรัมต่อลิตร)* | 9.59 | 8.43 |
| เวลาในการใช้ boiler (ชั่วโมง) | 181.50 | 210.50 |
| เวลาในการ Heat up เนลี่ย (นาทีต่อครั้ง) | 42 | 44 |
| อุณหภูมน้ำป้อนเฉลี่ย (องศาเซลเซียส) | 25.40 | 24.28 |
| หมายเหตุ | เริ่มเก็บข้อมูล | |

$$\text{หมายเหตุ * ดัชนีการผลิตไอน้ำเฉลี่ย} = \frac{\text{ปริมาณการใช้น้ำ}}{\text{ปริมาณการใช้น้ำมัน}} \dots\dots\dots(5)$$

$$\text{ดัชนีการผลิตไอน้ำเฉลี่ย เดือนตุลาคม} = \frac{16,315}{1,701} = 9.59 \text{ กิโลกรัมไอน้ำต่อลิตรน้ำมัน}$$

$$\text{ดัชนีการผลิตไอน้ำเฉลี่ย เดือนพฤษภาคม} = \frac{15,043}{1,784} = 8.43 \text{ กิโลกรัมไอน้ำต่อลิตรน้ำมัน}$$

จากตารางที่ 3 แสดงให้เห็นว่าดัชนีการผลิตไอน้ำ กือ ปริมาณน้ำที่จะเปลี่ยนสถานะเป็นไอน้ำต่อปริมาณน้ำมันที่ใช้ในการผลิตของเดือนพฤษภาคมลดน้อยลง จากเดือนตุลาคม เนื่องจากเข้าสู่ช่วงฤดูหนาวทำให้น้ำป้อนเข้าสู่เครื่องผลิตไอน้ำมีอุณหภูมิต่ำลง ทำให้มีการใช้เชื้อเพลิงน้ำมันปริมาณเพิ่มขึ้น ในการเริ่มน้ำทำการผลิตไอน้ำแรงดัน 4 บาร์ ซึ่งสังเกตได้จากเวลาที่เพิ่มขึ้นในการ Heat up เนื่องจากความต้องการร้อนในแต่ละเดือน

เมื่อพิจารณาข้อมูลการใช้ปริมาณน้ำในการผลิตไอน้ำแต่ละวัน ในเดือนตุลาคมและพฤษภาคม พบว่ามีปริมาณการใช้น้ำในแต่ละวันสูงสุดไม่เกิน 1,000 ลิตร (ภาคผนวก ข.) ซึ่งลักษณะการใช้น้ำในการผลิตไอน้ำในรอบวันพบว่า ปริมาณการใช้ไอน้ำสำหรับอุ่นต่ออุ่นช่วงเวลาที่มีแสงแดด 9.00 นาฬิกา ถึง 16.30 นาฬิกา การนำพลังงานความร้อนไอน้ำมาใช้กับเครื่องจักรที่ใช้ในการผลิต ส่วนมากอยู่ในช่วงหลัง 11.00 นาฬิกา ในการออกแบบระบบอุ่นน้ำก่อนเข้า Boiler ได้เลือกแบบที่มีดังสะสมความร้อนโดยที่พัดลมงานความร้อนที่ได้ในช่วงเข้าหรือช่วงเวลาที่มีการใช้ไอน้ำอย่างถูกสะสมในน้ำ (สุริยนต์, 2550)

1.2 นำข้อมูลมาคำนวณทางวิศวกรรม หาพื้นที่ผิวของแผงรับรังสีแสงอาทิตย์ เพื่อให้ทราบจำนวนแผงรับรังสีที่ต้องใช้

การคำนวณหาพื้นที่ผิวของแผงรับรังสีแสงอาทิตย์ เพื่อให้ทราบจำนวนแผงรับแสงอาทิตย์ที่ใช้ซึ่งแผงรับแสงอาทิตย์มีขนาด 2.10 ตารางเมตรต่อแผ่น สามารถผลิตน้ำร้อนได้ 180 ลิตรต่อแผ่น หากต้องการผลิตน้ำร้อน 1,000 ลิตร จะต้องใช้พื้นที่ของแผงรับแสงอาทิตย์รวม 12.60 ตารางเมตร ซึ่งจะต้องใช้จำนวนแผงทั้งหมด จำนวน 6 แผง (สุริยนต์, 2550) แสดงการคำนวณดังนี้

แผงรับแสงอาทิตย์ที่ผลิตน้ำร้อน 180 ลิตร ต้องใช้พื้นที่ในการรับแสง 2.10 ตารางเมตร ถ้าต้องการผลิตน้ำร้อน 1,000 ลิตร จะต้องใช้พื้นที่เท่ากับ

$$\frac{2.10 \times 1,000}{180} = 11.56 \text{ ตารางเมตร}$$

พื้นที่การรับแสงอาทิตย์ 2.10 ตารางเมตร เท่ากับจำนวนแผงรับแสงอาทิตย์จำนวน 1 แผง ถ้าพื้นที่การรับแสงอาทิตย์ 11.56 ตารางเมตร จะเท่ากับแผงรับแสงอาทิตย์จำนวน

$$\frac{1 \times 11.56}{2.10} = 5.50 \text{ แผง} \approx 6 \text{ แผง}$$

ดังนั้น แผงรับพลังงานแสงอาทิตย์ที่ต้องใช้กับระบบป้อนน้ำร้อนโดยพลังงานแสงอาทิตย์เข้าสู่เครื่องกำเนิดไอน้ำ เท่ากับ 6 แผงหรือเท่ากับ 12.60 ตารางเมตร

ตอนที่ 2 ดำเนินการติดตั้งระบบรับพลังงานแสงอาทิตย์

2.1 พิจารณาแนวทางการติดตั้งแผงรับรังสี และเส้นทางการเดินท่อน้ำร้อน ที่จะทำให้เกิดประสิทธิภาพสูงสุด

ปริมาณพลังงานที่โลกได้รับจากการแผ่รังสีของดวงอาทิตย์จะมากหรือน้อย นอกเหนือจากค่าคงที่ของพลังงานดวงอาทิตย์แล้วปริมาณพลังงานยังขึ้นอยู่กับสิ่งต่างๆ ดังนี้

1. ความโปร่งใสของบรรยากาศเมื่อมาจากบรรยากาศประกอบด้วย ฝุ่น เมม ไอน้ำ และก๊าซ ซึ่งมีส่วนในการกระจายการสะท้อนและการดูดซับรังสีจากดวงอาทิตย์ ในบริเวณเมฆหนาทึบ หรืออากาศซึ่งมีมลภาวะจะได้รับพลังงานแสงอาทิตย์โดยตรงน้อย

2. ความยาวนานของกลางวันมีค่าแตกต่างไปตามเส้นรุ้งและแต่ละฤดูกาลในวันที่มีระยะเวลากลางวันยาวนานจะได้รับรังสีจากดวงอาทิตย์มาก บริเวณสูนย์สูตรจะมีเวลากลางคืนเท่ากับกลางวัน

3. มุ่งมองแสงอาทิตย์ที่ส่องผลกระทบพื้นโลกในตอนเที่ยงวันดวงอาทิตย์จะอยู่ตรงศีรษะ พอดี ความเข้มของรังสีจากดวงอาทิตย์จะมีมากที่สุด แต่ในตอนเช้าและตอนเย็นรังสีจากดวงอาทิตย์ จะส่องเป็นมุ่งเอียง ดังนั้นความเข้มของรังสีจากดวงอาทิตย์จะน้อยและหลักการเดียวกันนี้จะนำไปใช้กับเส้นรุ้ง และฤดูกาลที่อยู่บริเวณที่เส้นรุ้งสูงๆ ในฤดูหนาวแม่เหลาเที่ยงมุมแสงอาทิตย์จะส่องเป็นมุ่งเอียง ส่วนถัดร้อนในบริเวณเส้นรุ้งต่ำแสงอาทิตย์จะส่องในแนวเกือบตั้งฉากจึงสรุปได้ว่าถ้าแสงอาทิตย์ส่องกระทบกับพื้นโลกเป็นมุ่งหากความเข้มของรังสีจะมาก บริเวณใดที่รับแสงอาทิตย์ในแนวเอียง แสงอาทิตย์จะแผ่รังสีปกคลุมเป็นบริเวณกว้างกว่าทำให้ความเข้มรังสีลดน้อยลง และในการจัดพื้นที่ผู้คนรวมไว้รับแสงอาทิตย์เป็นมุ่งหากนั้น ให้ปรับมุมเอียงประมาณ เท่ากับเส้นรุ้ง ณ ที่ซึ่งติดตั้ง โดยจัดพื้นที่รับแสงหันในแนว เหนือ - ใต้ กือ ในแนวซึ่กโลกเหนือหันไปทางทิศใต้ และซึ่กโลกใต้หันไปทางทิศเหนือ

สำหรับเชียงใหม่การติดตั้งแผงรับรังสีแสงอาทิตย์นั้นหันไปทางทิศใต้และต้องเอียงประมาณ 18 องศา กับแนวระดับเป็นมุ่งที่รับรังสีแสงอาทิตย์ได้มีประสิทธิภาพสูงสุดและมีช่วงเวลาในการรับรังสีแสงอาทิตย์ยาวที่สุด จังหวัดเชียงใหม่ตั้งอยู่ทางขึ้นโลกซึ่กเหนือที่เส้นรุ้งที่ 18 องศา 47 พิกัด ลักษณะเส้นทางที่ 98 องศา 59 พิกัด จะได้ค่าอัตราส่วนของรังสีแสงอาทิตย์ตรงบนพื้นเอียงต่อรังสีแสงอาทิตย์ตรงบนพื้นราบมากที่สุด (การไฟฟ้าฝ่ายผลิตแห่งประเทศไทย, 2547)

จากการศึกษาตัวรับรังสีอาทิตย์แบบลูกฟูกที่มีช่องอากาศไอลบันและชนิดมีช่องอากาศไอลล่างของตัวคูณชั้บรังสีอาทิตย์ ทำมุม 18 องศา กับแนวระดับ และศึกษาตัวรับรังสีอาทิตย์แบบลูกฟูกชนิดมีช่องอากาศไอลล่างซึ่งติดแผ่นสะท้อนรังสีอาทิตย์ ทำมุมกับตัวรับรังสีอาทิตย์ โดยทำการปรับมุมต่างๆ ดังนี้ คือ 15 30 45 60 75 และ 90 องศา ตามลำดับ สามารถสรุปได้ว่า การทดสอบประสิทธิภาพตัวรับรังสีอาทิตย์แบบลูกฟูกที่มีช่องอากาศไอลบันและแบบช่องอากาศไอลล่าง พบว่า มีค่าเท่ากับร้อยละ 31.41 และ 43.68 ตามลำดับ ซึ่งมีร้อยละความแตกต่างประสิทธิภาพของช่องอากาศไอลล่างสูงกว่าแบบช่องอากาศไอลบันมีค่าเท่ากับ 39.06 ทั้งนี้เนื่องจากตัวรับรังสีอาทิตย์แบบที่มีช่องอากาศไอลล่างนั้นมีชั้นอนุภาคนิ่งซึ่งเปรียบเสมือนหน่วยป้องกันการสูญเสีย ความร้อนทางผิวกระเจิด้านบนจากอิทธิพลของอากาศแวดล้อมและลม ได้อีกชั้นหนึ่ง จากการทดสอบประสิทธิภาพตัวรับรังสีอาทิตย์แบบลูกฟูกที่มีช่องอากาศไอลล่างซึ่งติดแผ่นสะท้อนรังสีอาทิตย์โดยทำการทดสอบปรับมุม ต่างๆ ดังนี้ คือ 15 30 45 60 75 และ 90 องศา ซึ่งการทดสอบนี้ ได้พิจารณาไว้รวมกับแบบจำลองการตากกระหนบและสะท้อนรังสีอาทิตย์ พบว่ามุมที่ทำให้ประสิทธิภาพของตัวรับรังสีอาทิตย์มีค่าเพิ่มขึ้นสูงที่สุด คือ มุม 75 องศา ซึ่งมีค่าเท่ากับร้อยละ 53.29 โดยมีร้อยละความแตกต่างของประสิทธิภาพตัวรับรังสีอาทิตย์แบบที่มีช่องอากาศไอลล่างซึ่งติดแผ่นสะท้อนรังสีอาทิตย์สูงกว่าตัวรับรังสีอาทิตย์แบบที่มีช่องอากาศไอลบันและตัวรับรังสีอาทิตย์แบบที่มีช่องอากาศไอลล่างที่ไม่ติดแผ่นสะท้อนรังสีอาทิตย์มีค่าเท่ากับ 69.66 และ 22 ตามลำดับ (พันธนา, 2548)

เมื่อพิจารณาแนวการติดตั้งแผงรับรังสี และเส้นทางการเดินท่อน้ำร้อน ที่จะทำให้เกิดประสิทธิภาพสูงสุดแล้วและโรงงานแปรรูปและพัฒนาผลิตภัณฑ์ มูลนิธิโครงการหลวง พิจารณาถึง การใช้สอยพื้นที่ในอนาคตจึงกำหนดตำแหน่งแผงรับพลังงานแสงอาทิตย์ให้มีทิศทางตามแนวอาคาร โดยแผงรับพลังงานแสงอาทิตย์จะรับพลังงานแสงอาทิตย์ได้ตั้งแต่เวลาช่วงเวลา 9.00 นาฬิกา ถึง 16.30 นาฬิกา ที่มีแสงแดดร่นำเสนอ ไม่อยู่ในจุดบังจากลิงแวดล้อมต่างๆ

การดำเนินการติดตั้งระบบทำน้ำร้อนโดยพลังงานแสงอาทิตย์ป้อนเข้าสู่เครื่องกำเนิดไอน้ำตามตำแหน่งที่กำหนดไว้ โดยบริษัท TSUS International co, Ltd. แสดงในภาคผนวก ก. ภาพการดำเนินการติดตั้งแพรรับพลังงานแสงอาทิตย์ และระบบป้อนน้ำร้อนเข้าสู่เครื่องกำเนิดไอน้ำ



ภาพที่ 19 แพรรับพลังงานแสงอาทิตย์

ตอนที่ 3 วิเคราะห์ความคุ้มค่าของระบบพลังงานแสงอาทิตย์

3.1 เก็บข้อมูลการใช้เชื้อเพลิงของ Boiler ทึ้งก่อนและหลังการติดตั้งระบบทำน้ำร้อนพลังงานแสงอาทิตย์ เพื่อลดการใช้เชื้อเพลิง ดังตารางที่ 4 นีดังนี้

การเก็บข้อมูลการใช้เชื้อเพลิงของ Boiler นั้นต้องบันทึก ปริมาณการใช้น้ำป้อนเข้าสู่เครื่องกำเนิดไอน้ำรวม ปริมาณการใช้น้ำมันดีเซล ในช่วงของการ Heat up ปริมาณที่ใช้กับเครื่องจักรในการผลิตรวมทั้งวัน เพื่อใช้ในการหาดัชนีหรืออัตราส่วนในการผลิตไอน้ำ ระหว่างปริมาณน้ำป้อนเข้าเครื่องกำเนิดไอน้ำต่อปริมาณการใช้น้ำมัน อุณหภูมน้ำป้อนเข้าสู่เครื่องกำเนิดไอน้ำ เพื่อจะทราบถึงผลการประหยัดจากการนำระบบการป้อนน้ำร้อนโดยพลังงานแสงอาทิตย์ และทราบถึงระยะเวลาที่ถึงจุดคุ้มทุน

ตารางที่ 4 ข้อมูลผลิตภาระต่อชั่วโมงของการใช้หัวเผิงของ Boiler

| เดือน | การก่อสร้าง | สิ่งที่ก่อสร้าง | ก้อนยาน | ตุลากอน | พหลศรีภูมิ | ห้องว่าง | ภาคราชบดี | ห้องพักนักเรียน | ห้องน้ำ | แมลง | พะยอม | ภัยดูดซึม | การก่อสร้าง |
|---------------------------------------|-------------|-----------------|----------|----------|------------|------------|------------|-----------------|------------|------------|------------|------------|-------------|
| กันยายน (เดือน กันยายน) | 13,819 | 22,002 | 31,993 | 16,315 | 15,043 | 18,387 | 21,366 | 17,524 | 25,401 | 19,227 | 19,439 | 27,314 | 14,995 |
| กันยายน (เดือน กันยายน) | 1,487.00 | 2,229.50 | 2,178.50 | 1,701.00 | 1,784.00 | 2,125.00 | 2,162.00 | 1,347.00 | 1,963.00 | 1,690.00 | 1,788.50 | 2,535.00 | 1,443.00 |
| ตุลาคม (เดือน ตุลาคม) | 9.29 | 9.87 | 14.69 | 9.59 | 8.43 | 8.65 | 9.88 | 13.01 | 12.90 | 11.38 | 10.87 | 10.77 | 10.39 |
| พฤศจิกายน (เดือน พฤศจิกายน) | 175.50 | 234.00 | 210.00 | 181.50 | 210.50 | 182.00 | 213.50 | 224.00 | 215.00 | 175.00 | 160.50 | 144.20 | 139.00 |
| ธันวาคม (เดือน ธันวาคม) | - | - | - | - | 42 | 44 | 43 | 44 | 40 | 39 | 40 | 43 | 44 |
| ปีใหม่ (เดือน มกราคม) | - | - | - | - | 25.40 | 24.28 | 25.41 | 26.37 | 55.00 | 57.00 | 59.00 | 45.00 | 43.00 |
| ค่าเสงงานพิเศษ (เดือน มกราคม) | - | - | - | - | - | - | - | - | - | - | - | - | 42.00 |
| ค่าเช่าห้องพักนักเรียน (เดือน มกราคม) | - | - | - | - | - | - | - | - | - | - | - | - | 360.25 |
| ห้ามเข้าห้อง | | | | | ถูกผลักดัน | ห้องน้ำดึง | ห้องน้ำดึง | ห้องน้ำดึง | ห้องน้ำดึง | ห้องน้ำดึง | ห้องน้ำดึง | ห้องน้ำดึง | |

หมายเหตุ เก็บข้อมูลตั้งแต่วันที่ 16 กรกฎาคม 2551

3.2 นำข้อมูลที่ได้มาวิเคราะห์เชิงเศรษฐศาสตร์ เพื่อหาความคุ้มค่าของการติดตั้งระบบ
เมื่อนำข้อมูลที่ได้มาวิเคราะห์เชิงเศรษฐศาสตร์ เพื่อวิเคราะห์ความคุ้มค่าของการติดตั้ง
ระบบพบว่า ตั้งแต่เดือน กรกฎาคม 2550 ถึง มกราคม 2551 ซึ่งยังไม่ได้รับการปรับปรุงอุณหภูมิน้ำ
ขณะป้อนเข้า (โดยไม่รวมปริมาณการใช้เชื้อเพลิงและน้ำ เดือนกันยายน เนื่องจากลูกค้ายังไม่ได้รับการปรับปรุงอุณหภูมิน้ำ
เต็มที่) มีปริมาณการใช้น้ำมันทั้งหมด 11,488.50 ลิตร ปริมาณการใช้น้ำทั้งหมด 106,929 ลิตร มีดังนี้
การผลิตไอน้ำเหลี่ยม (จากสมการที่ 5) ดังนี้

ดังนีการผลิตไอน้ำเหลี่ยม เดือนกรกฎาคม 2550 ถึง มกราคม 2551

$$= \frac{106,929}{11,488.50} = 9.31 \text{ กิโลกรัมไอน้ำต่อลิตรน้ำมัน}$$

ตั้งแต่เดือน กุมภาพันธ์ 2551 ถึง กรกฎาคม 2551 ซึ่งได้รับการปรับปรุงอุณหภูมิน้ำขณะ
ป้อนเข้า โดยผ่านแผงทำน้ำร้อนพลังงานแสงอาทิตย์ (Solar collector) แล้วพบว่า ปริมาณการใช้
น้ำมันทั้งหมด 10,766.50 ลิตร ปริมาณการใช้น้ำทั้งหมด 123,900 ลิตร มีดังนีการผลิตไอน้ำเหลี่ยม
ดังนี้

ดังนีการผลิตไอน้ำเหลี่ยม เดือนกุมภาพันธ์ 2551 ถึง กรกฎาคม 2551

$$= \frac{123,900}{10,766.50} = 11.51 \text{ กิโลกรัมไอน้ำต่อลิตรน้ำมัน}$$

ดังนีการผลิตไอน้ำเพิ่มขึ้นต่อเชื้อเพลิง 1 ลิตร สูงขึ้นเท่ากับ $= 11.51 - 9.31$
 $= 2.2 \text{ กิโลกรัมไอน้ำต่อลิตร}$

ถ้าใช้ปริมาณน้ำในการผลิตไอน้ำ เหลี่ยวน้ำละ 1,000 ลิตร

ก่อนติดตั้งระบบทำน้ำร้อนพลังงานแสงอาทิตย์ใช้เชื้อเพลิง เท่ากับ $\frac{1,000}{9.31} = 107.41 \text{ ลิตร}$

หลังติดตั้งระบบทำน้ำร้อนพลังงานแสงอาทิตย์ใช้เชื้อเพลิง เท่ากับ $\frac{1,000}{11.51} = 86.88 \text{ ลิตร}$

ใช้เชื้อเพลิงหลังปรับปรุงคิดเป็นร้อยละ เท่ากับ

$$\frac{86.88 \times 100}{107.41} = 80.88 \quad \text{ของการใช้เชื้อเพลิงเมื่อยังไม่มีการติดตั้ง}$$

สามารถประหยัดเชื้อเพลิงได้ร้อยละ เท่ากับ $100 - 80.88 = 19.12$

โดยคิดเป็นค่าใช้จ่ายที่นำมันดีเซลราคาลิตรละ 32 บาท จะเท่ากับประหยัดวันละ 611 บาทต่อวัน 1 ปีคิด วันทำงาน 300 วัน จะประหยัดได้ 183,552 บาทต่อปี ซึ่งค่าใช้จ่ายในการปรับปรุงอุณหภูมน้ำป้อนทั้งหมดเท่ากับ 369,800 บาท

ตารางที่ 5 ข้อมูลก่อนและหลังการติดตั้งระบบป้อนน้ำร้อนพลังงานแสงอาทิตย์เพื่อลดการใช้เชื้อเพลิงใน Boiler

| ข้อมูลการใช้ boiler | ก่อนการติดตั้ง | หลังการติดตั้ง |
|--|----------------|----------------|
| ค่าน้ำมันดีเซลที่ต้องใช้สำหรับนำป้อนเข้า Boiler เนลี่ย 1,000 ลิตรต่อวัน (ลิตร) | 9.31 | 11.51 |
| ค่าใช้จ่ายนำมันดีเซลต่อวัน (บาท) | 107.41 | 86.88 |
| ค่าใช้จ่ายนำมันดีเซลต่อปี (บาท) | 3,437.12 | 2,780.16 |
| ค่าใช้จ่ายนำมันดีเซลต่อปี (บาท) | 1,031,136 | 834,048 |

จุดคุ้มทุนในระยะเวลาเท่าไหร่ โดยคิดระยะเวลาคุ้มทุน (Payback period) หากตอบแทนในรูปของพลังงานที่ได้ ประหยัดจากการใช้พลังงานแสงอาทิตย์นั้นแทน จนมีค่าเท่ากับเงินที่ลงทุนไป สูตรการคำนวณคือ

$$Y = C/F \quad \dots\dots (5)$$

โดยที่

$$Y = \text{จำนวนปีที่คุ้มทุน (ปี)}$$

$$C = \text{ค่าใช้จ่ายทั้งหมดในการปรับปรุง (บาท)}$$

$$F = \text{สามารถประหยัดนำมันดีเซลได้ (บาทต่อปี)}$$

แทนค่า

$$Y = \frac{369,800}{183,552} \quad \text{ปี}$$

$$Y = 2.01 \quad \text{ปี}$$

ดังนั้น การปรับปรุงระบบนำพลังงานแสงอาทิตย์มาใช้ในการลดการใช้เชื้อเพลิงจะมีจุดคุ้มทุน ประมาณ 2.01 ปี หรือ 2 ปี 6 วัน

สรุปผลและข้อเสนอแนะ

สรุปผล

ผลการติดตั้งระบบรับพลังงานแสงอาทิตย์และระบบป้อนน้ำร้อนเข้าสู่เครื่องกำเนิดไอน้ำ และผลกระทบจากการป้อนน้ำร้อนเข้าสู่เครื่องกำเนิดไอน้ำ เพื่อลดปริมาณการใช้เชื้อเพลิงในเครื่องกำเนิดไอน้ำ โดยการใช้แรงรับพลังงานแสงอาทิตย์เป็นตัวแ pare พลังงานความร้อนสูงทำให้น้ำร้อน ระบบนำร้อนของแรงรับพลังงานแสงอาทิตย์สามารถลดหมุนเวียนแบบธรรมชาติ คือนำร้อนจะเคลื่อนที่สู่ระดับสูงกว่าน้ำเย็นเสมอ ระบบจึงออกแบบมาให้มีแห้งค์เก็บน้ำร้อนอยู่ในระดับสูงกว่า แรงและเมื่อน้ำในแห้งค์เย็นตัวลงก็จะกลับมาสู่แรงอีกครั้ง เป็นการเวียนแบบธรรมชาติ มาทำการเพิ่มอุณหภูมิของน้ำก่อนป้อนเข้าสู่เครื่องกำเนิดไอน้ำ เพื่อลดเวลาในการทำให้น้ำกลายเป็นไอน้ำ และมีแรงดันเท่ากับ 4 บาร์ แล้วนำพลังงานความร้อนไอน้ำไปใช้กับเครื่องจักรในกระบวนการผลิต

จากการเก็บข้อมูลการปริมาณการใช้น้ำในการผลิตไอน้ำแต่ละวัน เป็นระยะเวลา 2 เดือน แล้วทำการออกแบบระบบการป้อนน้ำร้อน โดยใช้เครื่องทำน้ำร้อนพลังงานแสงอาทิตย์ขนาด 1,000 ลิตร ใช้แรงรับพลังงานแสงอาทิตย์ รวม 12.60 ตารางเมตร และทำการติดตั้งแรงทำน้ำร้อน พลังแสงอาทิตย์ โดยทำนูมอียงจากพื้น 18 องศา หันไปทางทิศตะวันออกเฉียงใต้ ซึ่งเป็นทิศทางรับแสงอาทิตย์เป็นระยะเวลานานที่สุด สามารถทำให้น้ำร้อนมีอุณหภูมิ 40 - 70 องศาเซลเซียส ก่อนป้อนเข้าสู่เครื่องกำเนิดไอน้ำซึ่งอุณหภูมิสูงกว่าก่อนการติดตั้ง จากการเปรียบเทียบผลการใช้เชื้อเพลิงต่อปริมาณน้ำป้อนในการผลิตไอน้ำก่อนและหลังจากการใช้ระบบการป้อนน้ำร้อน พบว่า การใช้ระบบการป้อนน้ำร้อนสามารถลดปริมาณเชื้อเพลิงได้ร้อยละ 19.12

ระยะเวลาคุ้มทุน (Payback period) ผลตอบแทนในรูปของการที่ประหยัดเชื้อเพลิงได้จากการติดตั้งระบบรับพลังงานแสงอาทิตย์เพื่อทำความร้อนเพิ่มอุณหภูมน้ำก่อนป้อนเข้าสู่เครื่องกำเนิดไอน้ำ จะมีระยะเวลาคุ้มทุนเท่ากับ 2 ปี 6 วัน

ข้อเสนอแนะ

ประโยชน์ของการติดตั้งระบบรับพลังงานแสงอาทิตย์ และระบบป้อนนำร่องเข้าสู่เครื่องกำเนิดไอน้ำ สามารถลดการใช้เชื้อเพลิงในการต้มน้ำได้ร้อยละ 19.12 ดังที่กล่าวมาแล้วแต่เพื่อให้สามารถเพิ่มประสิทธิภาพของการลดการใช้เชื้อเพลิงลงอีกได้ ทางคณะผู้วิจัย มีข้อเสนอแนะดังนี้

1. ควรมีการปรับลดระยะเวลาที่ต้องใช้พลังงานแสงอาทิตย์ (จุดผลิตนำร่องโดยใช้แสงอาทิตย์) กับจุดติดตั้งเครื่องกำเนิดไอน้ำ เนื่องจากระยะเวลาห่างจะมีผลให้เกิดการสูญเสีย ความร้อนของน้ำในท่อ ก่อนถูกปล่อยเข้าสู่เครื่องกำเนิดไอน้ำ

2. เนื่องจากเครื่องกำเนิดไอน้ำ และระบบท่อส่งไอน้ำเดิน ยังมิได้มีการหุ้มฉนวนทั้งหมด ตลอดเส้นทางการส่งไอน้ำ จึงควรพิจารณาเพิ่มการหุ้มฉนวนในบางจุดเพื่อป้องกันการสูญเสียความร้อนของไอน้ำที่ผลิตได้

อีกประการหนึ่ง ว่าลักษณะน้ำเย็นเข้าสู่เครื่องกำเนิดไอน้ำ ยังมิได้มีการหุ้มฉนวน เนื่องด้วยไม่มีความจำเป็นต้องหุ้ม ในระยะก่อนที่ยังไม่มีการสร้างระบบผลิตนำร่องก่อนเข้าเครื่องกำเนิดไอน้ำ แต่ขณะนี้เมื่อมีการผลิตนำร่องเพื่อใช้แทนน้ำเย็นแล้ว จึงควรพิจารณาหุ้มฉนวน ณ จุดดังกล่าว เพื่อป้องกันการสูญเสียความร้อนของน้ำร้อนที่ถูกส่งมาเข้าเครื่องกำเนิดไอน้ำ

3. ในช่วงแรกของการเปิดเครื่องกำเนิดไอน้ำ จะพบว่า น้ำร้อนที่เก็บในแทงค์ ซึ่งมีแรงดันอยู่ในช่วง 1.80 – 2.00 บาร์ จะถูกดันเข้าสู่เครื่องเป็นปริมาณมาก จนเกินระดับที่จำเป็น ทำให้เครื่องกำเนิดไอน้ำต้องใช้เวลาและเชื้อเพลิงเป็นปริมาณมากในการต้มน้ำในเครื่องจนกว่าจะสามารถผลิตไอน้ำให้ได้แรงดันที่ต้องการ (4.00 บาร์)

ดังนั้นหากสามารถเพิ่มระบบการจำกัดปริมาณนำป้อนเข้าสู่เครื่องกำเนิดไอน้ำ เช่น มีลิมิตสวิทช์ ซึ่งจะควบคุมระดับน้ำในเครื่อง เมื่อมีน้ำอยู่ในระดับที่กำหนดแล้ว ก็จะทำให้มีการทำงาน ไม่ดันน้ำเข้าสู่เครื่องอีก ส่วนผลให้การผลิตไอน้ำช่วงเริ่มเดินเครื่องจะสามารถทำไอน้ำให้มีแรงดัน 4.00 บาร์ จะใช้เวลาและปริมาณเชื้อเพลิงได้น้อยกว่าที่เป็นอยู่ในปัจจุบัน

กิตติกรรมประกาศ

โครงการวิจัยการลดการใช้เชื้อเพลิงใน Boiler โดยใช้พลังงานแสงอาทิตย์ได้รับทุนอุดหนุนการวิจัยปีงบประมาณ 2551 จากมูลนิธิโครงการหลวง คณะผู้วิจัยขอขอบพระคุณมูลนิธิโครงการหลวง ในการให้การสนับสนุนการวิจัยนี้

นอกจากนี้คณะผู้วิจัยขอขอบพระคุณบุคลากร เจ้าหน้าที่ของโรงพยาบาลแปรรูปและพัฒนาผลิตภัณฑ์ มูลนิธิโครงการหลวง ที่มีส่วนให้ความช่วยเหลือและสนับสนุนโครงการวิจัยนี้มาโดยตลอด

ท้ายที่สุดนี้ คณะผู้วิจัยขอขอบพระคุณผู้ที่ทรงคุณวุฒิหลายท่านที่ได้ให้คำปรึกษาและข้อแนะนำต่างๆ ตลอดทั้งโครงการ ซึ่งทำให้โครงการดำเนินการไปได้ด้วยความเรียบร้อยและมีประสิทธิภาพ แนวความคิดที่เป็นประโยชน์ทั้งปวง คณะผู้วิจัยขอն้อมรับและจะนำไปใช้ประโยชน์ในการทำงานในอนาคต องค์ความรู้ที่เกิดจากโครงการวิจัยนี้ขอให้เกิดประโยชน์ต่อประเทศชาติโดยรวมต่อไป

คณะผู้จัดทำ

โครงการวิจัย

เอกสารอ้างอิง

กรมพัฒนาพลังงานทดแทนและอนุรักษ์พลังงาน. 2550. “แผนที่พลังงานแสงอาทิตย์.”

[ระบบออนไลน์]. แหล่งที่มา <http://www.Dede.go.th>. (12 พฤศจิกายน 2550).

กรมพัฒนาและส่งเสริมพลังงาน กระทรวงวิทยาศาสตร์ เทคโนโลยีและสิ่งแวดล้อม. 2543.

การนำค่อนคืนสภาพและแฟลชสตีมกลับมาใช้ประโยชน์ 2. พิมพ์ครั้งที่ 4. โรงพิมพ์ชุมชน
สหกรณ์การเกษตรแห่งประเทศไทย จำกัด. กรุงเทพฯ.

การไฟฟ้าฝ่ายผลิตแห่งประเทศไทย. 2547. “เครื่องทำน้ำร้อนพลังงานแสงอาทิตย์.” [ระบบ
ออนไลน์]. แหล่งที่มา http://www.egat.co.th/rdo/energy/web-heater/index_heater.htm.
(20 กรกฎาคม 2551).

สนั่นหนาน พันธุ์เหล็ก พฤทธิ มาเนตร คิรินุช จินดารักษ์ สินเดิม ดีโต และอนิรุทธิ์ ต่ายขาว. 2548.

การเพิ่มประสิทธิภาพของตัวรับรังสีอาทิตย์ด้วยแผ่นสะท้อนรังสีอาทิตย์. เอกสารการ
ประชุมเชิงวิชาการเครือข่ายพลังงานแห่งประเทศไทยครั้งที่ 1, โรงแรมแอมบาสซาเดอร์
ชีตี้ จอมเทียน ชลบุรี.

ทนงเกียรติ เกียรติคิริโรจน์. 2531. อนุกรรมพัฒนานอกแบบและการใช้พลังงานอย่างมี
ประสิทธิภาพ เล่มที่ 1 การแปรรังสีดวงอาทิตย์และตัวรับรังสี. สถาบันเทคโนโลยีพระจอม
เกล้าเจ้าฯ ชลบุรี.

ทนงเกียรติ เกียรติคิริโรจน์ และสุริยนต์ ชมดี. 2550. การนำพลังงานแสงอาทิตย์มาใช้ประโยชน์ใน
การลดต้นทุนและประหยัดพลังงานในสถานประกอบการ. เอกสารถ่ายทอดเทคโนโลยี.

สถาบันวิจัยพัฒนาวิทยาศาสตร์และเทคโนโลยี. มหาวิทยาลัยเชียงใหม่.

เศรษฐพงษ์ จันทร์มูล. 2544. “การทำน้ำร้อนพลังงานแสงอาทิตย์”. วารสารเทคนิค, 2 : 17
ศูนย์ทรัพยากรฟื้นฟูธรรมชาติ ในการอนุรักษ์พลังงาน. 2533. “คู่มือการใช้ชื้อเพลิงอย่างมีประสิทธิภาพ.”
[ระบบออนไลน์]. แหล่งที่มา <http://www.dedp.go.th> และ <http://www.teenet-dedp.com>.
(12 พฤศจิกายน 2550).

ศูนย์ทรัพยากรฟื้นฟูธรรมชาติ ในการอนุรักษ์พลังงาน. 2533. หม้อไอน้ำ. เอกสารเผยแพร่ ชุด ความรู้
พื้นฐานเกี่ยวกับการใช้พลังงาน กองทุนเพื่อส่งเสริมการอนุรักษ์พลังงาน. กรุงเทพฯ.

สุริยนต์ ชมดี. 2550. เอกสารการนำเสนอการติดตั้งแผงรับพลังงานแสงอาทิตย์ ณ โรงงานแปรรูป
และพัฒนาผลิตภัณฑ์ มูลนิธิโครงการหลวง. บริษัท TSUS International co, Ltd. เชียงใหม่.

วัฒนพงษ์ รักษาเวชียร์. 2550. “กระบวนการเพิ่มประสิทธิภาพการเรียนรู้พัฒนาศักยภาพ” [ระบบออนไลน์]. แหล่งที่มา <http://www.thaipr.net>. (20 กรกฎาคม 2551).

อัมพร พรพิพัฒน์กุล. 2527. “แนวทางการประหยัดพลังงานโดยการผลิตและการใช้ไอน้ำอย่างมีประสิทธิภาพ”. โครงการวิจัย, มหาวิทยาลัยเกษตรศาสตร์.

Anonymous. 1983. **Energy-saving system for high-pressure steam boiler in the dairy factory.** FSTA Retrospective 1969-1989.

Ratliff R.L. 1984. **“Steam Boiler Heat Recovery Apparatus”**. U.S. Patent 4,428,328.

Tung P. 2002. **“Methods for Recycling Process Wastewater Stream”**. U.S. Patent 6,371,058.

การวิเคราะห์



พิพิธภัณฑ์ชาติไทย



ภาพการดำเนินการติดตั้งระบบรับพลังงานแสงอาทิตย์



ภาพที่ ก1 การสร้างฐาน แผง Solar collector



ภาพที่ ก2 การสร้างฐาน แผง Solar collector



ภาพที่ ก3 การติดตั้งฐาน แผง Solar collector



ภาพที่ ก4 การประกอบแผง Solar collector



ภาพที่ ก5 การเดินท่อไปยังแผง Solar collector



ภาพที่ ก6 การติดตั้งปั๊มและระบบป้อนน้ำ



ภาพที่ ก7 การติดตั้งปั๊มและระบบป้อนน้ำ

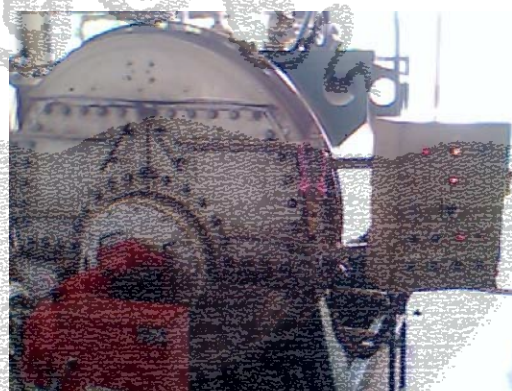


ภาพที่ ก8 แผง Solar collector

ภาพอุปกรณ์และเครื่องมือวัด



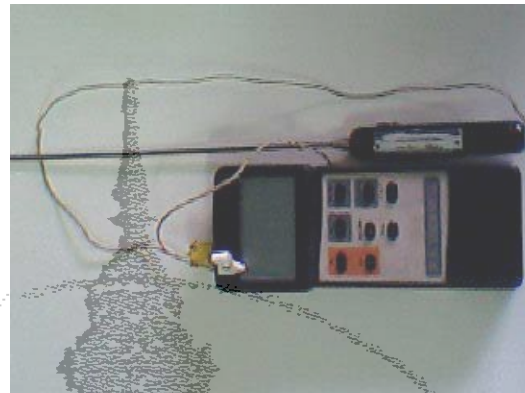
ภาพที่ ก9 เครื่องวัดค่ารังสีแสงอาทิตย์ (Solar Integrator) โดยวัดรังสีแสงอาทิตย์รวม
หน่วยเป็นวัตต์ต่อตารางเมตร



ภาพที่ ก10 เครื่องกำเนิดไอน้ำ (Boiler) ขนาด 0.75 ตัน



ภาพที่ ก11 หัว Burner oil preheater ยี่ห้อ Olympia



ภาพที่ ก12 เทอร์โนคปปีล ชนิด K มีช่วงการวัดอุณหภูมิตั้งแต่ -270 ถึง 1,372 องศาเซลเซียส



ภาพที่ ก13 มาตรวัดปริมาณการไหลของน้ำ โดยหน่วยวัดปริมาตรน้ำหน่วยเป็นลูกบาศก์เมตร



ภาพที่ ก14 มาตรวัดปริมาณการไหลของน้ำมัน โดยหน่วยวัดปริมาตรน้ำมันหน่วยเป็นลูกบาศก์เมตร



ภาพที่ ก15 เครื่องวัดอุณหภูมิและบันทึกข้อมูลอุณหภูมน้ำป้อนเข้าสู่เครื่องกำนันดิโอน้ำ Data logger



ภาพที่ ก16 เครื่องทำน้ำร้อนพลังงานแสงอาทิตย์ ของบริษัท TSUS International ,co.ltd
ขนาด 1,000 ลิตร



ภาพที่ ก17 ปั๊มป้อนน้ำเข้าสู่แพงทำน้ำร้อนพลังงานแสงอาทิตย์



ประจำเดือน ตุลาคม 2550

| วันที่ | ปริมาณการใช้ น้ำมัน และน้ำ ใน Boiler | | | | | | | | |
|--------|--------------------------------------|----------------------------|---------------|---------|----------------------|---------------------|----------------------|-----|------|
| | มาตรวัด ปริมาณน้ำมัน (ลิตร) | ปริมาณ น้ำมัน (ลิตร) | เริ่ม เวลา | ปิดเวลา | มาตรวัด ปริมาณน้ำ | ปริมาณ น้ำ(ลิตร) | ชั่วโมงการ ใช้งาน | | |
| 3 | 10801 | 10893 | 92 | 8:45 | 17:00 | 120206 | 121027 | 821 | 8.15 |
| 4 | 10893 | 10993 | 100 | 9:50 | 17:00 | 121554 | 122113 | 559 | 7.10 |
| 5 | 10993 | 11035 | 42 | 9:50 | 16:30 | 123096 | 123334 | 238 | 6.40 |
| 7 | 11035 | 11083 | 48 | 9:50 | 17:00 | 123370 | 123718 | 348 | 7.10 |
| 8 | 11083 | 11162 | 79 | 8:25 | 15:30 | 124102 | 124657 | 555 | 7.05 |
| 9 | 11162 | 11241 | 79 | 8:15 | 16:50 | 124720 | 125580 | 860 | 8.35 |
| 10 | 11241 | 11350 | 109 | 8:30 | 17:10 | 125606 | 126324 | 718 | 8.40 |
| 11 | 11350 | 11410 | 60 | 10:00 | 17:30 | 126544 | 127073 | 529 | 7.30 |
| 12 | 11410 | 11486 | 76 | 8:40 | 15:45 | 127123 | 127772 | 649 | 7.05 |
| 14 | 11486 | 11589 | 103 | 8:35 | 16:45 | 127802 | 128301 | 499 | 8.15 |
| 15 | 11589 | 11664 | 75 | 8:50 | 17:00 | 128676 | 129506 | 830 | 6.10 |
| 16 | 11664 | 11752 | 88 | 8:40 | 17:00 | 130096 | 130774 | 678 | 6.20 |
| 17 | 11752 | 11839 | 87 | 8:40 | 16:30 | 130827 | 131617 | 790 | 5.50 |
| 18 | 11839 | 11897 | 58 | 10:00 | 17:00 | 131617 | 132103 | 486 | 7.00 |
| 19 | 11897 | 11975 | 78 | 8:10 | 16:50 | 132165 | 132850 | 685 | 8.40 |
| 21 | 11975 | 12040 | 65 | 9:00 | 16:30 | 132901 | 133124 | 223 | 7.30 |
| 22 | 12040 | 12090 | 50 | 8:00 | 15:00 | 133241 | 133450 | 209 | 7.00 |
| 23 | 12090 | 12134 | 44 | 9:30 | 17:00 | 133574 | 133832 | 258 | 7.30 |
| 24 | 12134 | 12184 | 50 | 9:00 | 16:30 | 133832 | 134126 | 294 | 7.30 |
| 25 | 12184 | 12250 | 66 | 8:50 | 16:30 | 134182 | 134564 | 382 | 7.40 |
| 26 | 12250 | 12310 | 60 | 8:10 | 16:50 | 134623 | 134901 | 278 | 8.40 |
| 28 | 12310 | 12369 | 59 | 8:45 | 16:30 | 135230 | 135632 | 402 | 7.45 |
| 29 | 12369 | 12414 | 45 | 9:30 | 17:00 | 135764 | 136075 | 311 | 7.30 |
| 30 | 12414 | 12457 | 43 | 10:10 | 17:00 | 136081 | 136313 | 232 | 6.50 |
| 31 | 12457 | 12502 | 45 | 9:00 | 16:30 | 136358 | 136521 | 163 | 7.30 |

ประจำเดือน พฤศจิกายน 2550

| วันที่ | ปริมาณการใช้ น้ำมัน และน้ำ ใน Boiler | | | | | | | | |
|--------|--------------------------------------|----------------------------|---------------|-------------|----------------------|---------------------|----------------------|-----|------|
| | มาตรฐาน ปริมาณน้ำมัน | ปริมาณ น้ำมัน (ลิตร) | เริ่ม เวลา | ปิด เวลา | มาตรฐาน ปริมาณน้ำ | ปริมาณ น้ำ(ลิตร) | ชั่วโมงการ ใช้งาน | | |
| 1 | 12502 | 12565 | 63 | 8:15 | 16:30 | 136626 | 137234 | 608 | 8.15 |
| 2 | 12565 | 12632 | 67 | 8:10 | 16:30 | 137255 | 137621 | 366 | 8.20 |
| 4 | 12632 | 12687 | 55 | 8:15 | 16:30 | 137654 | 138001 | 347 | 8.15 |
| 5 | 12687 | 12734 | 47 | 9:00 | 17:00 | 138195 | 138400 | 205 | 8.00 |
| 6 | 12734 | 12787 | 53 | 9:00 | 15:55 | 138492 | 138798 | 306 | 5.55 |
| 7 | 12787 | 12835.5 | 48.5 | 9:00 | 16:30 | 138895 | 139213 | 318 | 7.30 |
| 8 | 12835.5 | 12882 | 46.5 | 9:00 | 16:30 | 139204 | 139481 | 277 | 7.30 |
| 9 | 12882 | 12931 | 49 | 9:00 | 17:00 | 139509 | 139796 | 287 | 8.00 |
| 11 | 12931 | 12986 | 55 | 9:00 | 17:00 | 139835 | 140470 | 635 | 8.00 |
| 12 | 12986 | 13065 | 79 | 9:00 | 16:30 | 140534 | 140790 | 256 | 7.30 |
| 13 | 13065 | 13111 | 46 | 9:00 | 16:30 | 140801 | 141061 | 260 | 7.30 |
| 14 | 13111 | 13157 | 46 | 9:00 | 16:30 | 141077 | 141386 | 309 | 7.30 |
| 15 | 13157 | 13207 | 50 | 9:00 | 16:30 | 141421 | 141689 | 268 | 7.30 |
| 16 | 13207 | 13252 | 45 | 8:30 | 16:00 | 141704 | 141976 | 272 | 7.30 |
| 18 | 13252 | 13298 | 46 | 8:10 | 16:30 | 142004 | 142358 | 354 | 8.20 |
| 19 | 13298 | 13357 | 59 | 8:30 | 16:30 | 142401 | 142703 | 302 | 8.00 |
| 20 | 13357 | 13445 | 88 | 9:00 | 17:00 | 142789 | 143468 | 679 | 8.00 |
| 21 | 13445 | 13521 | 76 | 9:00 | 16:45 | 143504 | 144146 | 642 | 7.45 |
| 22 | 13521 | 13614 | 93 | 8:30 | 16:00 | 144295 | 145189 | 894 | 7.30 |
| 23 | 13614 | 13716 | 102 | 8:20 | 17:00 | 145264 | 146103 | 839 | 8.40 |
| 25 | 13716 | 13819 | 103 | 9:00 | 16:30 | 146345 | 147247 | 902 | 7.30 |
| 26 | 13819 | 13908 | 89 | 8:20 | 16:30 | 147247 | 148079 | 832 | 8.10 |
| 27 | 13908 | 14005.5 | 97.5 | 8:30 | 17:00 | 148127 | 148987 | 860 | 8.30 |
| 28 | 14005.5 | 14096 | 90.5 | 8:30 | 17:00 | 148999 | 149867 | 868 | 8.30 |
| 29 | 14096 | 14182 | 86 | 8:30 | 17:00 | 149871 | 150658 | 787 | 8.30 |
| 30 | 14182 | 14286 | 104 | 8:30 | 17:00 | 150692 | 151669 | 977 | 8.30 |

ประจำเดือน ธันวาคม 2550

| วันที่ | ปริมาณการใช้ น้ำมัน และน้ำ ใน Boiler | | | | | | | |
|--------|--------------------------------------|----------------------------|---------------|-------------|----------------------|---------------------|----------------------|-----------|
| | มาตรวัด ปริมาณน้ำมัน | ปริมาณ น้ำมัน (ลิตร) | เริ่ม เวลา | ปิด เวลา | มาตรวัด ปริมาณน้ำ | ปริมาณ น้ำ(ลิตร) | ชั่วโมงการ ใช้งาน | |
| 1 | 14286 | 14365 | 79 | | | | | |
| 2 | 14365 | 14468.5 | 103.5 | 9:00 | 18:00 | 152320 | 153327 | 1007 9:00 |
| 3 | 14468.5 | 14582 | 113.5 | 8:30 | 18:30 | 153342 | 154283 | 941 10:00 |
| 4 | 14582 | 14659 | 77 | 9:00 | 17:30 | 154374 | 154991 | 617 8:30 |
| 5 | 14659 | 14741 | 82 | 9:00 | 17:00 | 154998 | 155657 | 659 8:00 |
| 6 | 14741 | 14824 | 83 | 9:00 | 17:00 | 155660 | 156327 | 667 8:00 |
| 7 | 14824 | 14937 | 113 | 9:00 | 18:00 | 156333 | 156707 | 374 9:00 |
| 8 | 14937 | 15041 | 104 | 9:00 | 18:00 | 156821 | 158137 | 1316 9:00 |
| 9 | 15041 | 15131 | 90 | 9:00 | 18:00 | 158286 | 159717 | 1431 9:00 |
| 10 | 15131 | 15244.5 | 113.5 | 9:00 | 18:00 | 159891 | 160524 | 633 9:00 |
| 11 | 15244.5 | 15355.5 | 111 | 9:00 | 18:00 | 160668 | 161589 | 921 9:00 |
| 12 | 15355.5 | 15467.5 | 112 | 9:00 | 18:00 | 161702 | 162658 | 956 9:00 |
| 13 | 15467.5 | 15577.5 | 110 | 9:00 | 18:00 | 162663 | 163588 | 925 9:00 |
| 14 | 15577.5 | 15642.5 | 65 | 9:00 | 16:30 | 163592 | 164165 | 573 7:30 |
| 15 | 15642.5 | 15725.5 | 83 | 9:00 | 16:30 | 164170 | 165016 | 846 7:30 |
| 16 | 15725.5 | 15807.5 | 82 | 9:00 | 16:30 | 165020 | 165834 | 814 7:30 |
| 17 | 15807.5 | 15914.5 | 107 | 9:00 | 16:30 | 165844 | 166575 | 731 7:30 |
| 18 | 15914.5 | 16012 | 97.5 | 9:00 | 16:30 | 166579 | 167414 | 835 7:30 |
| 19 | 16012 | 16098 | 86 | 9:00 | 16:30 | 167423 | 168232 | 809 7:30 |
| 20 | 16098 | 16168 | 70 | 9:00 | 16:30 | 168358 | 168895 | 537 7:30 |
| 21 | 16168 | 16261 | 93 | 9:00 | 16:30 | 168915 | 169811 | 896 7:30 |
| 25 | 16261 | 16365.5 | 104.5 | 8:30 | 16:30 | 169832 | 170639 | 807 8:00 |
| 26 | 16365.5 | 16410 | 44.5 | 8:30 | 16:30 | 170843 | 171207 | 364 8:00 |

ประจำเดือน มกราคม 2551

| วันที่ | ปริมาณการใช้ น้ำมัน และน้ำ ใน Boiler | | | | | | | | |
|--------|--------------------------------------|----------------------------|---------------|-------------|----------------------|---------------------|----------------------|------|-------|
| | มาตรวัด ปริมาณน้ำมัน | ปริมาณ น้ำมัน (ลิตร) | เริ่ม เวลา | ปิด เวลา | มาตรวัด ปริมาณน้ำ | ปริมาณ น้ำ(ลิตร) | ชั่วโมงการ ใช้งาน | | |
| 3 | 16411 | 16529.5 | 118.5 | 8:30 | 19:30 | 170761 | 171612 | 851 | 11:00 |
| 4 | 16529.5 | 16589 | 59.5 | 9:00 | 19:30 | 171612 | 172051 | 439 | 10:30 |
| 6 | 16589 | 16652 | 63 | 9:00 | 19:00 | 172051 | 172284 | 233 | 10:00 |
| 7 | 16652 | 16755.5 | 103.5 | 9:00 | 19:00 | 172323 | 173310 | 987 | 10:00 |
| 8 | 16755.5 | 16867.5 | 112 | 9:00 | 18:00 | 173418 | 174418 | 1000 | 9:00 |
| 9 | 16867.5 | 16930 | 62.5 | 9:00 | 18:00 | 174523 | 174534 | 11 | 9:00 |
| 10 | 16930 | 17001 | 71 | 9:00 | 18:00 | 174681 | 175567 | 886 | 9:00 |
| 11 | 17001 | 17111.5 | 110.5 | 9:00 | 17:00 | 175616 | 176593 | 977 | 8:00 |
| 13 | 17111.5 | 17204 | 92.5 | 9:00 | 18:00 | 176607 | 177157 | 550 | 9:00 |
| 14 | 17204 | 17302 | 98 | 9:00 | 18:30 | 177202 | 177347 | 145 | 9:30 |
| 15 | 17302 | 17357 | 55 | 9:00 | 18:30 | 178158 | 178215 | 57 | 9:30 |
| 16 | 17357 | 17469 | 112 | 9:00 | 18:30 | 178563 | 178621 | 58 | 9:30 |
| 17 | 17469 | 17526.5 | 57.5 | 9:00 | 18:30 | 179688 | 179713 | 25 | 9:30 |
| 18 | 17526.5 | 17611 | 84.5 | 9:00 | 16:30 | 180138 | 180256 | 118 | 7:30 |
| 20 | 17611 | 17684.5 | 73.5 | 9:00 | 16:30 | 180827 | 181350 | 523 | 7:30 |
| 21 | 17684.5 | 17798.5 | 114 | 9:00 | 16:30 | 181350 | 182407 | 1057 | 7:30 |
| 22 | 17798.5 | 17835.5 | 37 | 9:00 | 16:30 | 182407 | 182648 | 241 | 7:30 |
| 23 | 17835.5 | 17943 | 107.5 | 9:00 | 16:30 | 182648 | 183703 | 1055 | 7:30 |
| 24 | 17943 | 18046 | 103 | 9:00 | 16:30 | 183703 | 184723 | 1020 | 7:30 |
| 25 | 18046 | 18124 | 78 | 9:00 | 16:30 | 184723 | 185694 | 971 | 7:30 |
| 27 | 18124 | 18229 | 105 | 9:00 | 16:30 | 185694 | 186710 | 1016 | 7:30 |
| 28 | 18229 | 18323 | 94 | 9:00 | 16:30 | 186710 | 187694 | 984 | 7:30 |
| 29 | 18323 | 18420.5 | 97.5 | 9:00 | 16:30 | 187694 | 188627 | 933 | 7:30 |
| 30 | 18420.5 | 18519.5 | 99 | 9:00 | 16:30 | 188627 | 189627 | 1000 | 7:30 |
| 31 | 18519.5 | 18573 | 53.5 | 9:00 | 16:30 | 189627 | 190202 | 575 | 7:30 |

ประจำเดือน กุมภาพันธ์ 2551

| วันที่ | ปริมาณการใช้ น้ำมัน และน้ำ ใน Boiler | | | | | | | | |
|--------|--------------------------------------|---------|----------------------------|---------------|-------------|----------------------|--------|---------------------|------|
| | มาตรวัด ปริมาณน้ำมัน | | ปริมาณ น้ำมัน (ลิตร) | เริ่ม เวลา | ปิด เวลา | มาตรวัด ปริมาณน้ำ | | ปริมาณ น้ำ(ลิตร) | |
| 1 | 18573 | 18648 | 75 | 9:00 | 16:30 | 192905 | 202345 | 9440 | 7:30 |
| 2 | 18648 | 18754.5 | 106.5 | 9:00 | 16:30 | 202345 | 203727 | 1382 | 7:30 |
| 3 | 18754.5 | 18862 | 107.5 | 9:00 | 16:30 | 203727 | 205030 | 1303 | 7:30 |
| 4 | 18862 | 18946 | 84 | 9:00 | 17:45 | 205030 | 205817 | 787 | 8:45 |
| 5 | 18946 | 19035.5 | 89.5 | 9:00 | 17:45 | 205817 | 206740 | 923 | 8:45 |
| 6 | 19035.5 | 19122.5 | 87 | 9:00 | 17:45 | 206740 | 207826 | 1086 | 8:45 |
| 7 | 19122.5 | 19240.5 | 118 | 9:00 | 17:45 | 207826 | 209172 | 1346 | 8:45 |
| 8 | 19240.5 | 19314.5 | 74 | 9:00 | 17:45 | 209172 | 210011 | 839 | 8:45 |
| 9 | 19314.5 | 19372.5 | 58 | 9:00 | 17:45 | 210011 | 216142 | 531 | 8:45 |
| 10 | 19372.5 | 19475.5 | 103 | 9:00 | 17:45 | 216142 | 217274 | 1132 | 8:45 |
| 11 | 19475.5 | 19581.5 | 106 | 9:00 | 17:45 | 217321 | 218638 | 1317 | 8:45 |
| 12 | 19581.5 | 19676.9 | 95.4 | 9:00 | 17:45 | 218664 | 219670 | 1006 | 8:45 |
| 13 | 19676.9 | 19760 | 83.1 | 9:00 | 17:45 | 219670 | 220487 | 817 | 8:45 |
| 14 | 19760 | 19863.5 | 103.5 | 8:30 | 17:45 | 220487 | 221657 | 1170 | 9:15 |
| 15 | 19863.5 | 19965.5 | 102 | 8:30 | 17:45 | 221657 | 222616 | 959 | 9:15 |
| 16 | 19965.5 | 20057 | 91.5 | 8:30 | 17:45 | 222616 | 223550 | 934 | 9:15 |
| 17 | 20057 | 20171 | 114 | 8:30 | 17:45 | 223550 | 224741 | 1191 | 9:15 |
| 18 | 20171 | 20269.5 | 98.5 | 8:30 | 17:45 | 224741 | 225666 | 925 | 9:15 |
| 19 | 20269.5 | 20354.6 | 85.1 | 8:30 | 17:45 | 225670 | 226667 | 997 | 9:15 |
| 20 | 20354.6 | 20409 | 54.4 | 8:30 | 17:45 | 226667 | 227093 | 426 | 9:15 |
| 22 | 20409 | 20485.5 | 76.5 | 8:30 | 17:45 | 227097 | 227714 | 617 | 9:15 |
| 23 | 20485.5 | 20534 | 48.5 | 8:30 | 16:10 | 227723 | 228375 | 652 | 7:40 |
| 24 | 20534 | 20641.5 | 107.5 | 8:30 | 16:10 | 228368 | 229874 | 1506 | 7:40 |
| 25 | 20641.5 | 20719 | 77.5 | 8:30 | 16:10 | 229874 | 230522 | 648 | 7:40 |
| 26 | 20719 | 20822.5 | 103.5 | 8:30 | 17:00 | 230522 | 231707 | 1185 | 8:30 |
| 27 | 20822.5 | 20910.5 | 88 | 8:30 | 17:00 | 231732 | 232618 | 886 | 8:30 |

ประจำเดือน มีนาคม 2551

| วันที่ | ปริมาณการใช้น้ำมัน และน้ำใน Boiler | | | | | | | |
|--------|------------------------------------|----------------------------|---------------|-------------|----------------------|---------------------|----------------------|------|
| | มาตรวัด ปริมาณน้ำมัน | ปริมาณ น้ำมัน (ลิตร) | เริ่ม เวลา | ปิด เวลา | มาตรวัด ปริมาณน้ำ | ปริมาณ น้ำ(ลิตร) | ชั่วโมงการ ใช้งาน | |
| 1 | 21064 | 21124.5 | 60.5 | 8:30 | 16:30 | 234198 | 234729 | 531 |
| 3 | 21124.5 | 21232.5 | 108 | 8:20 | 17:25 | 234733 | 236033 | 1300 |
| 4 | 21232.5 | 21295.5 | 63 | 9:11 | 16:00 | 236040 | 236550 | 510 |
| 5 | 21295.5 | 21400 | 104.5 | 8:30 | 16:45 | 236562 | 238435 | 1873 |
| 6 | 21400 | 21445 | 45 | 9:40 | 16:15 | 238446 | 238840 | 394 |
| 7 | 21445 | 21565.5 | 120.5 | 8:30 | 16:15 | 238840 | 240175 | 1335 |
| 10 | 21565.5 | 21708 | 142.5 | 8:35 | 15:00 | 240255 | 241386 | 1131 |
| 11 | 21708 | 21884 | 176 | 8:35 | 18:15 | 241428 | 243805 | 2377 |
| 12 | 21884 | 21949 | 65 | 8:30 | 16:00 | 243805 | 244417 | 612 |
| 13 | 21949 | 22011 | 62 | 9:00 | 16:00 | 244417 | 245041 | 624 |
| 14 | 22011 | 22125 | 114 | 8:00 | 16:30 | 245041 | 246209 | 1168 |
| 16 | 22125 | 22182 | 57 | 8:00 | 16:30 | 246209 | 246748 | 539 |
| 17 | 22182 | 22241 | 59 | 8:00 | 16:30 | 246748 | 247457 | 709 |
| 19 | 22241 | 22357 | 116 | 8:30 | 16:27 | 247457 | 248466 | 1009 |
| 20 | 22357 | 22478.5 | 121.5 | 8:25 | 17:00 | 248466 | 249790 | 1324 |
| 21 | 22478.5 | 22550 | 71.5 | 8:25 | 14:25 | 249840 | 250633 | 793 |
| 23 | 22550 | 22596 | 46 | 8:30 | 14:30 | 250836 | 251020 | 184 |
| 24 | 22596 | 22666 | 70 | 8:30 | 15:45 | 251073 | 251599 | 526 |
| 25 | 22666 | 22760 | 94 | 8:15 | 16:15 | 251731 | 252581 | 850 |
| 26 | 22760 | 22860 | 100 | 8:30 | 16:00 | 252735 | 253690 | 955 |
| 27 | 22860 | 22941 | 81 | 8:30 | 16:20 | 253725 | 254475 | 750 |
| 28 | 22941 | 22991 | 50 | 9:00 | 14:30 | 254597 | 255017 | 420 |
| 30 | 22991 | 23087 | 96 | 8:20 | 15:30 | 255068 | 255956 | 888 |

ประจำเดือน เมษายน 2551

| วันที่ | ปริมาณการใช้ น้ำมัน และน้ำ ใน Boiler | | | | | | | |
|--------|--------------------------------------|----------------------------|---------------|-------------|----------------------|---------------------|----------------------|------|
| | มาตรวัด ปริมาณน้ำมัน | ปริมาณ น้ำมัน (ลิตร) | เริ่ม เวลา | ปิด เวลา | มาตรวัด ปริมาณน้ำ | ปริมาณ น้ำ(ลิตร) | ชั่วโมงการ ใช้งาน | |
| 1 | 23087 | 23202 | 115 | 8:20 | 16:00 | 256172 | 257177 | 1005 |
| 2 | 23202 | 23315 | 113 | 8:30 | 16:00 | 257185 | 258352 | 1167 |
| 3 | 23315 | 23416 | 101 | 8:30 | 16:00 | 258373 | 259452 | 1079 |
| 4 | 23416 | 23517 | 101 | 8:30 | 15:50 | 259494 | 260566 | 1072 |
| 6 | 23517 | 23578.5 | 61.5 | 9:20 | 16:00 | 260590 | 261008 | 418 |
| 7 | 23578.5 | 23643 | 64.5 | 8:50 | 16:00 | 261008 | 261638 | 630 |
| 16 | 23655.5 | 23709.5 | 54 | 8:20 | 14:00 | 266179 | 266437 | 258 |
| 17 | 23709.5 | 23819 | 109.5 | 8:50 | 16:00 | 266437 | 267658 | 1221 |
| 18 | 23819 | 23913 | 94 | 8:50 | 16:00 | 267648 | 268904 | 1256 |
| 20 | 23913 | 24002 | 89 | 8:30 | 16:00 | 268913 | 269624 | 711 |
| 21 | 24002 | 24055.5 | 53.5 | 9:20 | 16:00 | 269624 | 270124 | 500 |
| 22 | 24055.5 | 24156.5 | 101 | 8:40 | 16:30 | 270124 | 271474 | 1350 |
| 23 | 24156.5 | 24267 | 110.5 | 8:50 | 16:00 | 270124 | 272530 | 2406 |
| 24 | 24267 | 24373 | 106 | 8:30 | 16:00 | 272788 | 273738 | 950 |
| 25 | 24373 | 24470 | 97 | 8:30 | 16:30 | 273738 | 274861 | 1123 |
| 27 | 24470 | 24582 | 112 | 8:50 | 16:40 | 274861 | 275991 | 1130 |
| 28 | 24582 | 24686.5 | 104.5 | 9:00 | 16:00 | 276109 | 277100 | 991 |
| 29 | 24686.5 | 24789.5 | 103 | 9:10 | 16:30 | 277285 | 279246 | 1961 |

ประจำเดือน พฤษภาคม 2551

| วันที่ | ปริมาณการใช้ น้ำมัน และน้ำ ใน Boiler | | | | | | | |
|--------|--------------------------------------|----------------------------|---------------|-------------|----------------------|---------------------|----------------------|------|
| | มาตรวัด ปริมาณน้ำมัน | ปริมาณ น้ำมัน (ลิตร) | เริ่ม เวลา | ปิด เวลา | มาตรวัด ปริมาณน้ำ | ปริมาณ น้ำ(ลิตร) | ชั่วโมงการ ใช้งาน | |
| 5 | 24789.5 | 24892.0 | 102.5 | 8:12 | 16:30 | 278585 | 279219 | 634 |
| 6 | 24892.0 | 25007.5 | 115.5 | 8:45 | 16:30 | 279219 | 280525 | 1306 |
| 7 | 25007.5 | 25114.5 | 107.0 | 8:30 | 16:30 | 280553 | 281783 | 1230 |
| 8 | 25114.5 | 25226 | 111.5 | 8:30 | 17:30 | 281783 | 283013 | 1230 |
| 9 | 25226 | 25317.5 | 91.5 | 8:20 | 16:00 | 283013 | 284098 | 1085 |
| 10 | 25317.5 | 25387 | 69.5 | 8:30 | 16:00 | 284098 | 284658 | 560 |
| 12 | 25387 | 25502 | 115 | 8:30 | 16:00 | 284658 | 285692 | 1034 |
| 13 | 25502 | 25589 | 87 | 8:30 | 17:30 | 285692 | 286827 | 1135 |
| 14 | 25589 | 25656 | 67 | 9:30 | 17:00 | 285692 | 287529 | 1837 |
| 15 | 25656 | 25712 | 56 | 8:30 | 16:30 | 287529 | 288355 | 826 |
| 16 | 25712 | 25772 | 60 | 8:30 | 16:55 | 288355 | 288744 | 389 |
| 17 | 25772 | 25840.5 | 68.5 | 8:30 | 17:00 | 288744 | 289705 | 961 |
| 20 | 25840.5 | 25969 | 128.5 | 8:30 | 16:30 | 289705 | 290505 | 800 |
| 21 | 25969 | 26071 | 102 | 8:30 | 16:30 | 290505 | 291627 | 1122 |
| 22 | 26071 | 26130 | 59 | 8:30 | 16:30 | 291627 | 292075 | 448 |
| 23 | 26130 | 26228 | 98 | 8:30 | 16:30 | 292075 | 293301 | 1226 |
| 25 | 26228 | 26338.5 | 110.5 | 8:30 | 16:30 | 293301 | 294405 | 1104 |
| 26 | 26338.5 | 26445 | 106.5 | 8:30 | 16:30 | 294405 | 295677 | 1272 |
| 27 | 26445 | 26509 | 64 | 9:00 | 17:00 | 295677 | 296211 | 534 |
| 28 | 26509 | 26573 | 64 | 9:30 | 17:00 | 296211 | 296759 | 548 |
| 29 | 26573 | 26683 | 110 | 9:30 | 17:00 | 296759 | 298002 | 1243 |
| 30 | 26683 | 26761 | 78 | 8:30 | 16:00 | 298002 | 298861 | 859 |

ประจำเดือน มิถุนายน 2551

| วันที่ | ปริมาณการใช้น้ำมัน และน้ำ ใน Boiler | | | | | | | | พลังงาน แสงอาทิตย์ | |
|--------|-------------------------------------|---------|----------------|---------------|-------------|----------------------|--------|----------------|-----------------------|--------|
| | มาตรวัด ปริมาณน้ำมัน | | ใช้ (หน่วย) | เริ่ม เวลา | ปิด เวลา | มาตรวัด ปริมาณน้ำ | | น้ำใช้/ วัน | | |
| 1 | 26761 | 26865 | 104 | 8:30 | 17:00 | 298936 | 299892 | 956 | 8:30 | 343.12 |
| 2 | 26865 | 26947.5 | 82.5 | 8:30 | 17:00 | 299892 | 301184 | 1292 | 8:30 | 212.58 |
| 3 | 26947.5 | 27025 | 77.5 | 8:30 | 17:00 | 301184 | 302105 | 921 | 8:30 | 282.56 |
| 4 | 27025 | 27133 | 108 | 8:30 | 18:00 | 302105 | 303265 | 1160 | 9:30 | 313.10 |
| 5 | 27133 | 27241.0 | 108.0 | 8:20 | 18:00 | 303265 | 304485 | 1220 | 9:40 | 321.74 |
| 6 | 27241 | 27345 | 104.0 | 8:20 | 18:00 | 304485 | 305537 | 1052 | 9:40 | 312.58 |
| 8 | 27345 | 27450.5 | 105.5 | 8:00 | 18:00 | 305537 | 306425 | 888 | 10:00 | 273.65 |
| 9 | 27450.5 | 27555 | 104.5 | 8:00 | 17:00 | 306425 | 307594 | 1169 | 9:00 | 395.53 |
| 10 | 27555 | 27640.5 | 85.5 | 8:00 | 17:00 | 307594 | 308510 | 916 | 9:00 | 305.61 |
| 11 | 27640.5 | 27691 | 50.5 | 8:00 | 18:00 | 307594 | 308883 | 1289 | 10:00 | 351.69 |
| 12 | 27691 | 27785 | 94 | 8:30 | 17:00 | 308883 | 309889 | 1006 | 8:30 | 412.04 |
| 13 | 27785 | 27841.5 | 56.5 | 8:30 | 17:00 | 309889 | 310331 | 442 | 8:30 | 295.26 |
| 15 | 27841.5 | 27911 | 69.5 | 8:30 | 17:00 | 310331 | 310872 | 541 | 8:30 | 268.75 |
| 16 | 27911 | 27977 | 66 | 8:30 | 18:00 | 310872 | 311545 | 673 | 9:30 | 342.44 |
| 17 | 27977 | 28082.5 | 105.5 | 8:30 | 17:00 | 311545 | 312573 | 1028 | 8:30 | 210.86 |
| 18 | 28082.5 | 28177 | 94.5 | 8:30 | 17:00 | 312573 | 313551 | 978 | 8:30 | 128.60 |
| 19 | 28177 | 28281 | 104 | 8:30 | 17:00 | 313551 | 314671 | 1120 | 8:30 | 284.23 |
| 20 | 28281 | 28375.5 | 94.5 | 8:30 | 17:00 | 314671 | 315710 | 1039 | 8:30 | 223.24 |
| 21 | 28375.5 | 28452.5 | 77 | 8:30 | 17:00 | 315710 | 316514 | 804 | 8:30 | 336.49 |
| 22 | 28452.5 | 28552 | 99.5 | 8:30 | 17:30 | 316514 | 317570 | 1056 | 9:00 | 275.00 |
| 23 | 28552 | 28649 | 97 | 8:30 | 17:00 | 317570 | 318542 | 972 | 8:30 | 186.89 |
| 24 | 28649 | 28746.5 | 97.5 | 8:30 | 17:30 | 318542 | 319635 | 1093 | 9:00 | 261.94 |
| 25 | 28746.5 | 28867 | 120.5 | 8:30 | 17:30 | 319635 | 320951 | 1316 | 9:00 | 310.54 |
| 26 | 28867 | 28975.5 | 108.5 | 8:30 | 17:00 | 320951 | 322116 | 1165 | 8:30 | 363.84 |
| 27 | 28975.5 | 29050 | 74.5 | 8:30 | 17:00 | 322116 | 322787 | 671 | 8:30 | 404.84 |
| 28 | 29050 | 29130 | 80 | 8:30 | 17:00 | 322787 | 323642 | 855 | 8:30 | 359.03 |
| 29 | 29130 | 29213 | 83 | 8:30 | 17:30 | 323642 | 324477 | 835 | 9:00 | 280.64 |
| 30 | 29213 | 29296 | 83 | 8:30 | 17:00 | 324477 | 325334 | 857 | 8:30 | 339.00 |

ประจำเดือน กรกฎาคม 2551

| วันที่ | ปริมาณการใช้ น้ำมัน และน้ำ ใน Boiler | | | | | | | | พลังงาน แสงอาทิตย์ | |
|--------|--------------------------------------|---------|----------------|---------------|-------------|-----------------------|--------|----------------|-----------------------|--------|
| | มาตรวัด ปริมาตรน้ำมัน | | ใช้ (หน่วย) | เริ่ม เวลา | ปิด เวลา | มาตรวัด ปริมาตรน้ำ | | น้ำใช้/ วัน | | |
| 1 | 29296 | 29404.5 | 108.5 | 8:30 | 18:00 | 325334 | 326041 | 707 | 9:30 | 364.29 |
| 2 | 29404.5 | 29495 | 90.5 | 8:30 | 18:00 | 326041 | 326476 | 435 | 9:30 | 339.77 |
| 3 | 29495 | 29617 | 122 | 8:30 | 18:00 | 326476 | 327460 | 984 | 9:30 | 184.45 |
| 4 | 29617 | 29675 | 58 | 8:30 | 17:00 | 327460 | 328763 | 1303 | 8:30 | 313.10 |
| 5 | 29675 | 29728.0 | 53 | 8:30 | 17:00 | 328763 | 329593 | 830 | 8:30 | 319.21 |
| 6 | 29728 | 29832 | 104 | 8:30 | 18:30 | 329593 | 331340 | 1747 | 10:00 | 258.37 |
| 7 | 29832 | 29906 | 74 | 8:30 | 18:00 | 331340 | 331875 | 535 | 9:30 | 330.39 |
| 8 | 29906 | 30005 | 99 | 8:30 | 18:45 | 331875 | 332856 | 981 | 10:15 | 286.95 |
| 9 | 30005 | 30123.5 | 118.5 | 8:30 | 18:00 | 332856 | 334114 | 1258 | 9:30 | 427.02 |
| 10 | 30123.5 | 30219.5 | 96 | 8:30 | 18:00 | 334114 | 335154 | 1040 | 9:30 | 305.61 |
| 11 | 30219.5 | 30274 | 54.5 | 8:30 | 16:45 | 335154 | 335652 | 498 | 8:15 | 351.69 |
| 12 | 30274 | 30347.5 | 73.5 | 8:30 | 17:00 | 335652 | 336379 | 727 | 8:30 | 412.04 |
| 13 | 30347.5 | 30452.5 | 105 | 8:30 | 18:00 | 336379 | 337525 | 1146 | 9:30 | 295.26 |
| 14 | 30452.5 | 30525 | 72.5 | 8:30 | 18:00 | 337525 | 338219 | 694 | 9:30 | 250.67 |
| 15 | 30525 | 30622 | 97 | 8:30 | 18:00 | 338219 | 339317 | 1098 | 9:30 | 268.75 |
| 16 | 30622 | 30739 | 117 | 8:30 | 18:00 | 339317 | 340329 | 1012 | 9:30 | 342.44 |

วิภาวดี

ประจำเดือน กรกฎาคม 2551

| วันที่ | ปริมาณการใช้ แก๊ส และน้ำ ใน Boiler | | | | | | | | พลังงาน แสงอาทิตย์ | |
|--------|------------------------------------|---------|----------------|---------------|-------------|-----------------------|--------|----------------|-----------------------|--------|
| | มาตรวัด ปริมาตรแก๊ส | | ใช้ (หน่วย) | เริ่ม เวลา | ปิด เวลา | มาตรวัด ปริมาตรน้ำ | | น้ำใช้/ วัน | | |
| 19 | 18.159 | 41.855 | 23.696 | 8:30 | 17:00 | 341097 | 342059 | 962 | 8:30 | 284.23 |
| 20 | 41.855 | 65.331 | 23.476 | 8:15 | 17:00 | 342059 | 343117 | 1058 | 8:45 | 223.24 |
| 21 | 65.331 | 93.568 | 28.237 | 8:15 | 16:45 | 343117 | 344251 | 1134 | 8:30 | 336.49 |
| 22 | 93.568 | 122.448 | 28.88 | 8:15 | 17:00 | 344251 | 345513 | 1262 | 8:45 | 275.00 |
| 23 | 122.448 | 147.636 | 25.188 | 8:15 | 17:00 | 345513 | 346501 | 988 | 8:45 | 186.00 |
| 24 | 147.636 | 173.023 | 25.387 | 8:15 | 16:30 | 346501 | 347448 | 947 | 8:15 | 261.94 |
| 25 | 173.023 | 195.534 | 22.511 | 9:00 | 17:00 | 347448 | 348438 | 990 | 8:00 | 310.54 |
| 26 | 195.534 | 213.52 | 17.986 | 9:00 | 16:00 | 348438 | 349137 | 699 | 7:00 | 363.84 |
| 27 | 213.52 | 239.028 | 25.508 | 8:15 | 17:15 | 349137 | 350330 | 1193 | 9:00 | 404.84 |
| 28 | 239.028 | 264.456 | 25.428 | 9:00 | 18:00 | 350330 | 351597 | 1267 | 9:00 | 359.03 |
| 29 | 264.456 | 300.918 | 36.462 | 8:00 | 18:00 | 351597 | 352767 | 1170 | 10:00 | 280.64 |
| 30 | 300.918 | 320.394 | 19.476 | 9:45 | 18:00 | 352767 | 353405 | 638 | 8:15 | 339.00 |
| 31 | 320.394 | 347.235 | 26.841 | 8:30 | 17:00 | 353405 | 354817 | 1412 | 8:30 | 331.41 |

รายงานผลการดำเนินการ

ประจำเดือน สิงหาคม 2551

| วันที่ | ปริมาณการใช้ แก๊ส และน้ำ ใน Boiler | | | | | | | | พลังงาน แสงอาทิตย์ | |
|--------|------------------------------------|---------|----------------|---------------|-------------|-----------------------|--------|----------------|-----------------------|--------|
| | มาตรวัด ปริมาตรแก๊ส | | ใช้ (หน่วย) | เริ่ม เวลา | ปิด เวลา | มาตรวัด ปริมาตรน้ำ | | น้ำใช้/ วัน | | |
| 1 | 347.235 | 361.985 | 14.75 | 9:30 | 16:00 | 354817 | 355498 | 681 | 6:30 | 288.94 |
| 2 | 361.985 | 376.87 | 14.885 | 9:15 | 17:15 | 355498 | 356101 | 603 | 8:00 | 338.02 |
| 3 | 376.87 | 413.979 | 37.109 | 8:15 | 16:00 | 356101 | 357307 | 1206 | 7:45 | 359.39 |
| 4 | 413.979 | 436.457 | 22.478 | 10:00 | 16:30 | 357307 | 358090 | 783 | 6:30 | 305.06 |
| 5 | 436.457 | 454.728 | 18.271 | 8:30 | 15:30 | 358090 | 358761 | 671 | 7:00 | 155.75 |
| 6 | 454.728 | 484.691 | 29.963 | 8:30 | 16:30 | 358761 | 359567 | 806 | 8:00 | 298.99 |
| 7 | 484.691 | 515.464 | 30.773 | 9:00 | 16:30 | 359567 | 360521 | 954 | 7:30 | 240.43 |
| 8 | 515.464 | 544.388 | 28.924 | 9:00 | 16:30 | 360521 | 361514 | 993 | 7:30 | 135.20 |
| 9 | 544.388 | 562.429 | 18.041 | 9:30 | 15:30 | 361514 | 362025 | 511 | 6:00 | 153.66 |
| 10 | 562.429 | 583.811 | 21.382 | 9:15 | 17:00 | 362025 | 362610 | 585 | 7:45 | 196.08 |
| 11 | 583.811 | 610.925 | 27.114 | 8:30 | 16:30 | 362610 | 363540 | 930 | 8:00 | 129.48 |
| 12 | 610.925 | 626.35 | 15.425 | 9:00 | 14:50 | 363540 | 363846 | 306 | 5:50 | 205.00 |
| 13 | 626.35 | 647.19 | 20.84 | 9:30 | 16:00 | 363846 | 364450 | 604 | 6:30 | 108.94 |
| 14 | 647.19 | 683.984 | 36.794 | 8:30 | 16:30 | 364450 | 365706 | 1256 | 8:00 | 240.78 |
| 15 | 683.984 | 706.785 | 22.801 | 9:30 | 15:30 | 365706 | 366398 | 692 | 6:00 | 284.33 |
| 16 | 706.785 | 733.823 | 27.038 | 9:00 | 16:00 | 366398 | 367227 | 829 | 7:00 | 294.23 |
| 17 | 733.823 | 753.654 | 19.831 | 9:30 | 16:00 | 367227 | 367735 | 508 | 6:30 | 256.81 |
| 18 | 753.654 | 789.336 | 35.682 | 8:30 | 16:30 | 367735 | 368945 | 1210 | 8:00 | 264.25 |
| 19 | 789.336 | 812.77 | 23.434 | 9:00 | 16:15 | 368945 | 369590 | 645 | 7:15 | 420.38 |
| 20 | 812.77 | 850.498 | 37.728 | 9:00 | 16:30 | 369590 | 370735 | 1145 | 7:30 | 291.79 |
| 21 | 850.498 | 881.739 | 31.241 | 8:15 | 17:00 | 370735 | 371737 | 1002 | 8:45 | 253.42 |
| 22 | 881.739 | 900.225 | 18.486 | 10:00 | 17:00 | 371737 | 372246 | 509 | 7:00 | 308.15 |
| 23 | 900.225 | 919.134 | 18.909 | 10:00 | 17:00 | 372246 | 372785 | 539 | 7:00 | 414.46 |
| 24 | 919.134 | 942.317 | 23.183 | 8:14 | 16:00 | 372785 | 373537 | 752 | 7:46 | 303.06 |
| 25 | 942.317 | 965.610 | 23.293 | 9:30 | 16:30 | 373537 | 374175 | 638 | 7:00 | 241.45 |

ประจำเดือน สิงหาคม 2551

| วันที่ | ปริมาณการใช้ แก๊ส และน้ำ ใน Boiler | | | | | | | | พลังงาน แสงอาทิตย์ | |
|--------|------------------------------------|----------|----------------|---------------|-------------|----------------------|--------|----------------|-----------------------|--------|
| | มาตรวัด ปริมาตรแก๊ส | | ใช้ (หน่วย) | เริ่ม เวลา | ปิด เวลา | มาตรวัด ปริมาณน้ำ | | น้ำใช้/ วัน | | |
| 26 | 965.610 | 988.158 | 22.548 | 9:30 | 16:00 | 374175 | 375006 | 831 | 6:30 | 270.00 |
| 27 | 988.158 | 1018.139 | 29.981 | 9:00 | 16:00 | 375006 | 375901 | 895 | 7:00 | 203.21 |
| 28 | 1018.139 | 1051.335 | 33.196 | 8:30 | 17:30 | 375901 | 376923 | 1022 | 9:00 | 421.80 |
| 29 | 1051.335 | 1067.956 | 16.621 | 9:25 | 16:30 | 376923 | 377482 | 559 | 7:05 | - |
| 30 | 1067.956 | 1081.824 | 13.868 | 9:15 | 17:15 | 377482 | 377931 | 449 | 8:00 | - |
| 31 | 1081.824 | 1114.478 | 32.654 | 8:15 | 15:30 | 377931 | 378909 | 978 | 7:15 | - |

ก่อสร้างอาคาร



ตารางที่ค1 ตารางไออน้ำ

ภาคผนวก 1 ตารางไออน้ำ (IS UNITS)*

| เงื่อนทั่วไปปริมาณจำเพาะ | | | | | |
|--------------------------|------------------|----------------------------|---------------------------------|-------------------------------|-------------------------|
| ความดัน (บาร์) | อุณหภูมิ (°C) | น้ำ (กิโลกรัม/กิโลเมตร) | การระเหย (กิโลกรัม/กิโลเมตร) | ไอ้น้ำ (กิโลกรัม/กิโลเมตร) | ไอ้น้ำ (ม'/กิโลเมตร) |
| Absolute | | | | | |
| 0.30 | 69.10 | 289.23 | 2,336.1 | 2,625.3 | 5,229 |
| 0.50 | 81.33 | 340.49 | 2,305.4 | 2,645.9 | 3,240 |
| 0.75 | 91.78 | 384.39 | 2,278.6 | 2,663.0 | 2,217 |
| 0.95 | 98.20 | 411.43 | 2,261.8 | 2,673.2 | 1,777 |
| Gauge | | | | | |
| 0 | 100.00 | 419.04 | 2,257.0 | 2,676.0 | 1,673 |
| 0.10 | 102.66 | 430.2 | 2,250.2 | 2,680.4 | 4,533 |
| 0.20 | 105.10 | 440.8 | 2,243.4 | 2,684.2 | 1,414 |
| 0.30 | 107.39 | 450.4 | 2,237.2 | 2,687.6 | 1,312 |
| 0.40 | 109.55 | 459.7 | 2,231.3 | 2,691.6 | 1,225 |
| 0.50 | 111.61 | 468.3 | 2,225.6 | 2,695.9 | 1,149 |
| 0.60 | 113.56 | 476.4 | 2,220.4 | 2,696.8 | 1,083 |
| 0.70 | 115.40 | 484.1 | 2,215.4 | 2,699.5 | 1,024 |
| 0.80 | 117.14 | 491.6 | 2,210.5 | 2,702.1 | 0.971 |
| 0.90 | 118.80 | 498.9 | 2,205.6 | 2,704.5 | 0.923 |
| 1.00 | 120.42 | 505.6 | 2,201.1 | 2,706.7 | 0.881 |
| 1.10 | 121.96 | 512.2 | 2,197.0 | 2,709.2 | 0.841 |
| 1.20 | 123.46 | 518.7 | 2,192.8 | 2,711.5 | 0.806 |
| 1.30 | 124.90 | 524.6 | 2,188.7 | 2,713.3 | 9.773 |
| 1.40 | 126.62 | 530.5 | 2,184.8 | 2,715.3 | 0.743 |
| 1.50 | 127.62 | 536.1 | 2,181.0 | 2,717.1 | 0.714 |
| 1.60 | 128.89 | 541.6 | 2,177.3 | 2,718.9 | 0.689 |
| 1.70 | 130.13 | 547.1 | 2,173.7 | 2,720.8 | 0.665 |
| 1.80 | 131.37 | 552.3 | 2,170.1 | 2,722.4 | 0.643 |
| 1.90 | 132.54 | 557.3 | 2,166.7 | 2,724.0 | 0.622 |
| 2.00 | 133.69 | 562.2 | 2,163.3 | 2,725.5 | 0.603 |
| 2.20 | 135.88 | 571.7 | 2,156.9 | 2,728.6 | 0.568 |
| 2.40 | 138.01 | 580.7 | 2,150.7 | 2,731.4 | 0.536 |
| 2.60 | 140.00 | 589.2 | 2,144.7 | 2,733.9 | 0.509 |
| 2.80 | 141.92 | 597.4 | 2,139.0 | 2,736.4 | 0.483 |
| 3.00 | 143.75 | 605.3 | 2,133.4 | 2,738.7 | 0.461 |

| | | | | | |
|-------|--------|-------|----------|---------|-------|
| 3.20 | 145.46 | 612.9 | 2,128.1 | 2,741.0 | 0.440 |
| 3.40 | 147.20 | 620.0 | 2,122.9 | 2,742.9 | 0.422 |
| 3.60 | 148.84 | 527.1 | 2,2117.8 | 2,744.9 | 0.405 |
| 3.80 | 150.44 | 634.0 | 2,112.9 | 2,746.9 | 0.389 |
| 4.00 | 151.96 | 640.7 | 2,108.1 | 2,748.8 | 0.374 |
| 4.50 | 155.55 | 656.3 | 2,698.7 | 2,753.0 | 0.342 |
| 5.00 | 158.29 | 670.9 | 2,086.0 | 2,756.9 | 0.315 |
| 5.50 | 162.08 | 684.6 | 2,075.7 | 2,769.3 | 0.292 |
| 6.00 | 165.04 | 697.5 | 2,066.0 | 2,763.5 | 0.272 |
| 6.00 | 165.04 | 697.5 | 2,066.8 | 2,763.5 | 0.272 |
| 6.50 | 167.83 | 709.7 | 2,056.8 | 2,766.5 | 0.255 |
| 7.00 | 170.50 | 721.4 | 2,047.7 | 2,769.1 | 0.240 |
| 7.50 | 173.02 | 735.5 | 2,039.2 | 2,771.7 | 0.227 |
| 8.00 | 175.43 | 743.1 | 2,030.9 | 2,774.0 | 0.215 |
| 8.50 | 177.75 | 753.3 | 2,022.9 | 2,776.2 | 0.204 |
| 9.00 | 179.97 | 763.0 | 2,015.1 | 2,778.1 | 0.194 |
| 9.50 | 182.10 | 772.5 | 2,007.5 | 2,780.0 | 0.185 |
| 10.00 | 184.43 | 781.6 | 2,000.1 | 2,781.7 | 0.177 |
| 10.50 | 186.05 | 790.1 | 1,993.0 | 2,783.3 | 0.171 |
| 11.00 | 188.02 | 798.8 | 1,986.0 | 2,784.8 | 0.163 |
| 11.50 | 189.82 | 807.1 | 1,979.1 | 2,786.3 | 0.157 |
| 12.00 | 191.68 | 815.1 | 1,972.5 | 2,787.6 | 0.151 |
| 12.50 | 193.43 | 822.9 | 1,965.4 | 2,788.8 | 0.148 |
| 13.00 | 195.10 | 830.4 | 1,959.5 | 2,790.0 | 0.141 |
| 13.50 | 196.62 | 837.9 | 1,953.2 | 2,791.1 | 0.136 |
| 14.00 | 198.35 | 845.1 | 1,947.1 | 2,792.2 | 0.132 |

หมายเหตุ เป็นการทำให้เป็นหน่วยเมตริกของตาราง ไอ้น้ำ ข้อกำหนดเดิมของระบบอังกฤษของ
ความร้อนสัมผัสปัจจุบันหมายถึง เอนทัลปีจำเพาะของน้ำ ความร้อนแฝงปัจจุบันหมายถึงเอนทัลปี
จำเพาะของการระเหย และความร้อนทั้งหมดหมายถึงเอนทัลปีจำเพาะของ ไอ้น้ำ

ร่องค่ารักษา

ตารางที่ ค2 ตารางไฮน์ด้า

ตารางไฮน์ด้า (IMPERIAL UNITS)*

| ความดัน | อุณหภูมิ (°C) | ความร้อนกั้นผส (บีที่ยู/ปอนด์) | ความร้อนแฝง (บีที่ยู/ปอนด์) | ความร้อนทั้งหมด (บีที่ยู/ปอนด์) | ไออุ่นตัวแห้ง [*] ปริมาตรของ (ฟุต³/ปอนด์) |
|--------------------------------|------------------|-----------------------------------|--------------------------------|------------------------------------|--|
| น้ำสุญญากาศ | | | | | |
| 15 | 179 | 147 | 991 | 1,138 | 51.41 |
| 10 | 192 | 160 | 983 | 1,143 | 39.41 |
| 5 | 203 | 171 | 976 | 1,147 | 31.80 |
| 0 | 212 | 180 | 971 | 1,151 | 26.80 |
| ปอนด์ต่อตารางนิ้ว (เกจ) | | | | | |
| 1 | 215 | 183 | 969 | 1,152 | 22.20 |
| 3 | 221 | 190 | 964 | 1,154 | 22.50 |
| 5 | 227 | 196 | 961 | 1,156 | 20.10 |
| 7 | 232 | 201 | 958 | 1,158 | 18.49 |
| 9 | 237 | 206 | 954 | 1,160 | 17.00 |
| 11 | 241 | 210 | 951 | 1,162 | 15.90 |
| 13 | 246 | 214 | 949 | 1,163 | 15.10 |
| 15 | 250 | 218 | 946 | 1,164 | 13.90 |
| 17 | 253 | 222 | 943 | 1,165 | 12.30 |
| 19 | 257 | 226 | 941 | 1,167 | 12.30 |
| 21 | 260 | 229 | 939 | 1,169 | 11.10 |
| 23 | 264 | 233 | 937 | 1,169 | 11.10 |
| 25 | 267 | 236 | 935 | 1,170 | 10.60 |
| 27 | 270 | 239 | 932 | 1,171 | 10.30 |
| 29 | 273 | 242 | 931 | 1,172 | 9.70 |
| 31 | 275 | 244 | 929 | 1,173 | 9.30 |
| 33 | 278 | 247 | 927 | 1,174 | 8.90 |
| 35 | 281 | 250 | 925 | 1,175 | 8.60 |
| 37 | 283 | 252 | 923 | 1,175 | 8.25 |
| 39 | 286 | 255 | 921 | 1,176 | 7.95 |
| 41 | 288 | 257 | 920 | 1,177 | 7.70 |
| 43 | 290 | 260 | 918 | 1,177 | 7.44 |
| 45 | 292 | 262 | 916 | 1,178 | 7.21 |
| 47 | 295 | 264 | 915 | 1,179 | 6.99 |
| 49 | 297 | 266 | 913 | 1,179 | 6.78 |
| 51 | 299 | 968 | 912 | 1,180 | 6.60 |

| | | | | | |
|-----|-----|-----|-----|-------|------|
| 53 | 300 | 270 | 910 | 1,181 | 6.40 |
| 55 | 303 | 272 | 909 | 1,181 | 6.23 |
| 60 | 308 | 278 | 905 | 1,183 | 5.84 |
| 65 | 312 | 282 | 902 | 1,184 | 5.50 |
| 70 | 316 | 287 | 898 | 1,185 | 5.19 |
| 75 | 320 | 290 | 896 | 1,186 | 4.91 |
| 80 | 324 | 295 | 892 | 1,187 | 4.67 |
| 85 | 327 | 298 | 890 | 1,188 | 4.45 |
| 90 | 331 | 302 | 887 | 1,189 | 4.24 |
| 95 | 335 | 305 | 884 | 1,189 | 4.06 |
| 100 | 338 | 309 | 882 | 1,190 | 3.89 |
| 105 | 341 | 312 | 879 | 1,191 | 3.74 |
| 110 | 344 | 316 | 876 | 1,192 | 3.59 |
| 115 | 347 | 319 | 874 | 1,194 | 3.46 |
| 120 | 350 | 322 | 872 | 1,193 | 3.34 |
| 125 | 353 | 325 | 869 | 1,194 | 3.23 |
| 130 | 356 | 328 | 867 | 1,195 | 3.12 |
| 135 | 358 | 330 | 865 | 1,195 | 3.02 |
| 140 | 361 | 333 | 862 | 1,196 | 2.93 |
| 145 | 363 | 336 | 860 | 1,196 | 2.84 |
| 150 | 366 | 339 | 858 | 1,197 | 2.76 |
| 155 | 368 | 341 | 856 | 1,197 | 2.68 |
| 160 | 371 | 344 | 854 | 1,198 | 2.61 |
| 165 | 373 | 346 | 852 | 1,198 | 2.54 |
| 170 | 375 | 348 | 850 | 1,198 | 2.47 |
| 175 | 377 | 351 | 848 | 1,199 | 2.41 |
| 180 | 380 | 353 | 846 | 1,199 | 2.35 |
| 185 | 382 | 355 | 844 | 1,199 | 2.29 |
| 190 | 384 | 358 | 842 | 1,200 | 2.24 |
| 195 | 386 | 360 | 840 | 1,200 | 2.19 |
| 200 | 388 | 362 | 838 | 1,200 | 2.14 |



| งบประมาณค่าใช้จ่ายแยกตามหมวดเงิน | ต.ค. - ธ.ค. พ.ศ. 2550 | | ม.ค. - ก.ย. พ.ศ. 2551 | | งบประมาณ ตลอด โครงการ 357,720 |
|---|--------------------------|---------------|--------------------------|----------------|---|
| | ค่าใช้จ่าย | ผลรวม | ค่าใช้จ่าย | ผลรวม | |
| 1. หมวดค่าจ้างข้าราชการ | | 24,500 | | 73,500 | 98,000 |
| 1.1 ค่าจ้างผู้วิจัย | 24,500 | | 73,500 | | |
| 2. หมวดค่าตอบแทน | | 3,000 | | 9,000 | 12,000 |
| 2.1 ค่าล่วงเวลาหนาจ่าย ($1,000 \times 1 \times 12$) | 3,000 | | 9,000 | | |
| 3. หมวดค่าใช้สอยและวัสดุ | | 5,000 | | 25,000 | 30,000 |
| 3.1 ค่าเดินทาง | - | | - | | |
| 3.2 ค่าที่อาเล่มเย็บปก | - | | 700 | | |
| 3.3 ค่าวัสดุอุปกรณ์ | 5,000 | | 23,800 | | |
| 3.3 ค่าหมึกพิมพ์, อุปกรณ์เก็บข้อมูล | - | | 200 | | |
| 3.4 ค่าวัสดุสำนักงาน | - | | 300 | | |
| 4. หมวดค่าสาธารณูปโภค | | 900 | | 4,700 | 5,600 |
| 4.1 ค่าน้ำ, ค่าไฟ, ค่าติดต่อสื่อสาร | 900 | | 4,700 | | |
| 5. หมวดค่าครุภัณฑ์ | | 55,000 | | 169,200 | 224,200 |
| 5.1 ค่าวัสดุอุปกรณ์ของระบบ | 55,000 | | 169,200 | | |
| 6. หมวดค่าใช้จ่ายอื่นๆ | | | | | |
| รวมงบประมาณทั้งสิ้น | | 88,400 | | 281,400 | 369,800 |